

620.9(05)

საქართველოს ტექნიკური უნივერსიტეტი

პავშირი  
"მეცნიერება და ენერგეტიკა"

ც ნ ე რ გ ი ს

სამეცნიერო-ტექნიკური რეზილიანცია  
შურალი

2(98)/2021

---

---

თბილისი

**სარგებლობის პოლიტიკა:**

მთავარი რედაქტორი – მერაბ ლორთქიფანიძე

მთავარი რედაქტორის მოადგილე – შალვა გაგოშიძე

სარგებლობის კოლეგიის წევრები: რ.არგელაძე, გ.არაბიძე, ი.ბიჯამოვი, გ.ქაჯაია, ვ.ქინქლაძე, ი.კალანდაძე, გ.ლეგიშვილი, ნ.მელაძე, ა.ნადირაძე, დ.ნამგალაძე, ა.ყუბანეიშვილი, ა.ჭითანავა, გ.ხელიძე, ა.ჩიქოვანი, ივანოლოფაშვილი, ნ.ჩახვაშვილი (პასუხისმგებელი რედაქტორი), ვ.ტრასეკინი (რუსეთი), ზ.სკვორცოვა (რუსეთი), ა.ალექსეევი (უკრაინა), კ.სეიიხანი (თურქეთი), პ.პაროპოლოსი (საბერძნეთი), ა.სარუხანიანი (სომხეთი), ა.კულიევი (აზერბაიჯანი).

**EDITORIAL BOARD:**

**The editor-in-chief – Merab Lordkipanidze**

**Deputy of the editor-in-chief - Shalva Gagoshidze**

**Editorial board members:** R.Arveladze, G.Arabitze, Y.Bijamov, I.Kalandadze, G.Kajaia, V.Kinkladze, A.Kubaneishvili, G.Lekishvili, N.Meladze, A.Nadiradze, D.Namgaladze, G.Khelidze, A.Tshitanava, A.Chikovani, Iv.Cholokashvili, N.Chakhvashvili (managing -editor- in-chief), V.Traskin (Russia), Z.Skvortsova (Russia), A.Alekseev (Ukraina), K.Seyhan (Turkey), P.Psarropoulos (Greece), A.Sarukhanian (Armenia), A.Kuliev (Azerbaijan).

**РЕДАКЦИОННАЯ КОЛЛЕГИЯ:**

**Главный редактор – Мераб Лордкипанидзе**

**Заместитель главного редактора – Шалва Гагошидзе**

**Члены редакционной коллегии:** Р.Арвеладзе, Г.Арабидзе, Я.Биджамов, Г.Каджая, А.Кубанейшвили, В.Кинкладзе, И.Каландадзе, Г.Лекишвили, Н.Меладзе, А.Надирадзе, Д.Намгаладзе, Г.Хелидзе, А.Читанава, А.Чикованы, И.Чолокашвили, Н.Чахвашвили (ответственный редактор), В.Траскин (Россия), З.Скворцова (Россия), А.Алексеев (Украина), К.Сейхан (Турция), П.Псаропулос (Греция), А.Саруханян (Армения), А.Кулиев (Азербайджан).

**ნომრის მომზადებაში მონაწილეობდნენ:**

ტექ. მეცნიერებათა აკადემიური დოქტორი ნ.ბარაბაძე, ე.ზამბანიძე, ბ.ბურჭულაძე (ნომრის კომპიუტერული აწყობა-დაკადარონება), ი.თუმანიშვილი (ტექსტის რედაქტირება), ს.ბერიძე (ინგლისური ტექსტის მომზადება).

ურნალ "ენერგიის" რედაქციის მისამართი: 0179 თბილისი, ი.აბაშიძის 40. ტელ. 218-09-51

**The address of the editorial office of journal "Energy": 40, I.Abashidze str., Tbilisi, 0179, Georgia,  
tel. 218-09-51**

**Адрес редакции журнала "Энергия": 0179 Грузия, Тбилиси, ул. И.Абашидзе, 40.  
тел. 218-09-51**

რეგისტრაციის ნომერი № 5° / 4 - 645

© "ენერგია". 2011

[www.Energyonline.ge](http://www.Energyonline.ge)

## სარჩევი – CONTENTS - СОДЕРЖАНИЕ

გვ. Р. Стр.

<b>6.ეპონურადგ. 60 წელი კოსმოსის ათვისებიდან.....</b>	<b>5</b>
<b>6.ეურუბაძე, გ.ბერიძეშვილი, ვ.ჩხაიძე. მიკრო და მცირე სიმძლავრის ქარის ენერგეტიკული დანადგარის ტურბინა .....</b>	<b>15</b>
<b>ლ.ვევევაძე. საქართველოში ელექტროენერგიის მოხმარების პროგნოზირების ჰიბრიდული მოდელი.....</b>	<b>20</b>
<b>ბ.სარალიძე. ახალი ფხვნილგულა მაგთულით დაღუდებული ზედაპირის ტრიბოლოგიური კვლევა.....</b>	<b>35</b>
<b>თ.ეუსელიანი, გრ.ეუსელიანი, ლ.ბალახაშვილი, გ.გვარამაძე. ერთჯაჭვა მაღალი ძაბვის საპარო ელექტროგადაცემის ხაზის მაგნიტური ველის დაძაბულობის განსაზღვრა კიდურა ხაზის გეგმილიდან დაშორებაზე სადენების პორიზონტალური განლაგების დროს.....</b>	<b>42</b>
<b>ი.ეურაშვილი, თ.იმარიძე, გ.ჩუბინიძე, ლ.ხეიძე, გ.ქადარია, ტ.ელაშვილი, ნ.გოგოლაშვილი, გ.დარსაველიძე. იზოქრონული მოწვების გავლენა n-SiGe შენადნობების არადრეგად თვისებებზე.....</b>	<b>48</b>
<b>ა.შერგაზანაშვილი. რადიალურ-საჭედი მანქანების ანალიზი და ახალი კონსტრუქციის შემუშავება.....</b>	<b>53</b>
<b>გ.ხორბალიძე. გადამცემი სისტემის ოპერატორის მიერ დასარეზერვებელი სიმძლავრის დირებულება.....</b>	<b>59</b>
<b>გ.ხ ურილავა, თ.კილურაძე. ენერგოეფექტური ღონისძიებები ელექტრულ ტრანსპორტზე. ....</b>	<b>62</b>
<b>3.МЧЕДЛИШВИЛИ, И.ДЖИХВАДЗЕ. Анализ работы различных схем генераторов релаксационных электрических колебаний.....</b>	<b>69</b>
<b>3.МЧЕДЛИШВИЛИ, И.ДЖИХВАДЗЕ. Расчеты электрических цепей с индуктивной связью методом эквивалентных контуров.....</b>	<b>74</b>
<b>ДЖ. НИКУРАДЗЕ, В. КВИНТРАДЗЕ, В.МЕЛАДЗЕ, М.ЖГЕНТИ. Информационные технологии как фактор трансформации дистанционного обучения и изменения стратегий образовательной среды.....</b>	<b>78</b>
<b>И.ТАБАТАДЗЕ. Релаксационные процессы в а – цирконии.....</b>	<b>84</b>
<b>ჯ.ნიკურაძე, ვ.გვინდოვაძე, ვ.გვალაძე, გ.ულენტი. დისტანციური სწავლების საგანმანათლებლო ტექნოლოგია.....</b>	<b>90</b>
<b>A.CHRELASHVILI. On the Relevance, Purpose, Subject of Research and Other Issues of the Combined Method of Large Blocks.....</b>	<b>95</b>
 <b>3 ულოცავი</b>	
<b>ურნალ "ენერგიის" რედაქტორს - ინა თუმანიშვილს საიუბილეო თარიღის მილოცვა .....</b>	<b>99</b>
 სტატიების შემოტანის წესები.....	100

## 60 წელი კოსმოსის ათვისებიდან

### ნატო ქავთარამა

#### საქართველოს ტექნიკური უნივერსიტეტი

ანოტაცია. ნაშრომში “60 წელი კოსმოსის ათვისებიდან” მოკლედ არის განხილული მე-20 საუკუნის შუა წლებიდან თანამედროვე პერიოდამდე მეცნიერთა მიერ კოსმოსის ათვისებასა და შესწავლასთან დაკავშირებული საქმიანობა.

იდეა კოსმოსის ათვისების შესახებ ეპუთვნოდა საბჭოთა კავშირში ამ დარგში მომუშავე “მთავარ კონსტრუქტორს” – სერგეი კოროლიოვს. მისი უშუალო პროექტითა და ხელმძღვანელობით აგებულ იქნა პირველი კოსმოსური აპარატი “სპუტნიკი”, ხოლო შემდგომ კოსმოსური ხომალდი – “სპუტნიკ-ვოსტოკ-1”, რომლითაც კოსმოსში პირველმა ადამიანმა - იური გაგარინმა - იმოგ ზაურა. სერგეი კოროლიოვმა უდიდესი წვლილი შეიტანა საბჭოთა კავშირის რაკეტულ-კოსმოსური ტექნიკისა და სარაკეტო იარაღის წარმოების ორგანიზებაში ციფრ მოის პერიოდში.

ნაშრომი შეიცავს მასალას ქართველი მეცნიერ-გამომგონებლის – ალექსანდრე ნადირაძისა და მსოფლიოს ხამეცნიერო საზოგადოების მიერ აღიარებული მეცნიერის – ნიკო მუსხელიშვილის შესახებ, რომლებმაც მნიშვნელოვანი წვლილი შეიტანეს კოსმოსის ათვისების საქმეში.

კოსმოსისკენ გადადგმული პირველი ნაბიჯები გახდა საფუძველი იმ დიდი აღმოჩენებისა, რომელსაც მიაღწია კაცობრიობამ 21-ე საუკუნის დასაწყისში.

საკვანძო სიტყვები: ბალისტიკური რაკეტა, ს.კოროლიოვი, კოსმონავტი, კოსმოსი, ნ.მუსხელიშვილი, ა.ნადირაძე, სარაკეტო სისტემა, "სპუტნიკი".

60 წელი გვაშორებს იმ დროს, როდესაც ადამიანმა შეძლო დედამიწაზე ცივილიზაციის არსებობის მანძილზე პირველი ნაბიჯები გადაედგა კოსმოსის ათვისების საქმეში. 1961 წლის 12 აპრილს პირველი ადამიანი ეწვია კოსმოსს. ამიტომაც 12 აპრილი "კოსმონავტიკის დღეს" არის აღიარებული. მართალია, მეცნიერების განვითარება და მთელი რიგი მოსამზადებელი სამუშაოები წინ უძლოდა ამ საოცარ მოვლენას, მაგრამ ადამიანი, ვინც უნიკალურ პროექტს ფრთხი შეასხა და მსოფლიოში პირველი კოსმოსური რაკეტის გაფრენა უზრუნველყო, მისი სახელი და გვარი წლების განმავლობაში უცნობი იყო საზოგადოებისათვის საბჭოთა კავშირის ხელმძღვანელობის მიერ. ის კაცობრიობის ისტორიაში შევიდა როგორც ადამიანი – უდიდესი ტვინი, რომელმაც სამყარო შეცვალა, უდიდესი მეცნიერი მე-20 საუკუნის გმირი სერგეი კოროლიოვი გახლდათ.

მე-20 საუკუნის 30-40-იანი წლების პოლიტიკურმა ძვრებმა ევროპასა და რუსეთში, შემდეგ კი მე-2 მსოფლიო ომმა, პირველი ატომური ბომბის შექმნამ და გამოცდამ სრულიად შეცვალა მეცნიერული განვითარების ვექტორი. სახელმწიფოები იბრძოდნენ პირველობის მოსაპოვებლად. ცივი ომის პერიოდი დადგა. ამ პერიოდში მსოფლიოში აშშ-სა და საბჭოთა კავშირს შორის მიმდინარეობდა გამალებული ბრძოლა შეაირაღებისათვის. სწორედ აქ იჩინა თავი პირველად კოსმოსის ათვისების იდეამ; საბჭოთა კავშირის ლიდერებმა მეცნიერებს ერთგვარი დავალება მისცეს: შეექმნათ მსოფლიოში ისეთი პირველი აპარატი, რომელიც კოსმოსში შეძლებდა გასვლას. პარალელურად გარკვეულ სამუშაოს ატარებდა აშშ. ამრიგად, ორივე ლიდერი სახელმწიფო ცდილობდა, შეექმნა მსოფლიოში პირველი საკონტინენტოაზორისო ბალისტიკური რაკეტა, რომელიც თერმობირთვული ქობინის გადატანას შეძლებდა. ორივე ქვეყანაში პროექტების განვითარებაში მნიშვნელოვანი როლი შეასრულეს გერმანელმა მკვლევრებმა – მეცნიერებმა, ვინც ომის პერიოდში ჰიტლერისთვის მუშაობდა რაკეტების პროექტებზე და ომის შემდგომ აღმოჩნდნენ ამერიკასა და საბჭოთა კავშირში.

საბჭოთა კავშირის მეცნიერთა ჯგუფმა ინჟინერ-კონსტრუქტორის – სერგეი კოროლიოვის ხელმძღვანელობით გადაწყვიტა არ დალოდებოდა სრულად აღჭურვილი სამეცნიერო თანამგზავრის დამზადებას და ინჟინრებს დაავალა რაკეტისათვის შეექმნათ ორბიტაზე გასაშვები პრიმიტიული აპარატი და ამით გარკვეული დრო მოეგოთ. ამდენად, “უბრალოდ სპუტნიკ” რამდენიმე თვეში დაამზადეს და გაუშვეს კიდეც 1957 წლის ოქტომბერს, რითაც დაიწყო კოსმოსის ერა კაცობრიობის ისტორიაში.

“სპუტნიკი” იყო 58 სმ. დიამეტრის, სფეროს ფორმის აპარატი, 2 რადიოგადამცემითა და 4 ანტენით. ის 84 კგ-მდე იწონიდა.

პირველი ხელოვნური თანამგზავრი “სპუტნიკი” დედამიწის ორბიტაზე 92 დღე იმყოფებოდა და 1440-ჯერ შემოუარა დედამიწას, ვიდრე შენელდებოდა და ატმოსფეროში დაბრუნებული დაიწვებოდა. მისი რამდენიმე ნამსხვრევი ამჟამად მუზეუმში ინახება.

“სპუტნიკის შოკის” უშუალო შედეგი გახდა ამერიკის გაპტიურება კოსმოსის პოლეგაში უპირატესობის მოსაპოვებლად და სარაკეტო სისტემის დასახვეწად. კაცობრიობის ისტორიაში პირველი ხელოვნური თანამგზავრის გაშვებას ძალიან დიდი გამოხმაურება და მწვავე რეაქცია მოჰყვა დასავლეთის ქვეყნების მხრიდან. აშკარა

გახდა, რომ ციფი ომის პირობებში კოსმოსში გაფრენისა და მისი ათვისებისათვის საბჭოთა კავშირი ტექნოლოგიური მზადებლებით არ ჩამოუგარდებოდა აშშ-ს, შეიძლება ითქვას, რომ უსწრებდა კიდეც. მეტიც, საბჭოთა კავშირმა შეძლო რეკორდულად მცირე დროში შექმნა უკვე რაკეტა – “ერ-7”, რომელზედაც შეიძლებოდა ბირთვული ქობინის დამაგრება და ამით იგი მისწვდებოდა აშშ-ის ტერიტორიას. “ერ-7”-ის გამოცდა მოეწყო. ამასთან სერგეი კოროლიოვმა საბჭოთა კავშირის ხელმძღვანელობა გააფრთხილა, რომ აშშ-იც მუშაობდა გრძელრადიუსიანი რაკეტის შექმნაზე და მან მიიღო რაკეტის გაშვების ნებართვა.

სწორედ კოროლიოვის დამსახურებაა და მის მიერ შექმნილი “სპუტნიკის” გაშვებას უკავშირდება კოსმოსური კავშირის მსოფლიოში წამყვანი ორგანიზაციის – “ნასას” შექმნაც, რომელიც 1958 წლის 29 ივლისს, აშშ-ის აერონავტიკისა და კოსმოსური სივრცის კავშირის ეროვნული სამმართველოს წარმოადგენს.

დაწყებული მე-20 საუკუნის 30-იანი წლებიდან, კოროლიოვმა უდიდესი წვლილი შეიტანა საბჭოთა კავშირის რაკეტულ-კოსმოსური ტექნიკისა და სარაკეტო იარაღის წარმოების ორგანიზებაში. მისი ხელმძღვანელობით დედამიწის ორბიტაზე მსოფლიოში პირველად გაუშვეს თანამგზავრები, სამეცნიერო საღგურები და კოსმოსური ხომალდები. ამ ღონისძიებების შესახებ ცნობებმა მთელი მსოფლიო შეაზანარა, რადგან დედამიწაზე ცივილიზაციის არსებობის ისტორიაში ეს იყო პირველი წარმატებული შემთხვევა, როდესაც ადამიანმა შეძლო დედამიწის სივრციდან კოსმოსის სივრცეში გადანაცვლება და უამრავი სიახლის გაგება ჩვენს მიღმა სამყაროზე, რაზედაც ოცნებობდა საუკუნეების განმავლობაში კაცობრიობა.

შემდეგ მას მოყვა კოროლიოვის პროექტით აგებული კოსმოსური ხომალდები – “ვოსტოკი” და “ვოსტოკი”. ხომალდების აგება ხორციელდებოდა ქარხანა “პროგრესში”.

1957 წელს, როდესაც სსრკ-მა პირველი ხელოვნური თანამგზავრი გაუშვა კოსმოსში, გაზეთმა “პრავდა”-მ აღნიშნა, რომ ამ დიდ გამარჯვებაში ფუნდამენტური წვლილი შეიტანა ნიკოლოზ ივანეს-ძე მუსხელიშვილის დრეკადობის თეორიამ. მისი წიგნები სხვადასხვა ენაზე ითარგმნებოდა და საქართველოს სახელი საზღვრებს გარეთ გაჰქონდა. იგი იყო თეორიული და მექანიკის ეროვნული კომიტეტის თავმჯდომარე, ხუთი ქადაგის მეცნიერებათა აკადემიის წევრი. ტურინის აკადემიამ მას 1969 წელს გადასცა პრემია და ოქროს მედალი – “მოდესტო პანეტი”, დაჯილდოებული იყო სლოვაკეთის მეცნიერებათა აკადემიის ოქროს მედლით, ლომონოსოვის

სახელობის ოქროს მედლით, 2-ჯერ მიენიჭა საბჭოთა კავშირის პრემია და 6-ჯერ დაჯილდოეს ლენინის მედლით.

განსხვავებით მისი მთავარი ამერიკელი მეტოქის – ვერნერ ფონ ბრაუნისგან, კოროლიოვის ვინაობა მის გარდაცვალებამდე სრულიად უცნობი იყო, როგორც უცხოელი, ასევე საბჭოთა საზოგადოებისათვის, რადგან მაშინდელი საბჭოთა მთავრობა, როგორც წესი, ბევრ რამეს, რაც კოსმოსთან იყო დაკავშირებული, მალავდა. იგი ცნობილი იყო როგორც “მთავარი კონსტრუქტორი”.

იგი თავიდანვე დაკავებული იყო თვითმფრინავების შექმნით, მაგრამ მან თავი გამოიჩინა როგორც ნიჭიერმა ორგანიზაციორმა. სტალინური რეპრესიების უდანაშაულო მსხვერპლმა ციხეებში 6 წელი გაატარა (მათ შორის, რამდენიმე თვე ციმბირის ოქროს მომპოვებელ ბანაკებში). განთავისუფლების შემდეგ იგი გახდა საბჭოთა საკონტინენტო შორისო ბალისტიკური რაკეტების ერთ-ერთი მთავარი კონსტრუქტორი. მოგვიანებით ხელმძღვანელობდა საბჭოთა კოსმოსურ პროგრამას და მისი მონიტორინგით გაშვებულ იქნა დედამიწის პირველი ხელოვნური თანამგზავრი და პირველი ადამიანი კოსმოსში. მისი სიკვდილის შემდეგ, 1966 წელს, კოროლიოვის საბჭოთა მთვარის პროგრამა, რომელიც მთვარეზე ადამიანის დაშვებას ისახავდა მიზნად ამერიკელებზე ადრე, განუხორციელებელი დარჩა. კოროლიოვი ოცნებობდა ავტომატური აპარატების საშუალებით აეთვისებინა გალაქტიკის სივრცეები და მარსზე გაფრენის ორგანიზება დაეწყო, თუმცა ჩანაფიქრის განხორციელება ვერ მოასწრო.

მან ნობელის პრემია ვერ მიიღო, რადგან მისი სახელი გარდაცვალებამდე საიდუმლოდ დარჩა. მას რომ მიეღო ის თანხა, დარწმუნებით იგონებს შვილი ნატალია, ის ამ თანხას აუცილებლად მოახმარდა მარსზე კოსმოსური ხომალდის გაშვებას, რადგან, როგორც ცნობილია, სწორედ პირველი თანამგზავრები და კოსმოსური ხომალდები “ვოსტოკი” და “ვოსტოდი” კოროლიოვის ხელით შეიქმნა.

კოროლიოვთან მუშაობდა ქართველი მეცნიერი გ.ვაჩნაძე, რომელიც იხსენებს, რომ კოროლიოვს უყვარდა გამოთქმა: “თუ შენ აკეთებ სწრაფად და ცუდად, მაშინ გარეშეული დროის შემდეგ შენი სისწრაფე დაავიწყდება ხალხს, ხოლო ცუდი დაამახსოვრდებათ; თუ შენ აკეთებ კარგად და ნელა, მაშინ შენი კარგად გაკეთებული მუდამ ემახსოვრებათ”. მას უყვარდა საქმის კარგად კეთება.

ამის შემდგომ კიდევ ერთი უდიდესი წინსვლა განხორციელდა კოროლიოვის მიერ, როდესაც 1961 წლის 12 აპრილს მისივე ბრძანებით სტარტი აიღო დედამიწიდან

კოსმოსურმა ხომალდმა “სპუტნიკ – ვოსტოკ-1”-მა, რომელშიც პირველი კოსმონავტი-ადამიანი – იური გაგარინი იმყოფებოდა. სწორედ კოროლიოვმა გააცილა იგი და მანვე უსურგა მშვიდობიანი ფრენა ახალგაზრდა კოსმონავტს. რამდენიმე წუთში დამყარდა ორმხრივი რადიოკავშირი დედამიწასა და იური გაგარინს შორის. ხომალდმა 1 სთ-სა და 48 წთ-ში დედამიწას ერთხელ შემოუარა. მაშინდელი ტექნიკა ჯერ კიდევ არ იძლეოდა იმის საშუალებას, რომ კოსმონავტი ხომალდში მყოფი დაშვებულიყო დედამიწაზე. ამის გამო გაგარინი (ისევე, როგორც ყველა სხვა კოსმონავტი “ვოსტოკ-1”-ის გაფრენამდე), 7 კმ-ის სიმაღლეზე კატაპულტით გამოეყო ხომალდს და მიწაზე დაეშვა. ეს ფაქტი ხანგრძლივი დროის განმავლობაში იყო დაფარული მსოფლიო საზოგადოებისაგან. გაფრენის წარმატებით დასრულების შემდეგ გაგარინი სრულყოფდა თავის ოსტატობას, ასწავლიდა და ავარჯიშებდა კოსმონავტებს, ხელმძღვანელობდა კოსმოსური ხომალდების ფრენას. 1966 წლიდან ასტრონავტიკისა და კოსმოსური სივრცის კვლევის საერთაშორისო აკადემიის საპატიო წევრი იყო. მას მიღებული პერიოდა უმაღლესი ჯილდოები.

გაგარინი გარდაიცვალა 1968 წლის 27 მარტს. იგი ტრაგიკულად დაიღუპა საწვრთნელი ფრენის დროს, გლადიმირის ოლქის, სოფელ ნოგოსიოლოვოსთან. დასაფლავებულია მოსკოვში, წითელ მოედანზე.

ნილ არმსტრონგი — აშშ-ის კოსმონავტი-მფრინავი, სამხედრო-საზღვაო ფლოტის ოფიცერი, სპეციალობით ავიაციის ინჟინერი. 1962 წ. მიიღო ასტრონავტის სტატუსი. 1966 წ. იყო ხომალდ “ჯემინი 9”-ის მეთაური. 1969 წ. კოსმოსური ხომალდის “აპოლო 11”-ის მეთაური და ის არის პირველი ადამიანი, რომელმაც ფეხი დადგა მთვარის ზედაპირზე. სწორედ ის ხელმძღვანელობდა მისიას “აპოლო 11”-ს ეღვინ ალდრინთან (მთვარეზე დასაჯდომი კაპსულა “არწივის” პილოტი) და მაიკლ კოლინთან ერთად. კოსმოსურმა ხომალდმა სტარტი აიღო ფლორიდაში, კენედის კოსმოსური ცენტრიდან 1969 წ. 16 ივლისს და 4 დღეში, 20 ივლისს დაეშვა მთვარის ზედაპირზე, ე.წ. “წყნარ ზღვაზე”. მთელი მსოფლიო პირდაპირ ეთერში თვალს ადევნებდა ტელევიზიით ამ შესანიშნავ მოვლენას. როდესაც არმსტრონგმა ფეხი დადგა მთვარეზე 1969 წ. 21 ივლისს, 2 სთ-ს, 56 წთ-სა და 15 წმ-ზე, წარმოთქვა ისტორიული სიტყვები: “ეს პატარა ნაბიჯი ადამიანისათვის არის დიდი ნახტომი კაცობრიობისათვის”.

სამმა ასტრონავტმა: ნილ არმსტრონგმა, ეღვინ ალდრინმა და მაიკლ კოლინმა მთვარეზე გაატარეს 2.5 საათი, გაიარეს 250 მ და დედამიწაზე თან ჩამოიტანეს მთვარის რამდენიმე ქვის ნატეხი შესწავლად.

პირველი კოსმოსური სადგური, სადაც ასტრონავტები მუშაობენ, იყო “სალუტ-1”, რომელიც 1971 წ. საბჭოთა კავშირმა გაუშვა. 1998 წ. ახალი საერთაშორისო კოსმოსური სადგურის პირველი ნაწილები შეაერთეს კოსმოსში და ეს სადგური უდიდესია დღემდე არსებულ სადგურებს შორის.

პირველ კოსმონავტებს შორის საბჭოთა კავშირიდან, ვინც ნ. არმსტრონგის შემდეგ მთვარეს ეწვია და ღია სივრცეში გადმოვიდა, იყო ალექსეი ლეონოვი, “ვოსხოდ 2”. 1965 წელს სხვა კოსმონავტებთან ერთად, კოსმოსში იმოგზაურა პირველმა კოსმონავტმა ქალმა საბჭოეთიდან – ვალენტინა ტერეშკოვამ (1963 წ.).

საქართველომ ბევრი გენიალური ადამიანი აჩუქა მსოფლიოს, მათ შორისაა, კონსტრუქტორი, გამოყენებითი მექანიკისა და მანქანათმშენებლობის სპეციალისტი, საბჭოთა კავშირის მეცნიერებათა აკადემიის აკადემიკოსი, პროფესორი, რაკეტმშენებლობის ერთ-ერთი საუკეთესო სპეციალისტი ალექსანდრე ნადირაძე, რომელმაც უმძლავრესი ბალისტიკური რაკეტები (“ტემპი”, “ტოპოლი”, “პიონერი”, “სკოროსტი” და სხვა მრავალი) შექმნა.

კვლევის და მუშაობის საგანი იყო თვითმფრინავის საჰაერო ბალიშის პრინციპზე დაფუძნებული ამფორუნ-დამჯდომი მოწყობილობა, რომელიც შემდგომში დამოწავდა “უტ-26” ტიპის თვითმფრინავზე.

ომის შემდგომი პერიოდიდან ა.ნადირაძის კვლევების მიმართულება საფრენი აპარატების მექანიკის გაუმჯობესება გახდა. მის მიერ იქნა დამუშავებული საფრენი აპარატების რთული სისტემის აგების თეორიული და ტექნიკური პრინციპები. მან ასევე შექმნა მსოფლიოში პირველი მეტეოროლოგიური კვლევითი რაკეტა “მრ-1”.

1951 წელს საბჭოთა კავშირის ხელისუფლების დაგალებით ა.ნადირაძემ შექმნა რადიომართვადი ბომბის “უბ-2 ფ”-ით აღჭურვილი საავიაციო კომპლექსი “ზაიკა”, რომელიც 1955 წლიდან შეიარაღებაში მიიღეს.

გარკვეული პერიოდის შემდეგ, შეიარაღების გაუმჯობესების მიზნით, საბჭოთა კავშირის თავდაცვის სამინისტრომ მოაწყო კონკურსი კონტინენტორისო ბალისტიკური რაკეტების საუკეთესო პროექტის გამოსავლენად. აღნიშნულ კონკურსზე გამარჯვება ა.ნადირაძემ მოიპოვა.

1966 წელს “თბოინსტიტუტს”, რომელსაც ა.ნადირაძე ხელმძღვანელობდა დაევალა, შექმნა კონტინენტორისო ბალისტიკური რაკეტა მოძრავი საგრუნტო კომპლექსისათვის, და ეს პროექტი წარმატებით განხორციელდა ალ. ნადირაძის მიერ აგებულ იქნა რაკეტა “ტემპ-20”.

1971 წელს საკონსტიტუციო ბიურომ, ა.ნადირაძის ხელმძღვანელობით მუშაობა დაიწყო ახალ კომპლექსზე – “პიონერ”, რომლის წარმატებით დასრულების შემდეგ, 1973 წელს პროექტის ავტორს – ალექსანდრე ნადირაძეს რუსეთის დამსახურებული გამომგონებლის წოდება მიენიჭა. ახალი კომპლექსის “პიონერის” ორსაფეხურიანი რაკეტის საბრძოლო ბლოკში ინდივიდუალური დამიზნების სამი საბრძოლო ქაბინი იყო განთავსებული და თითოეულის სიმძლავრე 1.5 მგ ტონას შეადგენდა. “პიონერმა” პირველი სტარტი 1974 წლის 21 სექტემბერს აიღო. მისი გამოცდა 1976 წლის 9 იანვარს, 21-ე გაშვების შემდეგ, წარმატებით დასრულდა. ამავე წლის 11 მარტს ა.ნადირაძის ამ საშუალო მოქმედების მობილური სტრატეგიული სარაკეტო კომპლექსით სსრკ-ის არმია შეიარაღდა. 1976 წლის ბოლოს სტრატეგიული ჯარების განკარგულებაში 18 გამშვები დანადგარი იყო, 1980 წელს – 135, ორი წლის შემდეგ კი – 300. “პიონერის” გამოჩენამ ნატოს წევრ ქვეყნებში დიდი ინტერესი და შეშფოთება გამოიწვია.

ა.ნადირაძე იყო ზესახელმწიფოს მთავარი კონსტიტუციონი, რომელმაც შექმნა მრისხანე ბალისტიკური რაკეტები, რომლის საშუალებითაც შესაძლებელი იყო მსოფლიოს ნებისმიერი წერტილისათვის დაერტყათ. იგი ძალიან გასაიდუმლოებული პიროვნება იყო – მას მთავრობა იცავდა.

1976 წლიდან აღნიშნული სარაკეტო კომპლექსი შეიარაღებაში მიიღეს. აღნიშნული “სარაკეტო-ბირთვული ფარი” მაშინდელი საბჭოთა კავშირის ნამდვილი სიამაყე იყო; უნდა ითქვას, რომ ვაშინგტონის ავიაციისა და კოსმონავტიკის მუზეუმში “პიონერის” ერთ-ერთი ეგზემპლარი დღემდე ერთ-ერთ თვალსაჩინო ექსპონატად ინახება. მე-20 საუკუნის სამხედრო-ტექნიკური საოცრების “ტოპოლი”-ის ავტორი და შექმნელიც ჩვენი თანამემამულე ალ. ნადირაძეა.

1983 წელს კომპლექსი “ტოპოლი” გაყვანილ იქნა გამოცდაზე. მისი პირველი სტარტი 8 თებერვალს შედგა და ის შახტიდან განხორციელდა. 1987 წლის 28 აპრილს კი ჩამოყალიბებული იყო მისი სრულიად აღჭურვილი სარაკეტო პოლკი. სამწუხაროდ, პროექტის ავტორი ვერ მოესწრო თავისი მორიგი ქმნილების შეიარაღებაზე წარმატებით მიღებას. ალ. ნადირაძე იმავე წლის 3 სექტემბერს გულის შეტევით მოულოდნელად გარდაიცვალა.

პირველი გაშვება კოსმოსში წარმატებით განხორციელდა 1993 წლის 25 მარტს.

მოყოლებული ამ დროიდან რუსეთს წლებია სამხედრო აღლუმებზე სამხედრო ტექნიკა გამოჰყავს, რომელთა შორისაა ალ. ნადირაძის მიერ შექმნილი სარაკეტო

კომპლექსი – “ტოპოლი”, რომლის ანალიზიური დასავლეთის არც ერთ სახელმწიფოს არ შეუქმნია და არ გააჩნია.

ალ.ნადირაძის სარაკეტო ტექნიკის მაღალ საბრძოლო თვისებებზე მეტყველებს, რომ საკონტროლო გამოცდების ჩაბარების, სასწავლო-საბრძოლო გაშვების, თუ სადემონსტრაციო სროლების 30-წლიანი პრაქტიკის განმავლობაში არ ყოფილა არც ერთი არადამაკმაყოფილებელი შედეგი, არც ერთი წარუმატებელი გაშვება, მისი უშუალო ხელმძღვანელობით შეიქმნა აგრეთვე რაკეტები მყარ საწვავზე სისტემებისათვის: “ვოსხოდი”, “სოუზი”, “კოსმოსი”, “სოიუზ-აპოლონი” და “პროგრესი”.

1984 წელს გადაწყდა, რომ იგი აერჩიათ “საპატიო თბილისელად”. მაშინდელი საბჭოთა კავშირის გენერალური მდივნის – ჩერნენკოს ნებართვით მოხერხდა მისი ჩამოყვანა და “თბილისობის” დღესასწაულზე მოწვევა, მაგრამ ძალიან ვიწრო წრემ იცოდა ამის შესახებ.

ალ. ნადირაძეს მიღებული ჰქონდა მაშინდელი საბჭოთა კავშირის მხრიდან უამრავი უმაღლესი ჯილდოები. ის დაკრძალულია მოსკოვში, ნოვოდევიჩის სასაფლაოზე, სადაც დგას მისი ძეგლი. მისი ხსოვნის უკვდავსაყოფად რუსეთის კოსმონავტიკის ფედერაციისა და მოსკოვის თბოტექნიკის ინსტიტუტის მიერ დაწესებულია აკადემიკოსს ალექსანდრე ნადირაძის სახელობის მედალი.

მას შემდეგ, რაც ამ გენიალური ადამიანების ნიჭით, ძალისხმევითა და შემოქმედებითი საქმიანობით კაცობრიობამ უდიდეს წარმატებას მიაღწია კოსმოსის ათვისების საქმეში, კოსმოსს სხვა სახელმწიფოებიდანაც რამდენიმე ათეული კოსმონავტი ეწვია და თითქოს ეს ჩვეულებრივ მოვლენად იქცა. უფრო მეტიც, კოსმოსისკენ პირველი ნაბიჯების შემდგომ 60 წელი გავიდა და მის ათვისებაში 21-ე საუკუნეში ცივილიზაცია სულ ახალ-ახალ ნაბიჯებს დგამს. გარდა იმისა, რომ კოსმოსში გაშვებულია თითქმის 1500-მდე თანამგზავრი, რომლებიც იქიდან ინფორმაციას გვაწვდიან, დღეს დედამიწაზე არსებული მასობრივი საკომუნიკაციო სისტემა წარმოუდგენელია კოსმოსის ათვისების გარეშე, როგორიცაა ინტერნეტ და მობილური ოპერატორები.

შეიძლება ითქვას, რომ დღევანდელი გადასახედიდან დიდი ნახტომი გააკეთა კაცობრიობამ, როდესაც მარსის პლანეტამდეც მიაღწია, როგორც ამას ოცნებობდა კოროლიოვი. შესაძლებელია და დასაშვებია, რომ დედამიწაზე მოხდეს კატასტროფა. მაშინ ადამიანმა უნდა შეძლოს სიცოცხლე გააგრძელოს სხვაგან და ეს სხვაგან შეიძლება იყოს დედამიწის მსგავსი პლანეტა – მარსი. შესაძლებელია, ვიფიქროთ

ქიდევაც, რომ დიდი პერიოდი არ გვაშორებს იმ რეალობას, როდესაც ადამიანები შეძლებენ მარსზე გადასახლებას და იქ სიცოცხლის გაგრძელებას.

## ლ ი ტ ვ რ ა ტ უ რ ა

1. გეგუა ნ.. აკადემიკოსი ნიკო მუსხელიშვილი. თბილისი: მეცნიერება. 1989.
2. Harford, James. *Korolev: How One Man Masterminded the Soviet Drive to Beat America to the Moon//*. John Wiley & Sons. 1999.
3. Korolyov S. P. *Rocket Flight in the Stratosphere*. Moscow: State Military Publishers. 1934.
4. Korolyov S. P. *The Practical Significance of Konstantin Tsiolkovsky's Proposals in the Field of Rocketry*. Moscow: USSR Academy of Sciences, 1957.
5. Наталия Королева. *С.П. Королев. Отец*. М.: Наука. 2007.
6. Scott, David; Alexei Leonov. *Two Sides of the Moon: Our Story of the Cold War Space Race. with Christine Toomey*. St. Martin's Griffin. 2006.
7. *Космонавтика и ракетостроение. Биографическая энциклопедия*. Москва: Столичная энциклопедия. 2006.
8. Маринин И.А., Шамсутдинов С.Х., Глушко А.В. (составители). *Советские и российские космонавты. 1960—2000 / Под ред. Ю.М. Батурина*. М.: ООО Информационно-издательский дом «Новости космонавтики», 2001.
9. Chaikin Andrew. *A Man on the Moon: The Voyages of the Apollo Astronauts*. London: Penguin Books. 1994.
10. *Первый состав Российского национального комитета по теоретической и прикладной механике*. Составители А. Н. Богданов, Г. К. Михайлов/Под ред. д-ра физ.-мат. наук Г. К. Михайлова. М.: «КДУ», «Университетская книга». 2018.
11. Келдыш М. В., Соболев С. Л. *Николай Иванович Мусхелишвили (К шестидесятилетию со дня рождения)* // Успехи математических наук. 1951. Том 6. Вып. 2(42).
12. Осташев А. И. *Испытание ракетно-космической техники — дело моей жизни: события и факты*. Изд. 2-е, испр. и доп. Королёв. 2005.

## **60 YEARS SINCE THE BEGINNING OF EXPLORING SPACE.**

*N.Kavtaradze. "Energy". №2(98). 2021. Tbilisi. p. 5-14. geo. sum geo. engl. rus.*

The activity of studying and exploring space from the mid-20<sup>th</sup> century to the modern era is briefly discussed in the article “60 Years Since the Beginning of Exploring Space”.

The idea of exploring space belongs to the main constructor of this field in the Soviet Union — Sergei Korolev. The first artificial Earth satellite “Sputnik” was built by him according to his project and then the next spacecraft that was created by him was Sputnik Vostok 1 by which the first human being Yuri Gagarin went to outer space. S. Korolev has done the greatest bit in the organization of manufacturing of rocket-powered space techniques and aircraft weapons during the cold war.

The article contains information about Georgian scientist and inventor Aleksandre Nadiradze and Niko Muskhelishvili who was admitted by the society of sciences of the world — they both have done their important bit in exploring space.

The first steps to space were the base of the greatest discoveries which were achieved by humankind in the 21<sup>st</sup> century.

## **60 ЛЕТ ОСВОЕНИЯ КОСМОСА.**

*Н.Кавтарадзе. "Энергия". №2(98). 2021. Тбилиси. с. 5-14. груз. реф. груз. англ. рус.*

Дано краткое описание деятельности ученых в области освоения и изучения космоса с середины 20 века до наших дней.

Идея освоения космоса принадлежит Сергею Королеву - главному конструктору, работавшему в этой области в Советском Союзе. По его непосредственным проектам и под его руководством был построен первый космический корабль - «Спутник», а затем - космический корабль «Спутник-Восток-1» с запуском первого человека в космос - Юрия Гагарина. С.Королев внес наибольший вклад в организацию производства в СССР ракетно-космической техники и ракетного оружия в годы холодной войны.

Представлены также материалы о выдающемся грузинском ученом-изобретателе Александре Надирадзе и о признанном мировым научным сообществом ученом Нико Мусхелишвили, внесшем значительный вклад в освоение космоса.

Первые шаги в космос дали старт великим открытиям, сделанным человечеством в начале 21 века.

## მიკრო და მცირე სიმძლავრის ქარის ენერგეტიკული დანაღვარის ფურბინა

**კრონესორი ციური გურშუბაძე  
ასოცირებული პროფესორი გაყვალა პეტიონიშილი  
ემერიტუსი ვლადიმერ ჩხაიძე**

ბათუმის სახელმწიფო საზღვაო აკადემია

ანოტაცია. აღწერილია მიკრო და მცირე სიმძლავრის ქარის ენერგეტიკული დანაღვარის ტურბინის სიახლე, რომელიც საქართველოს ინტელექტუალური ცენტრის „საქართველოს“ მიერ აღიარებულია გამოგონებად.

მასში განხილულია: სიახლის მქონე ტურბინის მუშა ორგანოს-როტორის სტრუქტურული შემადგენლობა, მუშაობის პრინციპი, ქარის კინეტიკური ენერგიის ბრუნვით მექანიკურ ენერგიაში გარდაქმნის პროცესი და ტურბინის მთავარი მახასიათებლების-სიმძლავრისა და კუთხური სიჩქარის მნიშვნელობა ქარის სიჩქარესთან დაკავშირებით.

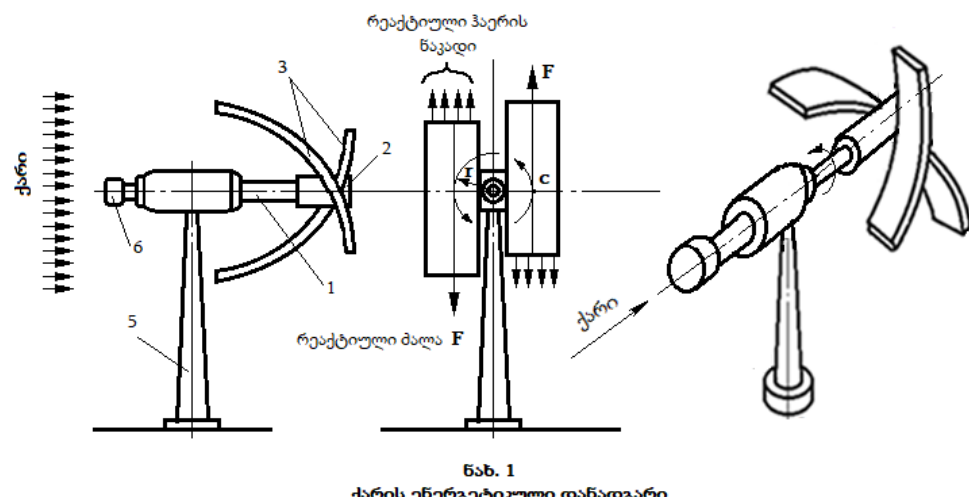
საკვანძო სიტყვები: მიკრო და მცირე სიმძლავრე, ქარის კინეტიკური ენერგია, ტურბინა, ენერგორესურსი.

ენერგოუსაფრთხოება საფუძვლად უდევს ქვეყნის ტექნიკურ პროგრესს, რაც უზრუნველყოფს მის ეკონომიკურ და სოციალურ განვითარებას. ამავე დროს, ქვეყნის ენერგოუზრუნველყოფა მოითხოვს ბუნების წიაღში არსებული არაგანახლებადი ენერგიის წყაროების ინტენსიურ გამოყენებას, რაც დაკავშირებულია დიდ კაპიტალურ ხარჯებთან, ამ წყაროების მიღევადობასთან და ყოველივე ამასთან ერთად წარმოქმნილ ეკოლოგიურ პრობლემებთან. აქედან გამომდინარე, ბაზური ენერგორესურსების დაზოგვისა და გარემოს ეკოლოგიურად გაუმჯობესების მიზნით გამართლებული იქნება არსებული ტრადიციული ენერგიის წყაროებთან ერთად გამოყენებული იქნას არატრადიციული განახლებადი ენერგიის წყაროები. ერთერთი მათგანია ქარი.

ქარის კინეტიკური ენერგიის გამოყენებაზე დაფუძნებული მიკრო და მცირე სიმძლავრის ქარის ენერგეტიკული დანაღვარების მასიური შექმნა და დანერგვა კერძო მეურნეობებსა და წარმოებებში, ასევე სოფლის ცალკე ოჯახებში ხელს შეუწყობს ქვეყნის ენერგეტიკული და ეკოლოგიური პრობლემების მოგვარებას.

რაც შეეხება მიკრო და მცირე სიმძლავრის ქარის ენერგეტიკულ დანაღვარებს, ბათუმის სახელმწიფო საზღვაო აკადემიის ტექნიკური მექანიკის ლაბორატორიაში თეორიული კვლევებისა და მაკეტებზე ჩატარებული ცდების შედეგად გამოვლინდა ქარის ტურბინის მქონე კონსტრუქცია, რომელიც „საქართველოს მიერ აღიარებული იქნა გამოგონებად (იხ. (11) პატენტის ნომერი: P 2021 7267 B; (51) საერთაშორისო კლასიფიკაციის ინდექსი: F 03 D 1/06)

გამოგონების ძირითადი არსი ვიზუალურად წარმოდგენილია ნახ. 1-ზე, სადაც ქარის ტურბინით აღჭურვილი ენერგეტიკული დანადგარი მთლიანობაში ასახულია ორთოგონალური პროექციებითა და აქსონომეტრიული გამოსახულებით.



ნახ. 1  
ქარის ენერგეტიკული დანადგარი

1- მთავარი ლილვი; 2- მორგვე; 3- ნიჩები; 4- ენერგეტიკული ბლოკი; 5- დგარი; 6- საპირწონე.

ქარის ენერგეტიკული დანადგარის ტურბინა შეიცავს მთავარ ლილვს (1), მასზე ჩამოცმულ მორგვეს (2) და მორგვეზე დამაგრებულ მრუდი ან ბრტყელი ზედაპირის მქონე ნიჩებს (3). მთავარი ლილვი მულტიპლიკატორის საშუალებით, რომელიც განლაგებულია ენერგეტიკულ ბლოკში (4), მიერთებულია ელექტროგენერატორთან ან სხვა სახის სასარგებლო მუშაობის შემსრულებელ ორგანოსთან. ყველა ამ შემადგენელი ელემენტით აღჭურვილი ბლოკი გამაგრებულია დგარის ზედა ნაწილში ისე, რომ მას შეუძლია შეასრულოს სრული  $360^{\circ}$ -ით შემობრუნება დგარის ვერტიკალური დერძის ირგვლივ.

ქარის სწორსაზობრივი მოძრაობის კინეტიკური ენერგიის გარდაქმნა ბრუნვით მექანიკურ ენერგიაში ხორციელდება შემდეგი მიმდევრობით: ქარის მოქმედების შედეგად ენერგეტიკული ბლოკი (4) ნიჩებთან ერთად იწყებს შემობრუნებას დგარის ვერტიკალური დერძის ირგვლივ მანამდე, სანამ ნიჩები ქარისადმი არ მიიღებენ საიერიშო, ანუ მუშა მდებარეობას (ამ შემთხვევაში ფლუგერის ანუ აფრის როლს ასრულებს ნიჩების, ლილვისა და მორგვის გვერდით პროექციაზე ასახული ცოცხალი ფართი). ამის შემდეგ პაერის ნაკადი V სიჩქარით ეჯახება ნიჩების ჩაზნექილ ზედაპირებს, შემოედინება მათ და შეცვლილი მიმართულებით იმავე სიჩქარითა და იმავე მოცულობით აირეკლება ნიჩების ზედაპირებიდან. პაერის ნაკადის არეკვლისას ნიჩების ზედაპირებზე აღიმვრება რეაქტიული ძალები, რომელთა ტოლქმედის ქმედების ხაზი იქნება ექსცენტრიულად დაშორებული მთავარი ლილვის ბრუნვის დერძიდან. შედეგად მივიღებთ მთავარ ლილვზე

მოქმედ მომენტს წყვილძალის სახით, რაც გამოიწვევს მთავარი ლილვის ბრუნვას და მასთან ერთად ტურბინის მუშაორგანოს მოქმედებას.

წარმოდგენილი ქარის ტურბინის ენერგოენემატიკური გაანგარიშებისას ტურბინის მბრუნვის ნაწილის როტორის მოძრაობას ვიხილავთ როგორც დამყარებულს. ვინაიდან ქარის ძირითადი პარამეტრი—მისი სიჩქარის გექტორი პერმანენტულად ცვალებადია, ამიტომ როტორის დამყარებულ მოძრაობას ვიხილავთ ქარის სიჩქარის კონკრეტული მნიშვნელობისათვის.

ნებისმიერი სახის ქარის დანადგარის ძირითადი მახასიათებელია ტურბინის სიმძლავრე და მისი როტორის კუთხური სიჩქარე ბრუნთა სიხშირის სახით, ასევე როგორც შედეგის მაჩვენებელი—ქარის ენერგიის გამოყენებისა და ჩქარმავლობის კოეფიციენტები.

როტორის ბრუნვისას ნიჩბები მის გარემომცველ ჰაერს აპოპენ არა ზედაპირით, როგორც ეს ხდება არსებულ ფრთიან როტორებში, არამედ წიბოებით რის გამოც ჰაერის წინააღმდეგობა იქნება იმდენად მცირე, რომ შეიძლება მისი უგულებელყოფა; ასევე ნიჩბების დამყარებული, თანაბარი წრიული მოძრაობისას კუთხური სიჩქარე მუდმივია, შესაბამისად მხებ აჩქარებას ადგილი არ ექნება, რაც იმას ნიშნავს, რომ როტორზე მხები მიმართულებით ინერციული ძალების მოქმედება ნულის ტოლი იქნება. ასე, რომ როტორის მიერ განვითარებული სიმძლავრე დაიხარჯება მხლოდ სასარგებლო მუშაობის შესრულებაზე და როტორის კინემატიკურ წყვილებში აღძრული ხახუნის წინააღმდეგობის გადალახვაზე.

ცნობილია, რომ გარკვეული განივი კვეთის მქონე ჰაერის ნაკადის (ქარის) კინეტიკური ენერგია იცვლება მისი სიჩქარის კუბის პროპორციულად და ეს ცვლილება გამოისახება შემდეგი დამოკიდებულებით

$$P_d = \frac{\rho A \cdot V^2}{2}, \quad (1)$$

სადაც  $\rho$  — ჰაერის სიმკვრივე,  $\text{კგ}/\text{მ}^3$ ;  $A$  — ჰაერის ნაკადის განივი კვეთის ფართი,  $\text{მ}^2$ ;

$V$  — ქარის სიჩქარე,  $\text{მ}/\text{წმ}$ .

გასარკვევია ქარის ნაკადის ენერგიის რა ნაწილი გამოიყენება სასარგებლო მუშაობის შესასრულებლად, როცა როტორის ნიჩბები განლაგებული არიან პერპენდიკულარულად ქარის მიმართულებისადმი. როგორც ნახაზიდან ჩანს როტორის ნიჩაბზე აღებული ნებისმიერი წერტილი ასრულებს წრიულ მოძრაობას ქარის მიმართულებისადმი მართობულად და ამავე წერტილში გამავალ სიბრტყეზე. ნიჩბების წრიული მოძრაობის გამომწვევი სიმძლავრე წარმოადგენს რეაქტიული  $F$  ძალისა და როტორის წრიული სიჩქარის  $U$ -ს ნამრავლს, ანუ

$$P_d = F \cdot U. \quad (2)$$

ჰაერის ნაკადის ნიჩბის ზედაპირზე დაჯახებისა და არეპლის შედეგად წარმოქმნილი რეაქტიული ძალების შემდეგ ხდება ჰაერის ნაკადის ნაწილობრივი გაფანტეგა

გვერდითი მიმართულებით. ამის შედეგად ქარის ნაკადის შემცირების გამო მის სიმძლავრეს განსაზღვრავს რეაქტიული ძალების ტოლქმედის C წერტილის წრიული სიჩქარე U, რომელიც ჩვენ შემთხვევაში უდრის  $\frac{2}{3} V$  [2], გვ. 84. თუ U-ს ამ მნიშვნელობას შევიტანო ტოლობაში (2), მივიღებთ

$$P_{\text{რ}} = \frac{2}{3} \cdot F \cdot V = \frac{\rho \cdot A \cdot V^3}{3} . \quad (3)$$

განხილული ქარის ტურბინისათვის ქარის ენერგიის გამოყენების კოეფიციენტის დასადგენად ტოლობა (3) გავყოთ ტოლობა (1)-ზე, მივითებთ

$$\xi = \frac{P_{\text{რ}}}{P_{\text{ტ}}} = \frac{2}{3} = 0,67 .$$

საბოლოოდ ნიჩბებიანი როტორით აღჭურვილი ქარის ტურბინის სიმძლავრე რეალურ გითარებაში იქნება

$$P = \frac{\rho \cdot A \cdot V^3}{3} \cdot \eta \cdot \xi ,$$

სადაც  $\eta$  – როტორის კინემატიკურ წყვილებში აღძრული ხახუნის კოეფიციენტია;

A – წარმოადგენს როტორში შემავალ ყველა ნიჩბების საიერიშო ფართების ჯამს, ანუ

$$A = i \cdot A_0 ,$$

$A_0$  – ერთი ნიჩბის საიერიშო ფართი,  $\text{m}^2$ ;  $i$  – ნიჩბების რაოდენობა.

უნდა აღინიშნოს, რომ თუ პაერის ნაკადის გაფანტვას ნიჩბის ზედაპირის განივი მიმართულებით მცირე შეზღუდვას გაუშავთებთ, რაც კონსტრუქციულ სირთულეს არ წარმოადგენს, ქარის ენერგიის გამოყენების კოეფიციენტი საგრძნობლად გაიზრდება და მასთან ერთად გაიზრდება ტურბინის სიმძლავრეც.

### საილუსტრაციო მაგალითი

დასადგენია ქარის ტურბინის სიმძლავრე ქარის სიჩქარის შემდეგი მნიშვნელობისათვის 3; 4; 5; 6; 7; 8; 9; 10; მ/წმ, თუ ცნობილია: ნიჩბების რაოდენობა  $i=2$ ; თითოეული ნიჩბის საიერიშო ფართი  $A_0 = 16 \text{ m}^2$ ;

გადაწყვეტის თანმიმდევრობა:

1. გამოსაანგარიშებელი სიმძლავრე ქარის სიჩქარესთან დაკავშირებით

$$P = \frac{\rho A \cdot V^3}{3} \cdot \eta \cdot \xi ,$$

სადაც  $\rho = 1,25 \text{ კგ/m}^3$  – პაერის სიმკვრივე;

A – ნიჩბების ჯამური ფართი, იგი უდრის

$$A = i \cdot A_0 = 2 \cdot 16 = 32 \text{ m}^2 ;$$

$\eta$  – როტორის კინემატიკურ წყვილებში აღძრული ხახუნის კოეფიციენტია, იგი აიღება  $\eta=0,9$ ;

$\xi = 0,67$  – ქარის ენერგიის გამოყენების კოეფიციენტი.

ყველა ამ სიდიდეების ფორმულაში ჩასმით მივიღებთ

$$P = \frac{1,25 \cdot 32 \cdot V^3}{3} \cdot 0,9 \cdot 0,67 = 8,04 \cdot V^3$$

ტურბინის სიმძლავრე ქარის სიჩქარის მნიშვნელობასთან დაკავშირებით იხილეთ ქვემოთ ცხრილში.

ქარის სიჩქარე მ/წ	V, V,	3	4	5	6	7	8	9	10
ტურბინის სიმძლავრე P, ვატი	217	515	1005	1737	2758	4116	5861	8040	

### ლ 0 ტ ე რ ა ტ უ რ ა

1. კაპანაძე შ. ქარის მიკრო და მცირე გლექტროსადგურები. თბილისი:საქართველოს ტექნიკური უნივერსიტეტი. 2001.
2. Фатеев Е. М. Ветродвигатели и ветроустановки. Государственное издательство сельскохозяйственной литературы. М. 1948.
3. Шефтер Я. И. Использование энергии ветра. М.:Энергоатомиздат. 1983.
4. Тарг С. М. Краткий курс теоретической механики. М.:Наука. 1967.

### MICRO AND LOW POWER WIND TURBINE.

T.Kurshubadze, M.Bekirishvili, V.Chkaidze. "Energy". №2(98). 2021. Tbilisi. p. 15-19. geo. sum geo. engl. rus.

The paper deals with constructional novelty of wind plant turbine of micro and small power output, which is recognized as invention by the intellectual centre of Georgia.

The paper describes: structural composition of the rotor, which is the working body of the turbine, its working principle, the process of transformation of wind kinetic energy into revolving mechanic energy of the rotor, as well as the change of its power and angle speed in dependence of the speed of the wind.

III. 1, tabl. 1, bibl. 4.

### ВЕТРЯНЫЕ ТУРБИНЫ МИКРО- И МАЛОЙ МОЩНОСТИ.

Ц.Куршубазе, М. Бекиришвили, В.Чхайдзе. "Энергия". №2(98). 2021. Тбилиси. с. 15-19. груз. реф. груз. англ. рус.

Работа посвящена конструкционной новизне микро и малой мощности турбины ветряной установки, признанной изобретением интеллектуального центра Грузии.

В работе описаны: структурный состав ротора, являющийся рабочим органом турбины, принцип его работы; процесс преобразования кинетической энергии ветра во вращательную механическую энергию ротора, а также изменение его мощности и угловой скорости в зависимости от скорости ветра.

Илл. 1, табл.1., лим.4 назв.

# საქართველოში ელექტროენერგიის მოხმარების პროგნოზირების პიპრიდული მოდელი

## ასისტენტი ლევან კევევაძე

საქართველოს ტექნიკური უნივერსიტეტი

ანოტაცია. წარმოდგენილ კვლევაში, ერთის მხრივ, შესწავლითა ისტორიული მონაცემების სტრუქტურა და შეფასებულია ე.წ. სტრუქტურული გარდატეხის წერტილები, რომელთა აღმოჩენაც სეზონურ მონაცემში ლიტერატურის მიხედვით რთული სტატიისტიკური ამოცანას წარმოადგენს. კვლევა იყენებს ადიციური სეზონურობისა და ტენდენციის გარდატეხის ალგორითმს (*Breaks For Additive Seasonal and Trend*), ანუ BFAST ალგორითმს, რომლითაც ელექტროენერგიის მოხმარების 2005-2018 წლების მონაცემში აღმოჩენილია ის ერთი სტრუქტურული გარდატეხის წერტილი, რომელიც ყველაზე მაღალი მაგნიტუდით ხასიათდება: ნოემბერი, 2008 წ. ამის შემდეგ კვლევა პროგნოზირებას განახორციელებს სეზონური კომპონენტის გამორიცხვით სტრუქტურული გარდატეხის წერტილის შემდეგ მიღებულ მონაცემზე. კერძოდ, პირველ ეტაპზე, გენეტიკური ალგორითმის ერთი მეთოდის, სიმბოლური რეგრესიის გამოყენებით ცდილობს, მიიღოს ის ალგებრული ფუნქცია, რომელიც ყველაზე საუკეთესო მიახლოებას იძლევა როგორც მოსამაღალებელ, ასევე სატესტო მონაცემზე. შესაბამისი იტერაციის შედეგად მიღებული ფუნქციის პროგნოზირების შესაძლებლობა შეფასებულია სატესტო მონაცემებზე, სადაც დადგინდა, რომ ფუნქცია 2018 წ. ბალანსთან შედარებით 2-ჯერ ამცირებს პროგნოზის ცდილობებას. ამის შედეგად განხორციელდა ელექტროენერგიის მოხმარების პროგნოზი 2030 წლამდე და დადგინდა მოხმარების 22 მლრდ. კვტ/სთ-მდე ზრდა. რიცხვითი მოდელირება განხორციელებულია კომპიუტერული პროგრამირების ენა R-ის გამოყენებით.

საკვანძო სიტყვები: ელექტროენერგიის მოხმარების პროგნოზირება, ადიციური სეზონურობისა და ტენდენციის გარდატეხის ალგორითმი (*Breaks For Additive Seasonal and Trend, BFAST*) გენეტიკური პროგრამირება, სიმბოლური რეგრესია, პროგრამირების ენა R.

ქვეყანაში ელექტროენერგეტიკული დადგმული სიმბლავოების ზრდა უნდა შეესაბამებოდეს ელექტროენერგიის მოხმარების დინამიკას, რაც იმას გულისხმობს, რომ მნიშვნელოვანია ელექტროენერგიის მოხმარების სწორი და დროული პროგნოზირება. სწორი პროგნოზირება უზრუნველყოფს, ერთის მხრივ, ელექტროენერგიის მიწოდების მხარეს გაწეული ინგესტიციების ელექტროენერგიის მოხმარების მოცემულ დონესთან შესაბამისობას, ხოლო, მეორეს მხრივ, ელექტროენერგიის მინიმალური დანახარჯით გამომუშავებას, რომელიც შეესაბამება უსაფრთხოების, სანდოობისა და ხარისხის მოცემულ დონეს [1].

როგორც წესი, დაგეგმვის პროცესი იწყება ელექტროენერგიის მოხმარების ტენდენციას შესწავლით. თუკი განვიხილავთ საქართველოს, ბოლო წლების

ელექტროენერგიის მოხმარება მნიშვნელოვლად გაიზარდა, კერძოდ, 2014 წელს მოხმარება 10 715 მლნ. კვტ.სთ იყო, რომელიც 2019 წლისთვის - 13 380 მლნ. კვტ.სთ-მდე, ანუ 30 %-ით გაიზარდა<sup>1</sup>. მეორეს მხრივ კი, გამომუშავების ზრდის ტემპი აშკარად ჩამორჩებოდა მოხმარების იგივე მონაცემს და შედეგად, 2016-2019 წლებში საქართველო ნეტო იმპორტიორ ქვეყნების რიცხვში აღმოჩნდა<sup>2</sup>. კერძოდ, 2019 წელს ექსპორტირებული ელექტროენერგიის მოცულობამ სულ რაღაც 243 მლნ. კვტ.სთ შეადგინდა, მაშინ როდესაც მეზობელი ქვეყნებიდან იმავე წელს იმპორტირებულია 1626,5 მლნ. კვტ.სთ ელექტროენერგია.

### საქართველოს ენერგეტიკული ბალანსი 2013-2019 წლები

ცხრილი 1

	წელი					
	2019	2018	2017	2016	2015	2014
ჰიდროელექტროსადგურები სულ, მლნ კვტსთ	8931.7	9949.3	9210.4	9329.2	8453.8	8333.7
მშ მარეგულირებელი, მლნ კვტსთ	4969.5	5801,1	5347.8	5406.2	5118.5	5158.9
მშ სეზონური, მლნ კვტსთ	3307.3	3456,1	3259.7	3238.8	2817.3	2682.7
მშ დარეგულირებული, მლნ კვტსთ	655	692,1	602.9	684.2	518	492.1
თბილეუქტროსადგურები სულ, მლნ კვტსთ	2840.4	2114,9	2233	2235.5	2378.7	2035.9
მშ მტკკარი, მლნ კვტსთ	889.7	620.1	743.2	816.8	1212	1209.8
მშ.თბილერები, მლნ კვტსთ	476	207	244.3	166.4	760.8	781.4
ჯიფაური, მლნ კვტსთ	98.9	63.6	49.7	69.6	24.8	44.7
მშ. გარდაბნის თბოსადგური, მლნ კვტსთ	1367	1212.5	1171.1	1166.3	380.7	0
მშ ტყიბულის თბოსადგური, მლნ კვტსთ	0	11.7	24.7	16.4	0.4	0
ჭართლის ჭრის სადგური, მლნ კვტსთ	84.7	84.3	87.8	9	0	0
სულ გამომუშავება, მლნ კვტსთ	11856.8	12148.6	1153.2	11573.7	10832.5	10369.6
მისმარება, მლნ კვტსთ	13380.8	13197.8	12815	12435.3	11041.71	10715.2
ესპორტი, მლნ კვტსთ	243.4	588.6	685.7	559	659	603.6
იმპორტი, მლნ კვტსთ	1626.5	1508.8	1497.2	478.9	699	851.9
ტრანზიტი, მლნ კვტსთ	136.2	13.4	254	849.6	0	58.6

ამრიგად, ჩვენ ვხედავთ, რომ გასული წლების მონაცემები მიუთითებს ელექტროენერგიის მზარდ მოთხოვნას. მაგრამ რამდენად შენარჩუნდება მსგავსი ტენდენცია, ან რამდენად არის მოსალოდნელი მოხმარების გრძელვადიანი ზრდა, დამატებითი კვლევების სამიზნე უნდა ყოფილიყო.

უნდა აღინიშნოს, რომ ელექტროენერგიის მოხმარების საშუალო და გრძელვადიანი პროგნოზირების კუთხით საქართველოში, სამწუხაროდ, კვლევების მხრივ არასახარბიერო მდგომარეობაა. ბოლო პერიოდში განხორციელდა მხოლოდ ერთი ვრცელი ანალიზი<sup>3</sup>,

<sup>1</sup> წინამდებარე სტატიაში არ განიხილება 2020 წლის მონაცემები, რადგანაც გლობალური პანდემიის გამო მიჩნეულია ანომალურ წლად, რომელმაც შესაძლოა მოგვცეს მცდარი სურათი.

<sup>2</sup> წყარო [www.esco.ge](http://www.esco.ge)

<sup>3</sup> კვლევა განხორციელდა USAID G4G პროგრამის ფინანსური მხარდაჭერით

რომელიც ეფუძნებოდა 2015 წლის საათობრივი მოხმარების მონაცემებს და ითვალისწინებდა სტატისტიკის დეპარტამენტის მიერ ელექტროენერგიის მოხმარების ბინათმესაკუთრეთა ჩვენების გამოსავლენად ჩატარებულ გამოკითხვას.

რაც შეეხება ერთწლიან პროგნოზს, აქ საქართველოს ეკონომიკისა და მდგრადი განვითარების სამინისტრო იყენებს „ქვემოდან-ზემოთ“ (bottom-up) მიდგომას, რომლის შესაბამისადაც ის ეყრდნობა გენერაციის (გამომუშავებისა) და განაწილების ლიცენზიანტების მიერ მოწოდებულ ინფორმაციას. მიღებული ინფორმაცია ერთიანდება და ყოველი წლის ბოლოს ქვეყნის მომდევნო წლის ელექტროენერგიის საპროგნოზო ბალანსის სახით. მაგალითისთვის, თუ განვიხილავთ ერთი კონკრეტული წლის, მაგალითად 2017 წლის ისტორიულ მონაცემებს, მივიღებთ შემდეგ შედეგს: საქართველოს ენერგეტიკის მინისტრის 2016 წლის 28 ნოემბრის ბრძანებაში #89 მოცემულ საპროგნოზო მაჩვენებლების რეალურ მოხმარების მონაცემებთან შედარებით ადგილად შევნიშნავთ, რომ ამ ფორმით მიღებულ პროგნოზსა და ფაქტს შორის საკმაოდ დიდი ცდომილებაა [2].

**ელექტროენერგიის (სიმძლავრის) საპროგნოზო ბალანსი, 2017 წ., საპროგნოზო და ფაქტობრივი (მლნ. კვტს)**

ცხრილი 2

თვე	იანვარი	თებერვალი	მარტი	აპრილი	მაისი	ივნისი	ივლისი	აგვისტო	სექტემბერი	ოქტომბერი	ნოემბერი	დეკემბერი	სულ
მომხმარებლებზე მიწოდება, ფაქტობრივი	1086.9	1013.4	1020.7	934.1	857.4	871.8	986.5	1037.8	920.0	949.3	1033.6	1163.9	1086.9
მომხმარებლებზე მიწოდება, პროგნოზი	1057.4	905.7	973.9	908.4	876.4	868.8	915.7	957.2	833.0	877.2	939.2	1111.4	11224.4

კერძოდ, თუკი მომხმარებლებზე მიწოდებული ელექტროენერგიის საპროგნოზო და რეალურ მონაცემებს შორის ცდომილებად განვიხილავთ საშუალო კვადრატული გადახრიდან კვადრატულ ფესვს (Root Mean Square Error, RMSE), რომელიც გამოითვლება შემდეგი ფორმულით [3]:

$$RMSE = \sqrt{\frac{\sum_{i=1}^N (Predicted_i - Actual_i)^2}{N}},$$

მაშინ ცხრ. 2-ით წარმოდგენილი მონაცემებისთვის გვექნება:  $RMSE \approx 75$  მლნ. კვ.სთ.

ამრიგად, წარმოდგენილი მსჯელობისას გამოიკვეთა ორი პრობლემა:

- პრობლემა 1: იმისთვის, რომ დაიწყოს მსჯელობა გენერაციის სიმძლავრეების ზრდის აუცილებლობაზე, უნდა დადგინდეს, რამდენად არის შესაბამისობაში არსებული სიმძლავრეები ელექტროენერგიის მოხმარების პროგნოზთან;
- პრობლემა 2: ელექტროენერგიის მოთხოვნის ტენდენციის დასადგენად აუცილებელია ენერგობალანსის შედგენისას გამოყენებულისგან განსხვავებული მეთოდის გამოყენება და ელექტროენერგიის წარმოების გაფართოების აუცილებლობის შეფასება.

წარმოდგენილი პრობლემების გასაანალიზებლად, წინამდებარე კვლევის მეთოდოლოგია ეფუძნება დროითი მწერივის გამოყენების არაპარამეტრულ მიღებას, კერძოდ, მოხმარების ისტორიული მონაცემები განხილულია დროით მწერივად და დაშვებულია, რომ ყოველი შემდეგი მონაცემი, კერძოდ, მოცემული თვის მოხმარება წარმოადგენს წინა თვეების მოხმარების გარკვეულ არაწრფივ ფუნქციას. საკითხი დგება, შევისწავლოთ და დაგადგინოთ ისეთი უწყვეტი ფუნქცია, რომელიც ყველაზე კარგად აღწერს დროითი მწერივის ავტორეგრესიას.

ამ მიზნით გამოყენებულია გენეტიკური პროგრამირების მეთოდი, რომელიც, როგორც გენეტიკური ალგორითმის ერთ-ერთი ტიპი, წარმოადგენს არაწრფივი ძიების პროცედურას. ამ პროცესში გენეტიკური პროგრამირება იყენებს ბიოლოგიიდან ნასესხებ ბუნებრივი სელექციისა და მუტაციის პრინციპს იმისთვის, რომ მოიძებნოს მოცემული ამოცანის საუკეთესო ამონასსნი, ანუ ჩვენ შემთხვევაში ის საუკეთესო ფუნქცია, რომელიც ყველაზე ზუსტად აღწერს მოცემულ მონაცემებში დაფიქსირებულ არაწრფივ ავტორეგრესიას.

თავის მხრივ, საუკეთესო ამონასსნი ნიშნავს იმ ამონასსნს, რომელიც იძლევა რეალური მონაცემების უმცირეს ცდომილებას. წინამდებარე სტატიის მიზნებისთვის ცდომილებად განიხილება ზემოთ ნახსენები საშუალო კვადრატული გადახრიდან კვადრატული ფესვი (RMSE).

ამასთან, გარდა ელექტროენერგიის მოხმარების პროგნოზისა, მნიშვნელოვანია აღნიშნული მოხმარების ისტორიული მონაცემების ტენდენციის შესწავლაც, რადგან პოლიტიკის დაგეგმვისთვის აუცილებელია როგორც ისტორიული მონაცემების აღეპვატური ანალიზი და შეფასება, ასევე ტენდენციის დროული გამოკვეთა, რომელიც, თავის მხრივ, ერთ-ერთი სერიოზული ინსტრუმენტია მომავალი მოხმარების პროგნოზირებისა და ელექტროენერგეტიკული ბაზრის დაგეგმვისთვის.

საზოგადოდ, ცვლილების სტრუქტურის შესწავლა ან, უფრო კონკრეტულად, სტრუქტურული გარდატეხის წერტილის დაფიქსირება ისტორიული მონაცემების ისეთი მოდელირებაა, რომელიც საშუალებას იძლევა დაფიქსირდეს არასტანდარტული გადახრა/ცვლილება, ამ გადახრა/ცვლილების დრო და მისი მაგნიტუდა ახლად მოპოვებულ მონაცემებში.

აქედან გამომდინარე, ინტუიციურ დონეზე შეიძლება აღინიშნოს სამი ტიპის ცვლილება, რომელიც ვლინდება ელექტროენერგიის მოხმარების მონაცემებში:

1. სეზონური (ციკლური) – რომელიც გამომდინარეობს ტემპერატურული ცვლილებითა და დღე/დამის ხანგრძლივობით.
2. თანდათანობითი/ტენდენცია – მოხმარების ცვლილება, როდესაც მოხმარება წლიდან წლამდე იცვლება თვე-თვესტან შედარებით.
3. მყისიერი/წლის შიგნით – როდესაც ეკონომიკური ან ტექნოლოგიური ფაქტორები მნიშვნელოვნად მოქმედებენ ელექტროენერგიის საბოლოო მოხმარებაზე და არღვევენ აღრე არსებული მოხმარების სქემებს.

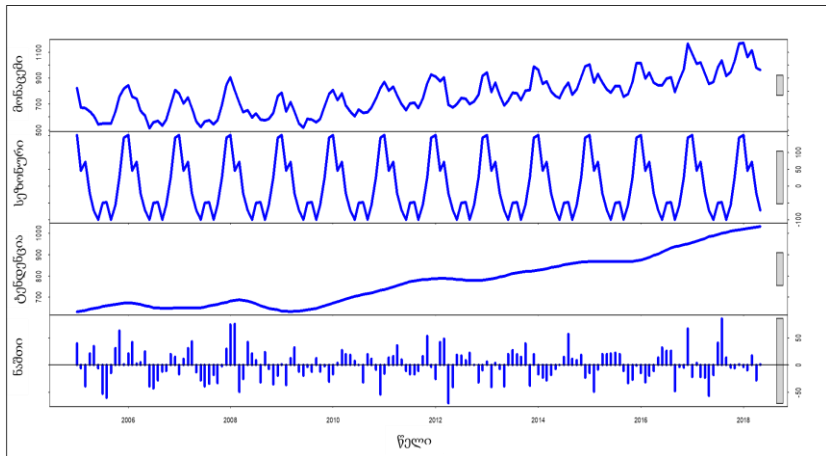
შესაბამისად, პოლიტიკის დაგეგმვისთვის აუცილებელია ელექტროენერგიის მოხმარებაში მყისიერი ცვლილების დაფიქსირება, რადგანაც მყისიერი ცვლილება ახდენს არსებული ტენდენციის (თანდათანობითი ცვლილების) სტრუქტურაზე გავლენას. პრობლემა კი ის არის, რომ სეზონურ მონაცემებში მსგავსი წერტილების დაფიქსირება საკმაოდ რთულია, რადგანაც დროის სხვადასხვა მონაკვეთებში მონაცემების თანდათანობითი ცვლილების სიჩქარის შედარება სეზონურობის გამო რთულია. თავის მხრივ, თუკი ელექტროენერგიის პროგნოზირების მეთოდოლოგია ელექტროენერგიის მოხმარებას დროით მწკრივად განიხილავს, მაშინ საფუძვლიანია იმის ვარაუდი, რომ მსგავსი ტიპის სტრუქტურული გარდატეხის წერტილები მნიშვნელოვან გავლენას უნდა ახდენდეს დროითი მწკრივების საპროგნოზო მონაცემებზე. ამიტომაც პროგნოზირების ამოცანის განხილვისთვის მნიშვნელოვნად გვეჩენება მსგავსი სტრუქტურული გარდატეხის წერტილების გამოკვეთა.

შესწავლის მიზნებისთვის ვიყენებთ ე.წ. BFAST ალგორითმს, რომლის აბრევიატურაც იშიფრება როგორც Breaks For Additive Seasonal and Trend, ანუ ადიციური სეზონურობისა და ტენდენციის გარდატეხა. აღნიშნული მეთოდი შემოთავაზებულია 2010 წელს Verbesselt et al. [4]-ში, სადაც აღნიშნული ალგორითმი გამოყენებულია სატელიტური მონაცემების დროით მწკრივებში ტენდენციისა და სეზონურობის ცვლილების გამოსავლენად. მეთოდი ეფუძნება მონაცემების დეკომპოზიციას სეზონური, ტენდენციისა და ნაშთის კომპონენტებად გაბნევის ადგილობრივად შეწონილი დაგლუვების მეთოდის გამოყენებით (Locally Weighted Regression Smoother, LOESS). ეს მეთოდი ლიტერატურაში ცნობილია Seasonal and Trend decomposition using Loess, STL მეთოდის სახელწოდებით [5]. თუმცა STL მეთოდი ტენდენციას წარმოადგენს გლუვი წირის სახით, ანუ ამ მეთოდის დაშვებით ტენდენცია იცვლება თანდათანობით და გლუვად, შესაბამისად, ტენდენციის სტრუქტურაში მყისი ცვლილების დაფიქსირება შეუძლებელია [6]. ამის ნათელი მაგალითია 2005-2018 წწ. ელექტროენერგიის მოხმარების დეკომპოზიცია STL მეთოდის გამოყენებით, კერძოდ, ნახ. 1-ზე წარმოდგენილი მესამე წირი გამოსახავს ტენდენციას, თუმცა ამ გლუვ წირზე რაიმე სტრუქტურული ცვლილების წერტილის დაფიქსირება შეუძლებელია.

ამიტომაც BFAST ალგორითმი მონაცემების დეკომპოზიციის შემდეგ სეზონურ და არასეზონურ (ანუ მონაცემებიდან სეზონურობის გამოკლებით მიღებულ მონაცემებს) კომპონენტებს აფასებს წრფივი რეგრესიის ნაშთების მცოცავი ჯამების OLS-MOSUM მეთოდის გამოყენებით. კერძოდ, OLS-MOSUM წრფივი რეგრესიის მოდელებში სტრუქტურული ცვლილების აღმოჩენის მეთოდია, რომელიც შეისწავლის რეგრესიის ნაშთის ფლუქტუაციას დროის მოცემულ შუალედში [7].

საბოლოოდ, BFAST ალგორითმი იტერაციულად აფასებს მონაცემების დეკომპოზიციის შედეგად მიღებული ტენდენციისა და სეზონურობის კომპონენტებში გარდატეხის დროსა და მაგნიტუდას. აქ მნიშვნელოვანია აღინიშნოს, რომ მიუხედავად იმისა, რომ BFAST ალგორითმი შემუშავებულია სატელიტიდან მიღებული მონაცემების შესასწავლად, მისი შედეგი არ არის დამოკიდებული მონაცემების სახეობაზე და

დაუბრკოლებლად შეგვიძლია გამოვიყენოთ ისეთი სეზონური მონაცემის შესაფასებლად, სადაც სეზონურობა ნიღბავს ტენდენციის სტრუქტურული გარდატეხის წერტილს და მისი დაფიქსირება საკმაოდ რთულია.



ნახ. 1. ელექტროენერგიის მოხმარების მონაცემები, 2005-2018 წწ.: STL დეკომპოზიცია

დამატებით, BFAST ალგორითმის უპირატესობა ის არის, რომ მისი მეშვეობით შესაძლებელია როგორც ყველა მნიშვნელოვანი სტრუქტურული ცვლილების წერტილის აღმოჩენა, ასევე, ის საშუალებას იძლევა ისტორიულ მონაცემში მოიძებნოს ერთი კონკრეტული დროის მომენტიც, სადაც ტენდენციის ძირეული ცვლილება ფიქსირდება.

კონკრეტული რიცხვითი ექსპერიმენტის დროს ნაშრომში ნაჩვენებია, რომ ტენდენციის სტრუქტურული გარდატეხის წერტილის აღმოჩენა მნიშვნელოვანად აუმჯობესებს გენეტიკური პროგრამირებით მიღებული ამონასსნის პროგნოზირების შესაძლებლობას. შესაბამისად, შემოთავაზებულია პროგნოზირების ჰიბრიდული მოდელი, როდესაც გენეტიკური პროგრამირების მოდელირებისთვის გამოიყენება მონაცემების ის ნაწილი, რომელიც BFAST ალგორითმით გამოვლენილი სტრუქტურული გარდატეხის წერტილის შემდეგ მიიღება.

### ა) გენეტიკური პროგრამირება

როგორც უკვე აღინიშნა, გენეტიკური პროგრამირება, როგორც გენეტიკური ალგორითმის გარკვეული მოდიფიკაცია, არაწრფივი ძიების პროცედურა, რომელიც სპეციალურად შემოთავაზებულია ისეთი ამოცანების გადასაჭრელად, სადაც ამონასსნების საძიებო სივრცე გადაწყვეტილების ხის სახით მოცემულ ანალიტიკური ფუნქციების გამოსახულებებს მოიცავს [8]. გენეტიკური პროგრამირების ამონასსნების საძიებო სივრცე შესაძლოა იყოს Miles [9] ნაშრომში შემოთავაზებული პოლინომური ფუნქციების სივრცე (უწყვეტი ფუნქციების აპროქსიმაციის შესახებ ვაიერშტრასის თეორემის შესაბამისად), თუმცა რიცხვითი ექსპერიმენტების დროს ჩვენ დავეყრდენით Wagner et al. [10], Scwaerzel და Bylander [11] და Zhang [12] ნაშრომებს, რომლებიც იყენებენ ყველა მარტივი ალგებრული ფუნქციების (პოლინომური, ტრიგონომეტრიული, ლოგარითმული და ა.შ) გამოსახულებებისგან შემდგარ საძიებო სივრცეს.

საზოგადოდ, გენეტიკური ალგორითმის პროცედურა მოკლედ აღიწერება შემდეგი სახით [13]:

1. საწყის ეტაპზე ხდება ინდივიდების ინიციალიზაცია, რა დროსაც ალგებრული ფუნქციებისგან შემდგარი გამოსახულებები საწყისი პრაულაციის სახით გენერირდება. ეს გამოსახულებები მიიღება შემთხვევით, შესაბამისად ზოგიერთი მათგანი სხვებთან შედარებით გარკვეული აზრით უკეთეს დროით მწკრივს იძლევა; ჩვენი ექსპერიმენტის შემთხვევაში საწყისი პრაულაციის ზომა 200 ინდივიდისგან განისაზღვრა.
2. მეორე ეტაპზე ფასდება ინდივიდების ვარგისიანობა და ხდება სელექცია, ანუ ჩვენს შემთხვევაში ყველა ინდივიდი/ფუნქცია ავტორეგრესიით იძლევა დროით მწკრივს, რომელიც ისტორიულ მონაცემებთან მოცემული კრიტერიუმით, საშუალო კვადრატული გადახრიდან კვადრატული ფესვი, ფასდება;
3. ამის შემდეგ იწყება გენეტიკური ოპერაციები, შეჯვარება და მუტაცია, რაც იმას ნიშნავს, რომ ცალკეული ინდივიდის შეფასების შემდეგ ხდება პრაულაციის მთლიანი ვარგისიანობის გაუმჯობესება, რომელიც ახალი ელემენტების, შთამომავლობის შექმნით მიიღწევა, თანაც ისე, რომ შთამომავლობა მშობლებისგან გარკვეულ საჭირო თვისებებს იღებენ. ამავდროულად, შემთხვევითობის შემოტანით, რომელიც მუტაციის სახით მიმდინარეობს, გენეტიკური პროგრამირების პრაულაცია უფრო მრავალფეროვანი ხდება.
4. რიცხვითი ექსპერიმენტის განხორციელებისას გენეტიკური პროგრამირების პროცედურის დასრულება შესაძლებელია ვარგისიანობის წინასწარ განსაზღვრული კრიტერიუმის დაკმაყოფილებით, თუმცა ჩვენ შემთხვევაში ამ კრიტერიუმის წინასწარ დადგენა შეუძლებელია; შესაბამისად, რიცხვითი ექსპერიმენტის დასრულებისთვის ვიყენებთ დროის კრიტერიუმს, ანუ პროცედურა დასრულდება ერთსაათიანი დროის შუალედის ამოწურვის შედეგად.

### ბ) BFAST ალგორითმი

როგორც უკვე აღინიშნა, BFAST ალგორითმის ინიციალიზაციის ეტაპზე ხდება მოცემული დროითი მწკრივის აღიტიური დეპმბოზიცია STL მეთოდით:

$$\mathbf{Y}_t = \mathbf{S}_t + \mathbf{T}_t + \mathbf{e}_t, \quad t = 1, 2, \dots, n,$$

სადაც  $\mathbf{T}_t$  - ტრენდის;  $\mathbf{S}_t$  - სეზონური;  $\mathbf{e}_t$  - ნაშთის კომპონენტებია.

თუმცა, STL მეთოდისგან უმთავრესი განსხვავება იმაში მდგომარეობს, რომ BFAST ალგორითმის პროცესში  $\mathbf{T}_t$  ტენდენცია განიხილება როგორც უბან-უბან წრფივი, შესაბამისად, ყოველ სეგმენტზე აქვს საეციფიკური კოეფიციენტები, ანუ არსებობს თ გარდატეხის  $\tau_1^*, \dots, \tau_m^*$  წერტილი ისეთი, რომ ყოველ უბანზე ტენდენცია წარმოდგება შემდეგი სახით:

$$T_t = \alpha_i + \beta_i * t, \quad \text{სადაც } i=1, \dots, m \text{ ხოლო } \tau_{i-1}^* < t \leq \tau_i^*.$$

თავის მხრივ, ალგორითმი ცალკე ამოწმებს სეზონურობის სტრუქტურულ ცვლილებას და ასეთის დაფიქსირების შემთხვევაში, სეზონური კომპონენტი ცალკეულ უბანზე წარმოდგება შემდეგი ტრიგონომეტრიული ფორმით:

$$S_t = \sum_{k=1}^K \left( \gamma_{j,k} \cos \frac{2k\pi x}{f} + \theta_{j,k} \sin \frac{2k\pi x}{f} \right),$$

სადაც  $\gamma_{j,k} = a_{j,k} \cos(\delta_{j,k})$ ;  $\theta_{j,k} = a_{j,k} \sin(\delta_{j,k})$ ;  $a_{j,k}$  პი - სეგმენტი სპეციფიკური ამპლიტუდები,  $\delta_{j,k}$  - ფაზა და  $f$  - სიხშირე.

საბოლოო ჯამში ალგორითმი შედგება ოთხი ეტაპისგან [14]:

**ეტაპი 1.** დროითი მწერივის STL დეკომპოზიცია, რომელიც საშუალებას იძლევა ტენდენციასა და სეზონურ კომპონენტში ცალ-ცალკე შეფასდეს სტრუქტურული ცვლილების არსებობა.

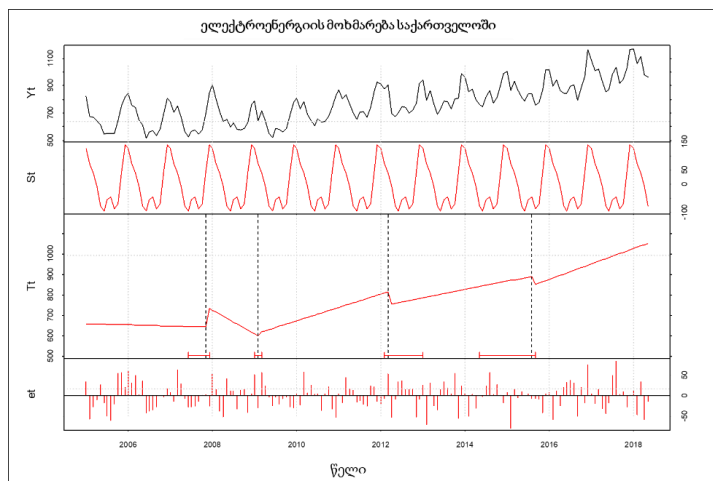
**ეტაპი 2.** ჩვეულებრივ უმცირეს კვადრატობი (OLS) ნაშთის მცოცავი ჯამის (MOSUM) ტესტი, რომელიც გამოყენებულია სტრუქტურული ცვლილების წერტილის დასადგენად ტენდენციაში, შესაბამისად, ტენდენცია წარმოდგენილია მონაკვეთებად, რომლებიც აერთებს აღნიშნული სტრუქტურული ცვლილების წერტილებს.

**ეტაპი 3.** OLS-MOSUM ტესტი სეზონური მონაცემებისთვის, რომლითაც დგინდება სეზონურ მონაცემებში სტრუქტურული ცვლილების წერტილები;

**ეტაპი 4.** უბან-უბან ფასდება სეზონური კოეფიციენტები და სეზონური მონაცემები.

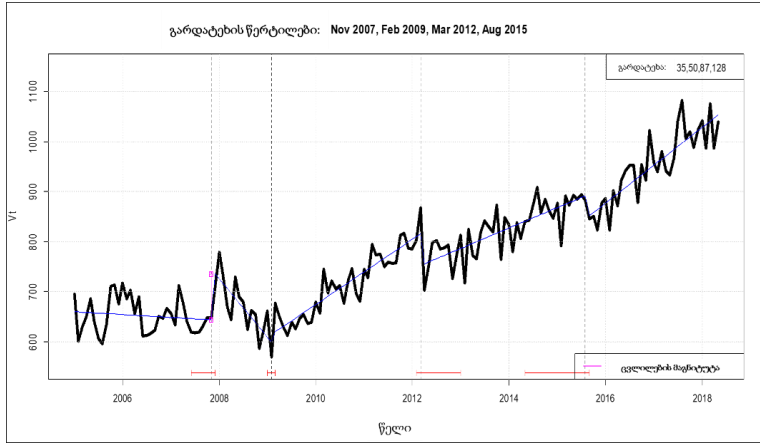
გამოიაწვარიშება. თუკი სტრუქტურული ცვლილების წერტილები მონაცემების სეზონურ კომპონენტში ვერ გამოიგვეთება, მაშინ აღნიშნული სეზონური კომპონენტი ემთხვევა STL მეთოდით მიღებულ სეზონურ კომპონენტს.

მაგალითისთვის, თუკი განვიხილავთ 2005 წ. იანვრიდან 2018 წ. დეპემბრამდე ელექტროენერგიის მოხმარების მონაცემების დეკომპოზიციას ახლა უკვე BFAST ალგორითმით (იხ. ნახ. 2), ცხადია, რომ ტენდენციის კომპონენტი მნიშვნელოვნად განსხვავდება ნახაზში 1 STL მეთოდით მიღებული ტენდენციის გლუვი წირისგან და თავისი არსით წარმოადგენს უბან-უბან წრფივ ფუნქციას.



ნახ. 2. BFAST ალგორითმი: 2005-2018 წწ. ელექტროენერგიის მოხმარების დეკომპოზიცია

ამასთან, თუკი ცალკე განვიხილავთ ტენდენციის გარდატეხის წერტილებს, მაშინ დროის შუალედების ანალიზი შესაძლოა საინტერესო იყოს ელექტროენერგეტიკული



ნახ. 3. ტენდენციის სტრუქტურული გარდატეხის წერტილები

ტენდენციის დახრის კოეფიციენტები დროის შუალედებში

### ცხრილი 3

დახრის კოეფიციენტები:	
2005(1) - 2007(11)	-5.647595
2007(12) - 2009(2)	-116.19473
2009(3) - 2012(3)	65.023234
2012(4) - 2015(8)	40.682179
2015(9) - 2018(5)	75.470373

ბაზრის დაგეგმვისთვის, თუმცა ეს ამოცანა ამჯერად სცდება წარმოდგენილი ნაშრომის მიზნებს.

როგორც უკვე აღინიშნა, BFAST ალგორითმს აქვს ტენდენციის ერთი სტრუქტურული წერტილის გამოკვეთის შესაძლებლობაც (იხ. ნახ. 4). როგორც რიცხვითი ექსპერიმენტების დროს დავრწმუნდით, ამ წერტილის აღმოჩენა მნიშვნელოვნად ზრდის გენეტიკური პროგრამირების პროგნოზის სიზუსტეს, რაც შემდეგი რიცხვითი ექსპერიმენტით დასტურდება.

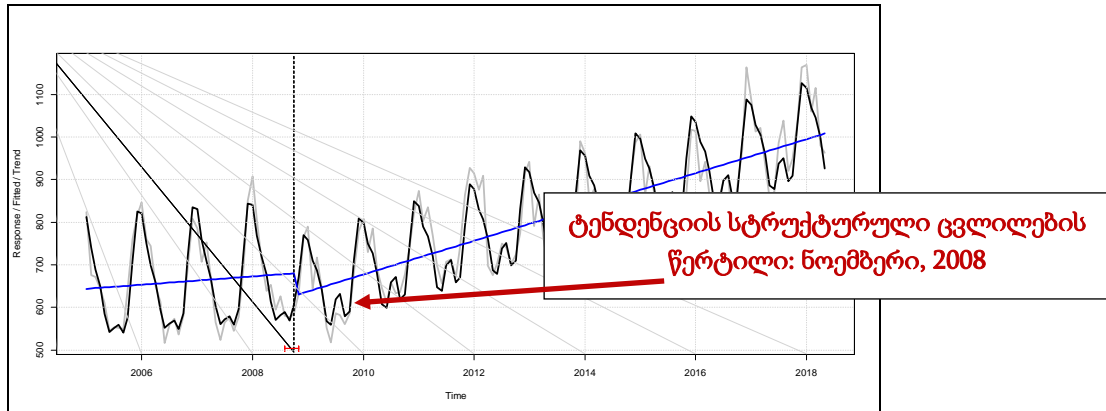
რიცხვითი ექსპერიმენტი განხორციელდა R პროგრამირების ენის გამოყენებით, კერძოდ, გამოყენებულია პაკეტი “rgp”, რომელიც წარმოადგენს გენეტიკური პროგრამირების სისტემის ინტეგრირებას R პროგრამირების გარემოში [15].

#### გ) რიცხვითი ექსპერიმენტი და შედეგები

რიცხვითი ექსპერიმენტის განხორციელების მიზნებისთვის განხილულია ელექტრონურგიის მოხმარება 2005-2018 წწ., საიდანაც 2005-2017 წლების მონაცემები როგორც მოსამზადებელი მონაცემები (Train Data), გამოყენებულია პროგნოზირების ფუნქციის მისაღებად, ხოლო 2018 წლის მონაცემებზე, რომელსაც სატესტო მონაცემებს გუწოდებთ (Test Data), შეფასებულია მიღებული ფუნქციის პროგნოზის სიზუსტე.

პირველ ეტაპზე გენეტიკური პროგრამირების პროცესი განხორციელდა ავტორეგრესიით. ამასთან, ავტორეგრესიისას გამოყენება 12 თვის მონაცემები, ანუ ყოველი შემდეგი მონაცემი განიხილება წინა 12 თვის მონაცემის ფუნქციად და გეძებთ ამ ფუნქციის

ისეთ ანალიტიკურ გამოსახულებას, რომელიც ყველაზე უკეთ ახდენს დროითი მწერივით გამოხატულ წირის აპროქსიმაციას.

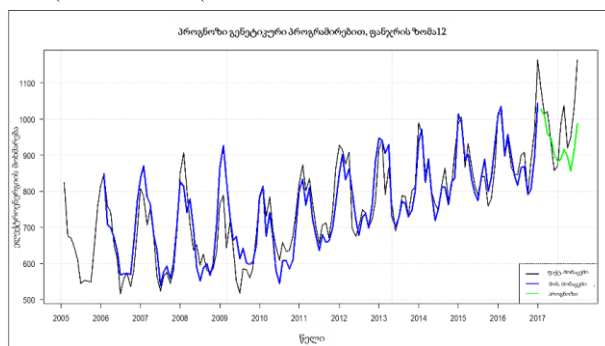


ნახ. 4. მონაცემების ანალიზი ტენდენციის ერთი გარდატეხის წერტილით

გენეტიკური პროგრამირების შედეგად მიღებული ფუნქცია და მისი ცდომილება  
ცხრილი 4

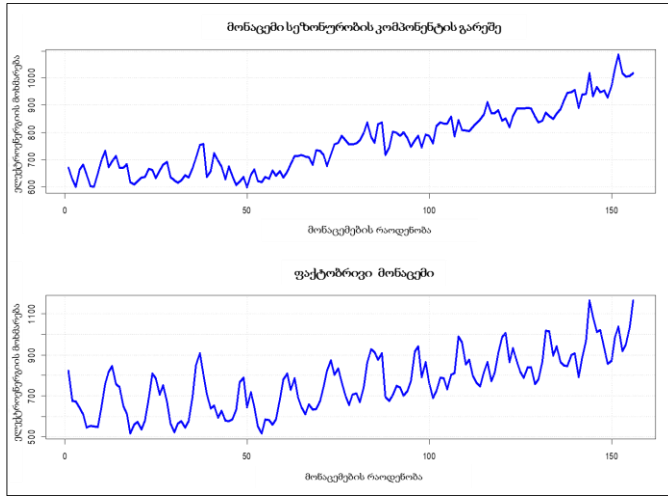
```
> Best_GP_Function:  
function (x1, x2, x3, x4, x5, x6, x7, x8, x9, x10, x11, x12)  
sqrt(sqrt(x12 * x2 + -1.56403249000375 +  
(x12 - x5)/0.0104539146217276) * x1 + x1) + 19.2961520436111  
> rmse [1] 85.93
```

რიცხვითი ექსპერიმენტის შედეგები მოცემულია ცხრ. 4-სა და ნახ. 5-ის სახით, სადაც წარმოდგენილია ფუნქცია და სატესტო მონაცემებზე ამ ფუნქციის ცდომილება. მნიშვნელოვანია აღინიშნოს, რომ წარმოდგენილი ფუნქციის ცდომილება აღემატება ცხრ. 2-ით წარმოდგენილი მონაცემების ცდომილებას, რაც გვაფიქრებს, რომ გენეტიკურ პროგრამირებას გარკვეული სირთულე შეექმნა მონაცემების სეზონურობის გამო.



ნახ. 5. პროგნოზირების ფუნქციის მიერ გენერირებული ფუნქციის გრაფიკი მოსამზადებელ და სატესტო მონაცემებზე

შესაბამისად რიცხვითი ექსპერიმენტის ამ ეტაპზე გადაწყდა, რომ გენეტიკური პროგრამირების პროგნოზირების შესაძლებლობის გასაზრდელად, რიცხვითი ექსპერიმენტი განვეხორციელებინა იმ მონაცემებზე, საიდანაც ამოღებული იქნებოდა



ნახ. 5. ელექტროენერგიის მოხმარების რეალური მონაცემებისა და სეზონური კომპონენტის გარეშე მონაცემების შედარება

გენეტიკური პროგრამირების მიერ გამოვლენილი პროგნოზირების ფუნქცია და მისი ცდომილება: სეზონურობის კომპონენტის გარეშე მონაცემები  
ცხრილი 5

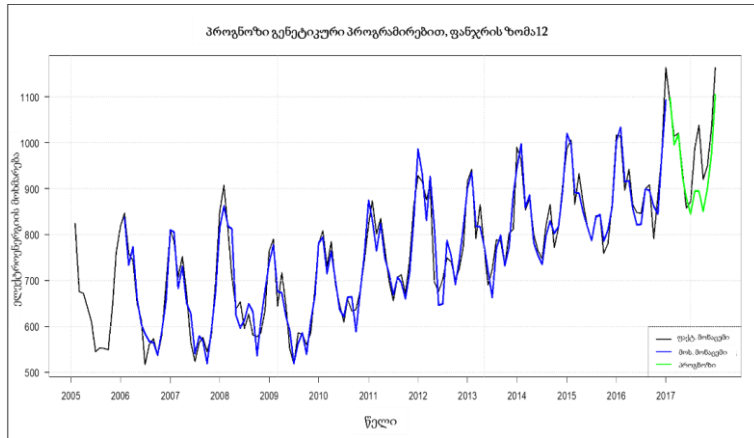
```
> Best_GP_Function:  
function (x1, x2, x3, x4, x5, x6, x7, x8, x9, x10, x11, x12)  
sin(x5) + (-1.12637372517335/cos(x5) + (cos(x12) + sin(x5) +  
(cos(sin(x5) + x12) + (cos(x12) + sin(x5) + (sin(x5) + sin(x5) +  
(cos(x12) + sin(x5) + (cos(x12) + sin(x5) + (sin(x5) +  
sin(x5) + x12)))))))  
  
> rmse [1] 61.19258
```

სეზონური კომპონენტი, ანუ საწყის მონაცემებს გამოაკლდებოდა სეზონური კომპონენტი (იხ. ნახ. 1).

სეზონურობის გარეშე მონაცემებზე რიცხვითმა ექსპერიმენტმა დაადასტურა წინასწარი მოლოდინი: გენეტიკური პროგრამირების მიერ გამოვლენილი ფუნქციის ცდომილება 61.2 მლნ. პგ.სთ-ია, რაც ცხრ. 1-ით წარმოდგენილი მონაცემების 75 მლნ. პგ.სთ -იან ცდომილებაზე ნაკლებია (იხ. ცხრ. 1, ცხრ. 5).

თუმცა ნახ. 6 აჩვენებს, რომ მიღებული ფუნქციის მიერ პროგნოზირებული მონაცემები მნიშვნელოვან ცდომილებას იძლევა ზაფხულის თვეებში, ანუ ჯამურად ცდომილება შემცირდა, თუმცა ზაფხულის თვეების მოხმარების პროგნოზირება საჭიროებს გარკვეულ კორექტირებას.

სწორედ ამ მიზნებისთვის რიცხვითი ექსპერიმენტის ბოლო ეტაპზე შემოთავაზებულია BFAST ალგორითმისა და გენეტიკური პროგრამირების გარკვეული პიბრიდი, რომლის მიხედვითაც ჯერ მონაცემებში გამოვლენილია სტრუქტურული ცვლილების წერტილი (ნახ. 4), ხოლო შემდეგ გენეტიკური პროგრამირების ფუნქციის მიღება მოხდა სწორედ ამ გარდატეხის წერტილის შემდეგ აღებული მონაცემების შესწავლით.



**ნახ. 6. გენეტიკური პროგრამირების პროგნოზირება: სეზონური კომპონენტის გარეშე მონაცემები**

შესაბამისად რიცხვითი ექსპერიმენტის პროცესი შემდეგი თანმიმდევრობით წარიმართა:

1. მონაცემებში გამოვლინდა სტრუქტურული ცვლილების წერტილი: ნოემბერი, 2008.
2. მოსამზადებელ მონაცემებად განსილულ იქნა მონაცემები სტრუქტურული ცვლილების წერტილის შემდეგ: ნოემბერი, 2008 - დეკემბერი, 2016.
3. ახალი მონაცემებიდან გამოიყიცხა სეზონური კომპონენტი.
4. გენეტიკური პროგრამირების მეშვეობით გამოიკვეთა პროგნოზირების ფუნქცია.
5. შეფასდა მიღებული ფუნქციის პროგნოზირების შესაძლებლობა სატესტო მონაცემებზე.
6. მიღებული პროგნოზირების ფუნქციით განხორციელდა ელექტროენერგიის მოხმარების პროგნოზი 2030 წლამდე.

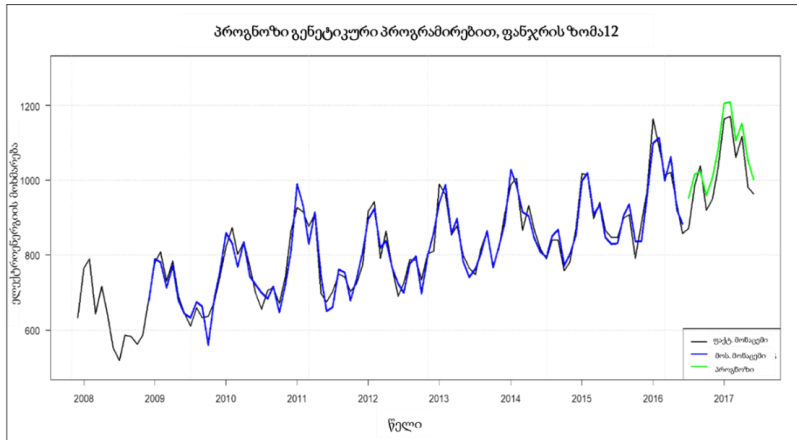
საბოლოო ჯამში, წარმოდგენილი ფორმით განხორციელებულმა რიცხვითმა ექსპერიმენტმა თითქმის 40%-ით შეამცირა სატესტო მონაცემის ცდომილება 75 მლნ. კვ.სთ-დან 48 მლნ. კვ.სთ-მდე (ცხრ. 6), ასევე, ნახ. 7 აჩვენებს, რომ პროგნოზირებული მონაცემებით აგებული წირი (მწვანე წირი) თითქმის უცდომლად იმეორებს რეალური მონაცემების წირის ფორმას.

გენეტიკური პროგრამირებისა და BFAST ალგორითმის პიბრიდული მოდელი:  
პროგნოზირების ფუნქცია და ცდომილება

ცხრილი 6

```
> Best_GP_Function:
function (x1, x2, x3, x4, x5, x6, x7, x8, x9, x10, x11, x12)
x12 + log(x12, x1^sin(x7)) + exp(cos(sin(x8))) + log(x12 + log(x12,
  x1^sin(x7)) + log(x12, x11^sin(x1 - x6)) + log(x11, x3^sin(log(0.839656840387031,
  x11) - x6)), x3^sin(x1 - x6)) + log(x12, x3^sin(cos(-1.20042937543859) -
  x6)) + log(x11, x3^sin(log(0.839656840387031, x11) - x6))
```

> rmse [1] **48.36079**



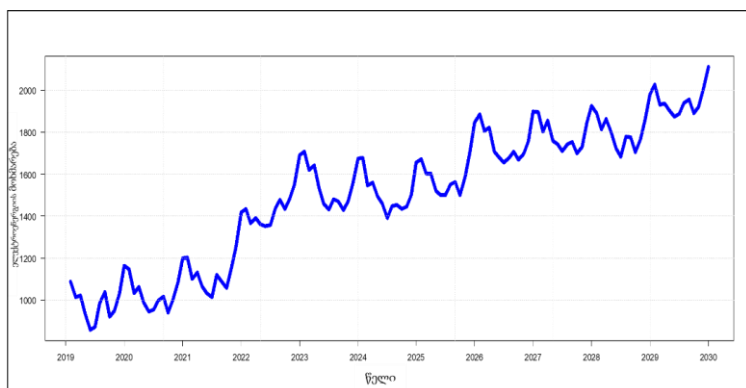
ნახ. 7. გენეტიკური პროგრამის შომა და BFAST ალგორითმის პიბრიდული მოდელი

დასასრულს, რიცხვითი ექსპერიმენტის ბოლო ეტაპია მიღებული ფუნქციით გრძელვადიანი პროგნოზირება, კერძოდ მონაცემების გენერირება ხდება შემდეგი ალგორითმით:

1. ფუნქცია წინა 12 თვის მონაცემზე დაყრდნობით იძლევა ყოველი მომდევნო თვის მონაცემს.

2. შესაბამისად, პროგნოზირების ფუნქცია თან აგენერირებს პროგნოზს და თან მიღებული პროგნოზით ახდენს მომდევნო თვის მონაცემის პროგნოზირებას.

მსგავსი რიცხვითი ექსპერიმენტის შედეგად ვიღებთ 2030 წლამდე პროგნიზრებულ გამომუშავებას თვეების მიხედვით, ხოლო ბოლო 12 თვის მონაცემის დაჯამება გვაძლევს 2030 წლის საპროგნოზო მოხმარებას, რომელიც წარმოდგენილ გამოთვლებზე დაყრდნობით, 22 მლნ. ქვ სთ შეადგენს. ადნიშნული მაჩვენებელი ელექტროენერგიის მოხმარების თითქმის 75% იან ზრდას პროგნოზირებს და იძლევა იმის საფუძველს, რომ აქტიურად განიხილებოდეს ელექტროენერგეტიკული დადგმული სიმძლავრეების გაზრდის ამოცანა. თუმცა მანამ, სანამ მსგავსი ამოცანა დაისმება, შემდეგ თავში განიხილება ელექტროგენერაციის ტექნოლოგიების ის სპეციფიკა, რომელიც წარმოდგენას გვაძლევს ამ ტექნოლოგიებს შორის ფუნდამენტური განსხვავებების შესახებ.



ნახ. 8. ელექტროენერგიის მოხმარების პროგნოზი 2030 წლამდე

## ლ ი ტ ე რ ა ტ უ რ ა

1. Beltran, H. Modern Portfolio Theory applied to Electricity Generation Planning, Illinois, USA, University of Illinois at Urbana-Champaign; [Master dissertation]. 2009.
2. საქართველოს ენერგეტიკის მინისტრის ბრძანება #89 „2017 წლის ელექტროენერგიის (სიმძლავრის) ბალანსის დამტკიცების შესახებ“, 2016.
3. Hyndman, R., Koehler, A. Another Look at Measures of Forecast Accuracy, International Journal of Forecasting, 22 (4). 2006.
4. Verbesselt, J., Hyndman, R., Newham, G., Culvenor, D. Detecting Trend and Seasonal Changes in Satellite Image Time Series, Remote Sensing of Environment, 114(1). 2010.
5. Hyndman, R., Athanasopoulos, G. Forecasting, Principles and Practice, A comprehensive Introduction of the latest forecasting methods using R, Printed by Otext.com. 2014.
6. Haywood, J., Randal, J. Trending seasonal data with multiple structural breaks, NZ Visitor Arrivals and the Minimal Effects of 9/11, 2008. ხელმისაწვდომია: <http://sms.victoria.ac.nz/foswiki/pub/Main/ResearchReportSeries/mscs08-10.pdf>
7. Zeileis, A., Leisch, F., Hornik, K., Kleiber, Ch. Strucchange: An R Package for Testing for Structural Change in Linear Regression Models, ხელმისაწვდომია: <https://cran.r-project.org/web/packages/strucchange/vignettes/strucchange-intro.pdf>. 2012
8. Koza, J. Genetic Programming, A Bradford Book, The MIT Press, Sixth Printing. 1998.
9. Miles, S. Adaptive Efficiency of Futures and Stock Markets: Analysis and Tests Using a Genetic Programming, Approach a Dissertation Submitted to the Faculty of Graduate Studies In Partial Fulfilment Of The Requirements for The Degree of Doctor Of Philosophy, Library and Archives Canada, Published Heritage Branch. 2006.
10. Wagner, N., Michalewicz, Z., Khouja, M., McGregor, R. Time Series Forecasting for Dynamic Environments: the DyFor Genetic Program Model, IEEE TRANSACTIONS ON EVOLUTIONARY COMPUTATION, Volume 3490 of the series Lecture Notes in Computer Science. 2005.
11. Schwaerzel, R, Bylander, T, Predicting Currency Exchange Rates by Genetic Programming with Trigonometric Functions and High-Order Statistics, In Proceedings of the Genetic and Evolutionary Computation Conference, Vol. 1 2006. ხელმისაწვდომია: <http://citeseerx.ist.psu.edu/viewdoc/download;jsessionid=99C42A8E49BD214ACF7F3533A8661B4E?doi=10.1.1.420.8024&rep=rep1&type=pdf>
12. Zhang, C., Genetic Programming for Symbolic Regression, ხელმისაწვდომია: [http://web.eecs.utk.edu/~cchang24/projects/cs528\\_Project2\\_Zhang.pdf](http://web.eecs.utk.edu/~cchang24/projects/cs528_Project2_Zhang.pdf) 2005.
13. Luchian, H., Bătu, A., Bătu, E. Genetic Programming Techniques with Applications in the Oil and GasIndustry , წიგნიდან: Cranganu et al. (eds.), Artificial Intelligent Approaches in Petroleum Geosciences, Springer International Publishing Switzerland . 2015.
14. Verbesselt, J., Hyndman, R., Zeileis, A., Culvenor, D. Phenological Change Detection while Accounting for Abrupt and Gradual Trends in Satellite Image Time Series, Remote Sensing of Environment, 114(12). 2010.
15. Flasch, O., Marsmann, O., Bartz-Beielstein, RGP: An Open Source Genetic Programming System for the R Environment, Conference: Genetic and Evolutionary Computation Conference, GECCO 2010, Proceedings, Portland, Oregon. 2010.

**A HYBRID MODEL FOR THE ELECTRICITY CONSUMPTION FORECAST IN GEORGIA.**  
*L. Vepkhvadze. "Energy". №2(98). 2021. Tbilisi. p. 20-34. geo. sum geo. engl. rus.*

For planning and decision-making purposes, short, medium and long-term forecasts of electricity consumption in Georgia are based on either linear models or forecast data obtained from power generation facilities, the aggregation of which creates a balance sheet for the next year. In the presented research, on the one hand, the historical data is studied and structural change points are detected based on the Breaks For Additive Seasonal and Trend (BFAST) algorithm, which identifies the single structural breakpoint with the highest magnitude in the 2005-2018 years data: November 2008. The study then makes a forecast by employing the deseasonalized data considering only points after the structural change point. In particular, in the first stage, using one method of genetic algorithm, symbolic regression, it tries to obtain the algebraic function that gives the best approximation to both training and test data. The forecasting capability of the function obtained as a result of the relevant iteration was evaluated on test data, where it was found that the function reduces the prediction error twice compared to the 2018 electricity balance sheet. Finally, the function gives the electricity consumption forecast up to the year 2030 and it is revealed that the consumption may increase up to 22 billion kWh. Quantitative modelling is performed by the computer programming language R.

*Ill. 8, tabl. 6, bibl. 15.*

**ГИБРИДНАЯ МОДЕЛЬ ДЛЯ ПРОГНОЗИРОВАНИЯ ПОТРЕБЛЕНИЯ ЭЛЕКТРОЭНЕРГИИ В ГРУЗИИ.**

*Л. Вепхвадзе. "Энергия". №2(98). 2021. Тбилиси. с. 20-34. груз. реф. груз. англ. рус.*

Для целей планирования и принятия решений краткосрочные, среднесрочные и долгосрочные прогнозы потребления электроэнергии в Грузии основываются либо на линейных моделях, либо на прогнозных данных, полученных с электростанций, агрегирование которых позволяет составить балансовый отчет на следующий год. В рамках представленного исследования, с одной стороны, изучаются исторические данные и выявляются точки структурных изменений на основе алгоритма Перелома для Аддитивной Сезонности и Тренда (BFAST), который определяет единственную структурную точку перелома с наибольшей величиной в 2005-2018 годах: Ноябрь 2008 г. Затем в исследовании делается прогноз на основе использования десезонализированных данных, в которых учитываются только данные после точки структурных изменений. В частности, на первом этапе, используя один метод генетического программирования, символьическую регрессию, метод выдаёт алгебраическую функцию, которая показывает наилучшую аппроксимацию как на тренировочных, так и на тестовых данных. Способность прогнозирования функции, полученная в результате соответствующей итерации, была оценена на тестовых данных, где было обнаружено, что найденная функция уменьшает погрешность предсказания дважды по сравнению с балансом электроэнергии в 2018 г. Наконец, функция дает прогноз потребления электроэнергии до 2030 г. показывает, что потребление может увеличиться до 22 млрд. кВт.ч. Количественное моделирование осуществляется языком программирования R.

*Илл. 8, табл. 6, лим. 15 наз.*

# ახალი ფენიცილგულა მაკოულით დადუღებული ზედაპირის ტრიბოლოგიური კვლევა

დოქტორანტი ბესიძ სარალიძე

საქართველოს ტექნიკური უნივერსიტეტის

ანოტაცია. დამზადდა ახალი ფენიცილგულა მაგთული, რომლის შემადგენლობაშია  $Ni\ 80\%$ ,  $Cr\ 20\%$ , ხოლო შიგთავსი  $Cr_3C_2$ , დადუღებული სპეციალურ ნიმუშებზე (ზომით გარე დიამეტრი 28 მმ, შიგა დიამეტრი 20 მმ, სიმაღლე 20 მმ) ერთი, ორი და სამ შრიანი ფენები.

ტრიბოლოგიური კვლევები ჩატარდა *CMCT-2-ზე*, შესწავლილი იქნა დამოკიდებულება დატვირთვასა და ხახუნის კოეფიციენტს შრიან ერთ შრიან და სამ შრიან დადუღებულ ნიმუშებზე და დადგინდა მათი ცვეთის დონე. მინიმალური ცვეთა დაფიქსირებულია ორ შრიან დადუღებულ ნიმუშზე, რაც გამოწვეულია სამ შრიანი ნიმუშის ხახუნის კოეფიციენტის მკვეთრი ზრდით. ეს გამოწვეულია სტრუქტურული ცვლილებებით, რა დროსაც მარცვლებში ჩამოყალიბდა წონასწორული სტრუქტურა ნები გაციების გამო, რომლის სიბლანტის მახასიათებელი არის შემცირებული.

საკვანძო სიტყვები: ფენიცილგულა მაგთული, ნიმუში, ტრიბოლოგიური კვლევა.

ცვეთამედეგობა მანქანათა ნაწილებში სიმტკიცესა და სიხისტესთან ერთად არის საიმედობის ერთერთი მთავარი განმსაზღვრელი [1,2].

„მანქანების უმეტესობა (85-90%) გამოდიან მწყობრიდან დეტალაბის ცვეთის გამო. დანახარჯები შეკეთებაზე და მანქანების ტექნიკურ მომსახურეობაზე რამოდენიმეჯერ აღემატება მის ღირებულებას:

- ავტომობილებში 6-ჯერ;
- თვითმფრინავებში 5-ჯერ;
- ჩარხებში 8-ჯერ [3].

„ბოლო ავლენების სესაბამისად, 2023 წლისათვის სამთომომწოდებელი მრეწველობისათვის ავტომატიზაციის ბაზარი ელირება \$ 3,29 მლრდ. - შესაბამისად წლიური ზრდის ტემპი იქნება 6,7%. შესაბამიად ცვეთამედეგი ფოლადები იქნება მნიშვნელოვანი წარმოების სრულყოფისათვის. არაშესაბამისი ფოლადების გამოყენება გამოიწვევს დანაღვარების მწყობრიდან გამოყვანას და მოცდენას“ [4,5].

ცვეთამედეგი ფოლადები გამოიყენება: მიწისმთხრელ დანაღვარებში; სოფლის მეურნეობის ტექნიკაში; სამშენებლო მანქანებში; სასარგებლო წიაღისეულის მოსაპოვებელ მანქანებში: ქვების და მაღნის სამტვრევ მანქანებში და სხვ. ცვეთამედეგი ფოლადების საექსლოატაციო თვისებები შესაძლებელია შეინარჩუნებული იყოს 4-ჯერ ხანგრძლივი დროის განმავლობაში, გიღრე ჩვეულებრივი მაღალი სიმტკიცის ფოლადებში [6].

ქრომნიკელიანი გარსაცმით დამზადებული ფენიცილგულა მაგთულით სადაც  $Ni\ 80\%$  და  $Cr\ 20\%-ია$  და ფენილი შედგება  $Cr_3C_2$  დადუღებული ზედაპირის მეტალოგრაფიულმა გამოკვლევამ გვიჩვენა, რომ სამშრიან ნიმუშებში შეიმჩნევა მომატებული სისალე [7]. აღნიშნულ დადუღებულ მასალაზე ჩატარდა ტრიბოლოგიური კვლევები.

ფხვნილგულა მავთულით რომლის გარსაცმი იყო Ni 80% Cr 20%, ხოლო შიგთავსი  $\text{Cr}_3\text{C}_2$ , დადუღდა სპეციალურ ნიმუშებზე (ზომით გარე დიამეტრი 28 მმ, შიგა დიამეტრი 20 მმ, სიმაღლე 20 მმ) ერთი, ორი და სამ შრიანი ფენები.

ტრიბოლოგიური ტესტირება ჩატარდა ლაბორატორიულ ხახუნის მანქანა CMЦ-2-ზე (ნახ. 1).



ა



ბ

#### ნახ. 1. ხახუნის მანქანა CMЦ-2:

ა - ცვეთაზე გამოსაცდელი დანადგარი; ბ - დიაგრამის ჩამწერი დანადგარი

კვლევები ჩატარდა შემდეგი რეჟიმებით:

1. მუდმივი ხახუნის სიჩქარით-0,63 მ/წ, (შეესაბამება 500ბ რ/წთ);
2. ნიმუშების ხახუნი მიმდინარეობდა ტორსული ზედაპირებით საკონტაქტო ფართით 3სმ<sup>2</sup>;
3. ნიმუშების დატვირთვა შეადგენდა 0,5, 0,7, 1,0, 1,5 და 2 მგპა. თითოეულ დატვირთვაზე ტესტირების დრო შეადგენდა 2 სთ-ს.
4. კონტრსეეული წარმოადგენდა ნაწრობ ფოლადს 40X. შემზეთად გამოიყენებოდა ხეთი 15W40, რომლის მიწოდება მოხახუნე ზედაპირზე ხდებოდა წვეთობრივად;
5. ტესტირებისას განისაზღვრა ხახუნის ტემპერატურა, ხახუნის კოეფიციენტი და წონითი ცვეთა.

ტრიბოლოგიური კვლევის შედეგები ორი საათის განმავლობაში (15 წუთის ინტერვალით) მოყვანილია ცხრ. 1, 2-ში და ნახ. 2-ზე მოცემულია დამოკიდებულება დატვირთვისა და ხახუნის კოეფიციენტს შორის.

დადგინდა, რომ დატვირთვის მოცემულ დიაპაზოში შეზეთვისას ადუღებული ზედაპირები აჩვენებენ დაბალ ხახუნის კოეფიციენტს და მათი ცვეთა უმნიშვნელოა.

დადუღებულ ერთ, ორ და სამ შრიანზე საგრძნობლად ამცირებს ხახუნის კოეფიციენტს და შესაბამისად ცვეთას, რაც დადასტურებული იყო მიკროსისალეების ზრდითაც [7].

NiCr+Cr<sub>3</sub>C<sub>2</sub>-ით დანადუღი ფენის ტესტირების შედეგები

ცხრილი 1

ერთშრიანი

P <sub>1</sub> =0.5 მგპა			P <sub>2</sub> =0.7 მგპა			P <sub>3</sub> =1.0 მგპა		
ნაბ. ტემ. T <sup>o</sup> C	ნაბ. კოეფ.f	ცვეთა $\Delta q$ , მგ	ნაბ. ტემ. T <sup>o</sup> C	ნაბ. კოეფ.f	ცვეთა $\Delta q$ , მგ	ნაბ. ტემ. T <sup>o</sup> C	ნაბ. კოეფ.f	ცვეთა $\Delta q$ , მგ
1	2	3	4	5	6	7	8	9
30	0.067		30	0.057		40	0.074	
35	0.067	4	45	0.067		50	0.076	
35	0.067		50	0.076	4	55	0.079	4
35	0.067		48	0.057		60	0.079	
35	0.065		45	0.057		65	0.079	
35	0.065		48	0.060		65	0.076	
36	0.065		48	0.060		65	0.076	
38	0.065		48	0.060		65	0.076	
38	0.065							
38	0.065							

ორშრიანი

38	0.100		32	0.076		50	0.094	
40	0.090		40	0.0320		60	0.081	
38	0.075		40	0.0320		60	0.076	
40	0.052	5	40	0.0285	ცვეთა არ ფიქსირდება	60	0.072	4
40	0.0450		40	0.0285		60	0.047	
40	0.0400		38	0.0285		55	0.047	
40	0.0400		38	0.0285		55	0.047	
38	0.0400		38	0.0285		55	0.047	

### სამშრიანი

$P_4=1.5$ მგპა			$P_5=2.0$ მგპა		
ხაბ. ტემ.	ხაბ. კოეფ.f	ცვეთ $\Delta q, \partial \delta$	ხაბ. ტემ.T°C	ხაბ. კოეფ.f	ცვეთ $\Delta q, \partial \delta$
10	11	12	13	14	15
60	0.0827	4	50	0.0870	8
85	0.0898		90	0.0950	
90	0.0960		110	0.0980	
85	0.0870		115	0.1050	
90	0.0870		120	0.1100	
90	0.0870		120	0.1200	
90	0.0870		120	0.1200	
90	0.0870		120	0.1200	

### ერთშრიანი

0.016		22	0.031		50	0.114	
0.018		25	0.029		60	0.113	
0.013		25	0.020		60	0.110	
0.013	3.5	27	0.019		85	0.180	
0.011		27	0.018				მოხდა ჩაჭერება
0.011		27	0.017				
0.011		27	0.015				
0.011		28	0.015				

### ორშრიანი

35	0.0675	ცვეთა არ ფიქსირდება	70	0.087	ცვეთა არ ფიქსირდება
58	0.0613		85	0.084	
65	0.0630		90	0.084	
70	0.0580		85	0.072	
70	0.0536		85	0.071	
70	0.0489		85	0.071	
70	0.0489		85	0.071	
70	0.0489		85	0.071	

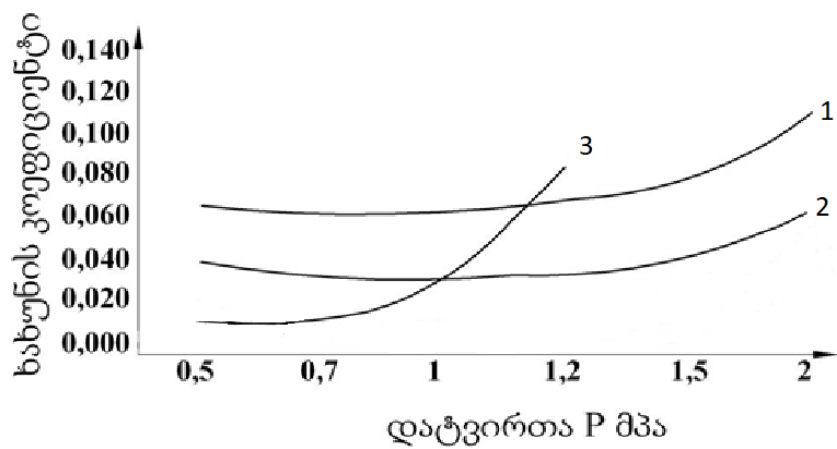
### სამშრიანი

$P_4=1.5$ 3ერ იმუშავა	$P_5=2.0$ 3ერ იმუშავა
--------------------------	--------------------------

NiCr+Cr<sub>3</sub>C<sub>2</sub> დანადუღის ტესტირების ტრიბოლოგიური პარამეტრები.  
ტესტირების დრო 2 სთ. თვითოვეულ დატვირთვაზე

ცხრილი 2

Nº	დატვირთვა, მგპა	0.5	0.7	1.0	1.5	2.0
ერთშრიანი						
1	ნახუნის ტემპერატურა T°C	38	48	65	90	120
2	ნახუნის კოეფიციენტი	0.067-0.065	0.060	0.076	0.087	0.012
3	ცვეთა $\Delta q, \text{მგ}$	4	4	4	4	4
ორშრიანი						
1	ნახუნის ტემპერატურა T°C	38	38	55	70	5
2	ნახუნის კოეფიციენტი	0.04	0.03	0.047	0.0429	50.071
3	ცვეთა $\Delta q, \text{მგ}$	5	-	4	-	-
სამშრიანი						
1	ნახუნის ტემპერატურა T°C	32	28	85	-	-
2	ნახუნის კოეფიციენტი	0.011	0.015	0.18		
3	ცვეთა $\Delta q, \text{მგ}$	3.5	-	-		



ნახ. 2. დამოკიდებულება დატვირთვისა და ნახუნის კოეფიციენტის შორის დანადუღი:  
1-ერთშრიანი NiCr+Cr<sub>3</sub>C<sub>2</sub>; 2-ორშრიანი NiCr+Cr<sub>3</sub>C<sub>2</sub>; 3-სამშრიანი NiCr+Cr<sub>3</sub>C<sub>2</sub>

ამრიგად ფხვნილგულა მავთულით რომლის გარსაცმი იყო Ni80% Cr20%, ხოლო შიგთავსი Cr<sub>3</sub>C<sub>2</sub>, დაღულებული ნიმუშების ზედაპირების ტრიბოლოგიურმა ავლევებმა აჩვენეს, რომ მინიმალური ცვეთა დაფიქსირებულია ორშრიან დაღულებულ ნიმუშზე, რაც გამოწვეულია სამშრიანი ნიმუშის ხახუნის კოეფიციენტის მკვეთრი ზრდით, ეს გამოწვეულია სტრუქტურული ცვლილებებით, რა დროსაც მარცვლებში ჩამოყალიბდა წონასწორული სტრუქტურა ნელი გაციების გამო, რომლის სიბლანტის მახასიათებელი არის შემცირებული.

## ლ ი ტ ე რ ა ტ უ რ ა

1. <http://www.stroitelstvo-new.ru/elementy/iznosostoykost-detaley.shtml>.  
უკანასკნელად იქნა გადამოწმებული 18.04.2021.
2. <https://www.totalmateria.com/page.aspx?ID=CheckArticle&site=kts&NM=139>  
უკანასკნელად იქნა გადამოწმებული 18.04.2021.
3. Полюшкин Н.Г. Основы теории трения, износа и смазки/Учеб.пособие. Красноярский государственный аграрный университет. Красноярску 2013.
4. <https://www.materialsforengineering.co.uk/engineering-materials-features/steel-wear-resistance/223373/> უკანასკნელად იქნა გადამოწმებული 18.04.2021.
5. <https://www.ssab.com/products/steel-categories/wear-resistant-steels>  
უკანასკნელად იქნა გადამოწმებული 18.04.2021.
6. <https://www.metaltek.com/blog/material-applications-wear-resistance/>
7. მირიჯნაშვილი ზ., ხუციშვილი მ., დადიანიძე გ., სარალიძე ბ. ახალი ცვეთამედეგი დასაღულებელი მასალის დამუშავება/სტუ საერთაშორისო სამეცნიერო-ტექნიკური კონფერენცია „გარემოს დაცვა და მდგრადი განვითარება”/შრომები. თბილისი. 2020.

**TRIBOLOGICAL EXAMINATION OF THE SURFACE DEPOSITED BY NEW FLUX-CORED WIRE SARALIDZE BESIK<sup>1</sup>**

*B.Saralidze. "Energy". №2(98). 2021. Tbilisi. p.35-41. geo. sum geo. engl. rus.*

A new flux-cored wire was made, consisting of 80% Ni, 20% Cr, and the core, containing Cr<sub>3</sub>C<sub>2</sub>, was fused on special samples (outer diameter 28 mm, inner diameter 20 mm, height 20 mm) in one, two and three layers.

Tribological studies were carried out on SMC-2, the dependence of the load on the coefficient of friction of single-layer, two-layer and three-layer welded samples was studied, and the degree of their wear was determined. On a two-layer welded specimen, minimal wear was observed due to a sharp increase in the friction coefficient of a three-layer specimen. This is caused by structural changes during which a balanced structure is formed in the grains due to slow cooling, and its viscosity characteristics are reduced.

*Ill. 2, tabl. 2, bibl. 7.*

**ТРИБОЛОГИЧЕСКОЕ ИССЛЕДОВАНИЕ ПОВЕРХНОСТИ НАПЛАВЛЕННОЙ НОВОЙ ПОРОШКОВОЙ ПРОВОЛОКОЙ.**

*Б.Саралидзе. "Энергия". №2(98). 2021. Тбилиси. с.35-41. груз. реф. груз. англ. рус.*

Изготовлена новая порошковая проволока, состоящая из 80% Ni, 20% Cr, а внутренность, содержащая Cr<sub>3</sub>C<sub>2</sub>, наплавлена на специальных образцах (размер наружного диаметра 28 мм, внутреннего - 20 мм, высота 20 мм) в один, два и три слоя.

Проведены трибологические исследования на СМЦ-2, изучена зависимость нагрузки от коэффициента трения однослойных, двухслойных и трехслойных сварных образцов и определена степень их износа. На двухслойном сварном образце наблюдался минимальный износ из-за резкого увеличения коэффициента трения трехслойного образца. Это вызвано структурными изменениями, во время которых в зернах формируется сбалансированная структура из-за медленного охлаждения, вязкостная характеристика которой снижена.

*Илл. 2, табл. 2, лит. 7 назв.*

**მრთვა-გადატყის მაბენის საპარკო ელექტროგადაცემის ხაზის  
მაბნიტური ველის დამაპულობის განსაზღვრა კიდურა ხაზის  
გეგმილიდან დაშორებაზე საღებების პორიზონტალური  
განლაგების დროს**

**პროფესორი თემბიზ გუსელიანი  
ასისტენტი პროფესორი გრიგორი გუსელიანი  
დოქტორანტი ლიანა ბალახაშვილი  
დოქტორანტი მარიამ გვარამაძე**

საქართველოს ტექნიკური უნივერსიტეტი

ანოტაცია. ამრიგად, გაანგარიშებით დადგენილია, რომ P1 ტიპის საყრდენებზე პორიზონტალურად განთავსებული 500 კვ ძაბვის საჭარო ელექტროგადაცემის ხაზის სადენების შემთხვევაში, კიბოს საერთაშორისო სააგენტოს მიერ დადგენილი და ჯანმრთელობის დაცვის საერთაშორისო ორგანიზაციის მიერ ადამიანის ჯანმრთელობისათვის რეკომენდებული უსაფრთხო მაგნიტური გელის ინდუქციის ლიმიტირებული მნიშვნელობები (0,2-0,3 მკტლ); ელექტროდანადგარების მოწყობის წესებით დადგენილი ელექტროგადაცემის ხაზის დედამიწის ზედაპირიდან უმცირესი დაშორების (15,5 მ) დროს, უსაფრთხოა საჭარო ელექტროგადაცემის ხაზის კიდურა სადენის გეგმილიდან 90 მ-ზე მეტი დაშორების შემთხვევაში.

საკვანძო სიტყვები: საჭარო ელექტროგადაცემის ხაზი, მაგნიტური გელი,

სამრეწველო სიხშირის ელექტრომაგნიტური გელების მოსახლეობაზე ზემოქმედების დროს ელექტრომაგნიტური თავსებადობის უზრუნველყოფა წარმოადგენს მნიშვნელოვან პრობლემას, განსაკუთრებით მაგნიტური მდგენელის ნაწილში [1]. თითოეული ადამიანი თითქმის ყოველდღე სხვადასხვა ხარისხით ექვემდებარება სამრეწველო სიხშირის ელექტრომაგნიტური გელების ზემოქმედებას.

ჯანმრთელობის საერთაშორისო ორგანიზაციამ კანცეროგენების კლასიფიკაციის შესაბამისად 2001 წელს სამრეწველო სიხშირის მაგნიტური გელი მიაკუთვნეს შესაძლო კანცეროგენების 2ბ კლასის ჯგუფს [2]. 2002 წელს კიბოს კვლევების საერთაშორისო სააგენტოს მიერ დადგენილ იქნა ადამიანის ჯანმრთელობისათვის უსაფრთხო მაგნიტური გელის ინდუქციის ლიმიტირებული მნიშვნელობები 0,2-0,3 მკტლ [3]. 2007 წელს ჯანმრთელობის დაცვის საერთაშორისო ორგანიზაციამ თავის რეკომენდაციებში დაადასტურა ეს მნიშვნელობები.

ღია ტერიტორიაზე ელექტრომაგნიტურ სიტუაციას აქვს გარკვეული თავისებურებები. ეს განპირობებულია იმით, რომ მისი ინტენსივობა დამოკიდებულია მრავალ ფაქტორზე: ძაბვის კლასზე, კონსტრუქციაზე, ხაზის გაბარიტსა და დატვირთვაზე, სახლის, სართულის

საზიდან დაშორებაზე. რამდენადაც მაგნიტური ველი აღიძვრება მაგისტრალში გამავალი დენით, ამიტომ იგი კრცელდება მნიშვნელოვან დაშორებაზე.

წინამდებარე ნაშრომის მიზანია საჰაერო ელექტროგადაცემის ხაზებში მაგნიტური ველის მაქსიმალური დაძაბულობის პირობებში კიდურა ხაზის გეგმილიდან იმ დაშორების განსაზღვრა, რომელშიც დაკმაყოფილებულია ჯანმრთელობის დაცვის საერთაშორისო ორგანიზაციის მიერ რეკომენდებული მაგნიტური ველის ინდუქციის ლიმიტირებული მნიშვნელობები 0,2–0,3 მკტლ.

მაგნიტური ველის ინდუქციის გაანგარიშებისათვის ვიყენებთ სრული დენის კანონს [4]. ელექტროტექნიკის თეორიული საფუძვლების კურსიდან ცნობილია, რომ სწორხაზოვანი დენიანი გამტარის მაგნიტური ველის ინდუქცია განისაზღვრება ფორმულით:

$$B = \frac{\mu \mu_0 I}{2\pi R} , \quad (1)$$

სადაც  $\mu$  – გარემოს ფარდობითი შეღწევადობაა და პაერისათვის,  $\mu=1$ ;  $\mu_0 = 4\pi \cdot 10^{-7}$  ამ/მ – გაგუშმის მაგნიტური შეღწევადობა;  $I$  – ხაზში გამავალი დენის მოქმედი მნიშვნელობა, ა;  $R$  – დაშორება კიდურა გამტარიდან, მ.

ელექტროტექნიკის თეორიული საფუძვლების კურსიდან ასევე ცნობილია კავშირი მაგნიტური ველის დაძაბულობასა და მაგნიტურ ინდუქციას შორის. მაგნიტური ველის დაძაბულობა:

$$H = \frac{B}{\mu \mu_0} = \frac{I}{2\pi R} . \quad (2)$$

როგორც (2) გამოსახულებიდან ჩანს, მაგნიტური ველის დაძაბულობის სიდიდე დამოკიდებული არ არის გარემოს თვისებებზე. არამედ დამოკიდებულია ხაზში გამავალი დენის სიდიდესა და ხაზიდან დაშორებაზე.

სრული დენის კანონით ცალკეული უსასრულო გამტარისათვის მაგნიტური ველის დაძაბულობა კომპლექსურ სახეში გამოისახება შემდეგნაირად:

$$\dot{H} = \frac{I}{2\pi R} . \quad (3)$$

ზედდების პრინციპის თანახმად:

$$\dot{H} = \frac{I_A}{2\pi R_A} + \frac{I_B}{2\pi R_B} + \frac{I_C}{2\pi R_C} , \quad (4)$$

სადაც  $I_A$ ,  $I_B$ ,  $I_C$  - ხაზური დენების კომპლექსური მნიშვნელობები;  $R_A$ ,  $R_B$ ,  $R_C$  – დაკვირვების წერტილიდან შესაბამის ხაზებამდე მანძილები.

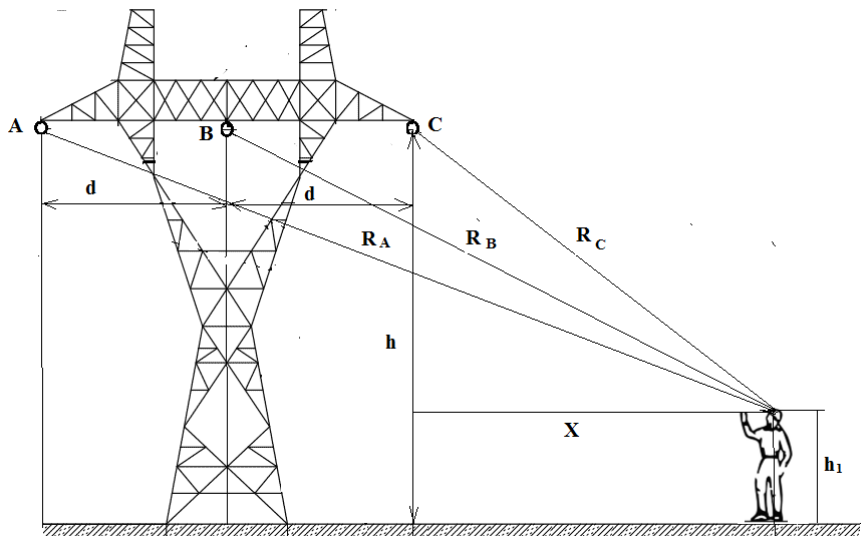
დაგუშვათ ფაზების დენების კომპლექსური მნიშვნელობებია:

$$\begin{cases} \dot{I}_A = I_b \\ \dot{I}_B = I_b e^{-j120^\circ} \\ \dot{I}_C = I_b e^{j120^\circ} \end{cases} \quad (5)$$

(5) გამოსახულებიდან საზური დენების მნიშვნელობები შევიტანოთ (4)-ში და მივიღებთ:

$$\dot{H} = \frac{I_b}{2\pi R_A} + \frac{I_b e^{-j120^\circ}}{2\pi R_B} + \frac{I_b e^{j120^\circ}}{2\pi R_C} = \frac{I_b}{2\pi} \left( \frac{1}{R_A} + \frac{e^{-j120^\circ}}{R_B} + \frac{e^{j120^\circ}}{R_C} \right). \quad (6)$$

განვიხილოთ ერთჯაჭვა 500 კვ ძაბვის საპაერო ელექტროგადაცემის საზი, რომლის საყრდენზე სადენები განლაგებულია ჰორიზონტალურად (ნახ.1).



ნახ. 1. საპაერო ელექტროგადაცემის საზის მაგნიტური ველის დაძაბულობის გაანგარიშება საყრდენზე სადენების ჰორიზონტალური განლაგების შემთხვევაში

მოცემულ შემთხვევაში ადამიანის დაშორება საპაერო ელექტროგადაცემის საზებიდან იანგარიშება ფორმულებით:

$$\begin{aligned} R_A &= \sqrt{(X + 2d)^2 + (h - h_1)^2}; \\ R_B &= \sqrt{(X + d)^2 + (h - h_1)^2}; \\ R_C &= \sqrt{X^2 + (h - h_1)^2}. \end{aligned} \quad (7)$$

(7) გამოსახულები შევიტანოთ (6)-ში და მივიღებთ:

$$\dot{H} = \frac{I_b}{2\pi} \left( \frac{1}{R_A} + \frac{1}{R_B} e^{-j120^\circ} + \frac{1}{R_C} e^{j120^\circ} \right) = \\ \frac{I_b}{2\pi} \left( \frac{1}{\sqrt{(X+2d)^2 + (h-h_1)^2}} + \frac{1}{\sqrt{(X+d)^2 + (h-h_1)^2}} e^{-j120^\circ} + \frac{1}{\sqrt{X^2 + (h-h_1)^2}} e^{j120^\circ} \right). \quad (8)$$

რადგანაც სანიტარულ - ეპიდემიოლოგიურ ნორმატიულ დოკუმენტებში მოყვანილია როგორც მაგნიტური გელის დაძაბულობის, ასევე მაგნიტური გელის ინდუქციის დასაშვები მნიშვნელობები, ამიტომ კონკრეტული მაგალითის გაანგარიშება ვაწარმოოთ მაგნიტური გელის დაძაბულობისათვის, ხოლო შემდეგ მოვახდინოთ მაგნიტური გელის ინდუქციურობის გაანგარიშება შემდეგი ფორმულით:

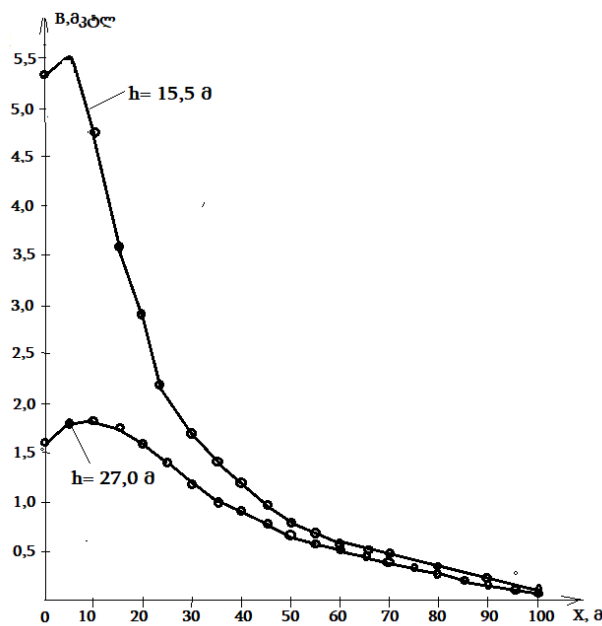
$$B = 1,25 H, \text{მკტლ}$$

მაგალითი. განვსაზღვროთ მაღალი ძაბვის საჰაერო ელექტროგადაცემის ხაზის მაგნიტური გელის დაძაბულობისა და ინდუქციურობის მნიშვნელობები მუშაობის რეალური რეჟიმში. ნახ.1-ზე მოცემულია P1 ტიპის 500 კვ ძაბვის შუალედური ანძა, რომელზეც სადენები განლაგებულია ჰორიზონტალურად. დაშორება სადენებს შორის  $d=12$  მ. სადენის მარკაა AC-400/51, რომლის ხანგრძლივად დასაშვები დენია  $I_{\text{და}} = 825$  ა. ანგარიში ვაწარმოოთ ორი შემთხვევისათვის: 1) აღნიშნული ტიპის საყრდენებზე სადენების დედამიწის ზედაპირიდან მაქსიმალური განლაგების  $h=27,0$  მ სიმაღლეზე; 2) დედამიწის ზედაპირიდან  $h=15,5$  მ სიმაღლეზე. ეს უკანასკნელი სიმაღლე აღებულ იქნა გამომდინარე იქედან, რომ ელექტროდანადგარების მოწყობის წესების (ПУЭ 7), ცხრ. 2.5.22-ის მიხედვით, დასახლებულ პუნქტებში 500 კვ საჰაერო ელექტროგადაცემის ხაზის სადენის უმცირესი დაშორება დედამიწის ზედაპირიდან უნდა იყოს 15,5 მ.

მაგნიტური გელის დაძაბულობის ანგარიშის შედეგები წარმოდგენილია ცხრილში და ნახ. 2-ზე.

როგორც ცხრილიდან და ნახ. 2-დან ჩანს, მოცემულ შემთხვევაში კიბოს საერთაშორისო სააგენტოს მიერ დადგენილი და ჯანმრთელობის დაცვის საერთაშორისო ორგანიზაციის მიერ ადამიანის ჯანმრთელობისათვის რეკომენდებული უსაფრთხო მაგნიტური გელის ინდუქციის ლიმიტირებული მნიშვნელობები (0,2-0,3 მკტლ) დაცულია საჰაერო ელექტროგადაცემის ხაზის კიდურა სადენის დედამიწაზე გეგმილიდან 90 მ მეტ მანძილზე დაშორების შემთხვევაში.

#	დაშორება კიდურა საზის გეგმილიდან X, მ	მაგნიტური გელის დაძაბულობა H, ა/მ	მაგნიტური გელის დაძაბულობა B, მპტლ	მაგნიტური გელის დაძაბულობა H, ა/მ	მაგნიტური გელის დაძაბულობა B, მპტლ
		h=27 მ		h=15,5 მ	
1	0	1,25	1,56	4,28	5,35
2	5	1,44	1,81	4,4	5,50
3	10	1,47	1,84	3,63	4,53
4	15	1,43	1,79	2,88	3,60
5	20	1,26	1,58	2,23	2,79
6	25	1,09	1,36	1,79	2,23
7	30	1,01	1,27	1,38	1,73
8	35	0,87	1,08	1,12	1,40
9	40	0,76	0,95	1,01	1,26
10	45	0,64	0,81	0,81	1,02
11	50	0,57	0,71	0,66	0,83
12	55	0,51	0,64	0,57	0,71
13	60	0,46	0,58	0,48	0,60
14	65	0,38	0,48	0,44	0,555
15	70	0,36	0,44	0,39	0,49
16	75	0,33	0,41	0,36	0,45
17	80	0,29	0,36	0,32	0,40
18	85	0,28	0,35	0,29	0,36
19	90	0,25	0,31	0,26	0,33
20	95	0,23	0,28	0,244	0,31
21	100	0,21	0,26	0,230	0,29



ნახ. 2. 500 კვ ძაბვის საპაერო ელექტროგადაცემის საზის მაგნიტური გელის ინდუქციის კიდურა  
საზის გეგმილიდან დაშორებაზე დამოკიდებულების გრაფიკი სადენების პორიზონტალური  
განლაგების დროს

## ლ 0 ტ ე რ ა ტ უ ნ ა

1. Мисриханов М.Ш., Рубцова Н.Б., Седунов В.Н., Демин С.А., Токарский А.Ю. Электромагнитные поля воздушных и кабельных линий электропередачи как фактор риска для здоровья населения// Безопасность в техносфере. № 11. 2011.
2. Скрипкин А.А., Сивяков Б.К., Аврясова О.С. Возможность предотвращения столкновений вертолетов с проводами высоковольтных линий электропередач путем их обнаружения по создаваемому ими магнитному полю// Авиационная промышленность. № 3. 2013.
3. Сивяков Б.К., Аврясова О.С.Математическое моделирование электромагнитного поля электроустановок/ Вестник СГТУ. № 4(51). Вып.3. 2010.
4. Ионкин П.А., Даревский А.И., Кухаркин Е.С., Миронов В.Г., Мельников Н.А. Теоретические основы электротехники. М.:Высшая школа. Т.1. 1976.

### DETERMINATION OF TENSION OF MAGNETIC FIELD OF SINGLE-CIRCUIT HIGH VOLTAGE OVERHEAD POWER TRANSMISSION LINE AT THE DISTANCE FROM THE UTMOST LINE PROJECTION IN HORIZONTAL PLACEMENT OF LINES

*T. Museliani, G. Museliani, L. Balakhashvili, M. Gvaramadze. "Energy". №2(98). 2021. Tbilisi. p.42-47. geo. sum geo. engl. rus.*

Thus, it is determined based on the calculation, that in case of the horizontally placed 500 kW tension overhead power transmission line wires on the P1 type pillars, the limited values (0,2-0,3) of the safe magnetic field induction determined by International Cancer Agency and recommended for human health by International Health Protection Organization, when, according to the power equipment management regulations, there is the shortest (15,5 m) distance of the power transmission line from the ground surface, are safe in case there is more than a 90 m distance from the last wire projection of the overhead power transmission line.

*Ill. 2, tabl. 1, bibl. 4.*

### ОПРЕДЕЛЕНИЕ НАПРЯЖЕННОСТИ МАГНИТНОГО ПОЛЯ ОДНОЦЕПНОЙ ВОЗДУШНОЙ ЛИНИИ ЭЛЕКТРОПЕРЕДАЧИ ВЫСОКОГО НАПРЯЖЕНИЯ ОТ РАССТОЯНИИ КРАЙНЕГО ПРОВОДА ПРИ ГОРИЗОНТАЛЬНОМ РАСПОЛОЖЕНИИ ПРОВОДОВ.

*T. Муселиани, Г. Муселиани, Л. Балакашвили, М. Гварамадзе. "Энергия". №2(98). 2021. Тбилиси. с42-47. груз. реф. груз. англ. рус.*

Расчетами установлено, что на опорах типа Р1 при горизонтально расположенных проводах воздушных линий электропередачи напряжением 500 кВ, лимитированные значения индукции магнитного поля (0,2-0,3 мкТл) в целях безопасности населения, Международным агентством рака и Министерством установлено, что при наименьшей высоте (15,5 м) от поверхности земли, согласно Правилам устройства электроустановок безопасность будет обеспечена при их удалении на 90 м от проекции крайнего провода.

*Илл. 2, табл. 1, лим. 4 назв.*

## იზოპროცესი მოწვების გავლენა n-SiGe შენადნების არადრეპად თვისებებზე

აკადემიური დოქტორი ია შერაშვილი  
დოქტორანტი თორნიკე ძიმიშვილი  
აკადემიური დოქტორი გიორგი ჩუბინიძე  
ფიზიკის მეცნ. კანდიდატი ლავით მხმიძე  
ტექნ. მეცნ. კანდიდატი მარინა ქადარია  
მაგისტრი თატიანა მალაშვილი  
მაგისტრი ნარგიზა გოგოლაშვილი  
პროფესორი გიორგი ლარსაშვილი

სოხუმის ილია გეგუას ფიზიკა-ტექნიკის ინსტიტუტი, თბილისი, საქართველო

ანოტაცია. შესწავლილია საწყისი და გამა ფოტონებით დასხივებული უ-ტიპის ელექტროგამტარობის მონოკრისტალური SiGe შენადნობების ძვრის დინამიკური მოდულისა და შინაგანი ხახუნის ცვლილებები  $20-500^{\circ}\text{C}$  ინტერგალში იზოქრონული მოწვის პირობებში. დაუსხივებელ მდგომარეობაში გამოვლენილია ორივე ფიზიკური მახასიათებლის მეტად სუსტი წრფივი ამაღლება, განპირობებული არასტაბილური დეფექტების მოწვით.  $510^{\circ}\text{C}^2$  ფლუენსის  $\text{e}^{-\text{Co}}/\text{g}$  გამა ფოტონებით დასხივება იწვევს ძვრის მოდულისა და შინაგანი ხახუნის არამონოტონურ ცვლილებებს. კრიტიკულ ტემპერატურებზე ფიზიკურ-მექანიკური მახასიათებლების ექსტრემულების გამოვლინება განპირობებულია კონფიგურაციული და კონცენტრაციული ცვლილებებით რადიაციული დეფექტების სტრუქტურაში.

საკვანძო სიტყვები: დისლოკაციური სტრუქტურა, იზოქრონული მოწვა, რადიაციული დეფექტები, შინაგანი ხახუნი, ძვრის მოდული.

სილიციუმ-გერმანიუმის შენადნობები წარმოადგენენ მიკროელექტრონიკის საბაზო მასალას. ისინი სასიათდებიან ნახევრადგამტარულ სელსაწყოომშენებლობაში საკონსტრუქციო მასალად გამოყენების მაღალი პერსპექტივებით. მათ საფუძველზე მზადდება მაიონებელი გამოსხივების დეტექტორები, სენსორები, მიკრო- და ნანოელექტრო-მექანიკური სისტემები, ნანოტექნოლოგიების სხვადასხვა პიბრიდული ნამზადები [1]. SiGe შენადნობების მექანიკური თვისებების მცირე ცვლილებებსაც კი შეუძლიათ გამოიწვიონ აღნიშნული პრეციზიული სისტემების მახასიათებლების გაუარესება. ეს გარემოება განაპირობებს მათი სტრუქტურისა და ფიზიკურ-მექანიკური თვისებების კომპლექსური კვლევების აუცილებლობასა და აქტუალობას.

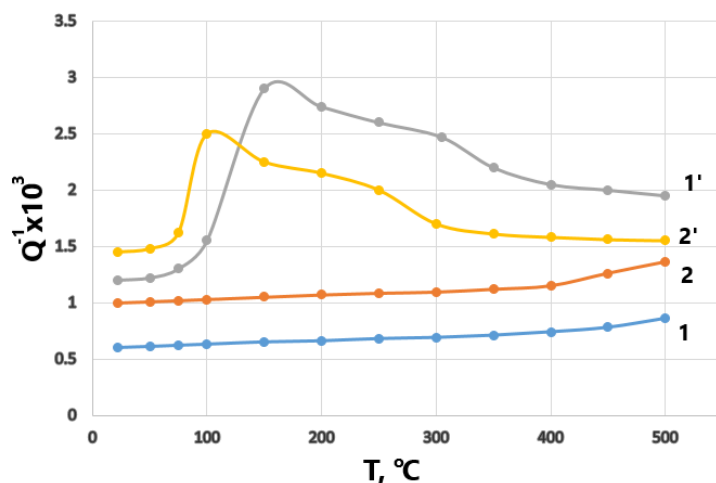
დღეისათვის ექსპერიმენტულად გამოკვლეულია SiGe შენადნობების დისლოკაციური სტრუქტურის თავისებურებები [2] და შედგენილობის გავლენა მექანიკურ [3] და რელაქსაციურ პროცესებზე [4,5]. პრაქტიკულად შეუსწავლელია რადიაციის გავლენა

განსაზღვრული ელექტროფიზიკური თვისებების მონოკრისტალური SiGe შენადნობების ფიზიკურ-მექანიკურ თვისებებზე.

წინამდებარე ნაშრომში შესწავლილია საწყის და გამა ფოტონებით დასხივებულ მდგომარეობაში ი-ტიპის ელექტროგამტარობის SiGe შენადნობების შინაგანი ხახუნისა და ძვრის დინამიკური მოდულის ცვლილებები იზოქრონული მოწვების პირობებში.

ექსპერიმენტული კვლევები განხორციელდა მეტალოგრაფიული, ელექტროფიზიკური, ოპტიკური თვისებებისა და ინფრაბერების 0,5-5,0 პც დიაპაზონში შინაგანი ხახუნისა და ძვრის მოდულის რეგისტრაციის მეთოდებით. გამოყენებულ იქნა შემდეგი დანადგარები და მოწყობილობები: მეტალოგრაფიული მიკროსკოპი NMM-800RF/TRF, იწ დიაპაზონის ოპტიკური სპექტრომეტრი Agilent Cary 600 Series FTIR, ელექტროფიზიკური მახასიათებლების გამზომი Ecopia HMS-3000 სისტემის ხელსაწყო, შინაგანი ხახუნის ლაბორატორიული დანადგარი. გრეხითი რხევების შთანთქმის რელაქსაციური პროცესების აქტივაციური მახასიათებლების განსაზღვრა განხორციელდა სტანდარტული მეთოდით [6].

ნახ. 1-ზე წარმოდგენილია საწყისი და  $^{60}\text{Co}$  გამა ფოტონებით დასხივებული მონოკრისტალური ი- Si<sub>0,99</sub>Ge<sub>0,004</sub>:P ( $10^{14}\text{სმ}^{-3}$ ) და ი- Si<sub>0,95</sub>Ge<sub>0,05</sub>:P ( $10^{14}\text{სმ}^{-3}$ ) შენადნობების იზოქრონული მოწვის პროცესში შინაგანი ხახუნის ცვლილების კვლევის შედეგები.



ნახ.1. იზოქრონულად მომწვარი ი-SiGe შენადნობების შინაგანი ხახუნის სპექტრები:

1,1'-ი- Si<sub>0,99</sub>Ge<sub>0,004</sub>: P ( $10^{14}\text{სმ}^{-3}$ ); 2,2'- ი- Si<sub>0,95</sub>Ge<sub>0,05</sub> : P ( $10^{14}\text{სმ}^{-3}$ )

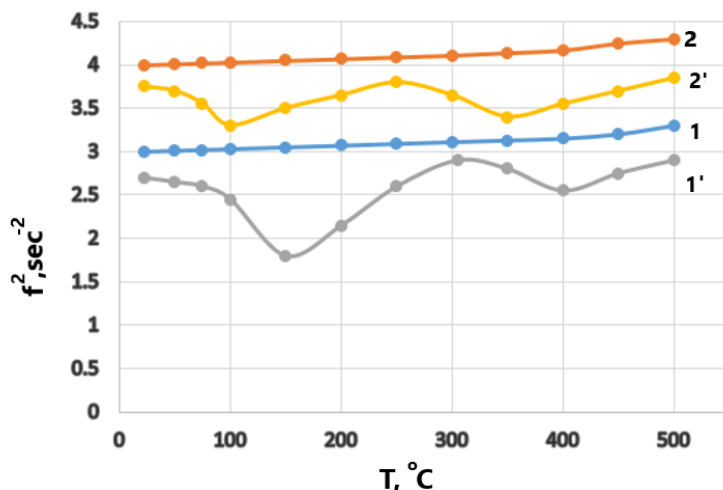
1,2 - დაუსხივებელი, 1',2'-  $^{60}\text{Co}$  გამა ფოტონებით დასხივებული ნიმუშები

როგორც მოსალოდნელი იყო, ორივე დაუსხივებელი ნიმუშის იზოქრონული მოწვის ტემპერატურულ სპექტრებში არ ვლინდება რაიმე სახის გადახრები თითქმის წრფივად მზარდი კანონზომიერებიდან. 300-500°C ტემპერატურულ უბანზე გრეხითი რხევების მიღევის სუსტად ამაღლება შესაძლებელია განპირობებულია კრისტალიზაციის პროცესში ფორმირებული დეფექტების (მინარევების ატომები, ვაკანსიები, თერმული დეფექტები)

დიფუზური აქტიურობით.  $5 \cdot 10^{16} \text{ см}^{-2}$  ფლუენსის  $^{60}\text{Co}$  გამა ფოტონებით დასხივების შემდეგ  $n\text{-Si}_{0.996}\text{Ge}_{0.004}\text{:P}(10^{14} \text{ см}^{-3})$  შენადნობების შინაგანი ხახუნის ინტენსივობის ტემპერატურული ცვლილება არამონტონურია. ის ხასიათდება მკვეთრად მზარდი ფონით  $80-150^\circ\text{C}$  ინტერვალში.  $150-400^\circ\text{C}$  დიაპაზონში შინაგანი ხახუნის ინტენსივობა საფეხურების მსგავსად მცირდება, ხოლო  $400-500^\circ\text{C}$  ინტერვალში ის ხასიათდება ნელი მონოტონური შემცირებით.

გამა ფოტონებით დასხივებული გერმანიუმის მაღალი შემცველობის  $n\text{-Si}_{0.95}\text{Ge}_{0.05}\text{:P}(10^{14} \text{ см}^{-3})$  შენადნობის შინაგანი ხახუნის ტემპერატურული ცვლილება ასევე არამონტონურია.  $\text{Si}_{0.996}\text{Ge}_{0.004}\text{:P}(10^{14} \text{ см}^{-3})$  შენადნობისგან განსხვავებით მასში შინაგანი ხახუნის ინტენსივობის მაქსიმუმის ტემპერატურა  $50^\circ\text{C}$  -ით შემცირებულია. შესაბამისად დაბალი ტემპერატურების მიმართულებით გადანაცვლებულია შინაგანი ხახუნის მდორედ გარდნისა და გაჯერების ტემპერატურული ინტერვალები.

$n\text{-Si}_{0.95}\text{Ge}_{0.05}\text{:P}(10^{14} \text{ см}^{-3})$  შენადნობის ძვრის დინამიკური მოდულის პროპორციული რხევის სიხშირის კვადრატის ტემპერატურული ცვლილებები შემდეგი თავისებურებებით ხასიათდება. დაუსხივებელ მდგომარეობაში  $500^\circ\text{C}$  ტემპერატურამდე იზოქრონული მოწვების გავლენით ძვრის მოდული განიცდის მეტად სუსტ წრფივ ზრდას, რაც შესაძლებელია განპირობებულია არასტაბილური თერმული დეფექტების მოწვითა და მოწვის პროდუქტების გადანაწილებით დისლოკაციების ირგვლივ არსებული კოტრელის ატმოსფეროში. გამა ფოტონებით დასხივებულ მდგომარეობაში ძვრის მოდული ზიგზაგისებურად იცვლება. ის ხასიათდება ძლიერი ( $150^\circ\text{C}$ ) და შედარებით სუსტი ( $400^\circ\text{C}$ ) მინიმუმებითა და განიერი მაქსიმუმით  $300^\circ\text{C}$  ტემპერატურის არეში,  $500^\circ\text{C}$  ტემპერატურაზე ძვრის მოდულის სიდიდე მაღალია და უასლოვდება დაუსხივებელი ნიმუშის დამახასიათებელ მნიშვნელობას.



ნახ. 2. იზოქრონულად მომწვარი  $n\text{-SiGe}$  შენადნობების ძვრის მოდულის სპექტრები:

$1,1'-n\text{-Si}_{0.996}\text{Ge}_{0.004}\text{:P}(10^{14} \text{ см}^{-3})$ ;  $2,2'-n\text{-Si}_{0.95}\text{Ge}_{0.05}\text{:P}(10^{14} \text{ см}^{-3})$

1,2 - დაუსხივებელი, 1',2' -  $^{60}\text{Co}$  გამა ფოტონებით დასხივებული ნიმუშები

დაუსხივებელი  $n\text{-Si}_{0.95}\text{Ge}_{0.05}\text{:P}(10^{14}\text{სმ}^{-3})$  შენადნობის ძვრის მოდულის ტემპერატურული ცვლილება ასევე მონოტონური წრფივი ზრდით ხასიათდება. ძვრის მოდულის წრფივი ამაღლებისადმი მისწრაფება გამოწვეულია კრისტალიზაციის პროცესში შენადნობის სტრუქტურაში წარმოქმნილი არასტაბილური დეფექტების მოწვითა და დისლოკაციების დამუხრუჭების გაძლიერებით მინარევებით გამდიდრებულ კოტრელის ატმოსფეროში. გამა ფოტონებით დასხივებულ მდგომარეობაში ძვრის მოდულის ტემპერატურული ცვლილება არამონოტონურად მზარდია. ის ხასიათდება დაბალი ტემპერატურებისაკენ 50°C-ით წანაცვლებული ორი მინიმუმითა და მაქსიმუმით 250°C ტემპერატურის არეში. აღსანიშნავია, რომ 500°C ტემპერატურამდე იზოქრონული მოწვებით ძვრის მოდულის სიდიდე საგრძნობლად ამაღლებულია საწყისი მდგომარეობის დამახასიათებელ სიდიდესთან შედარებით. დასხივებულ მდგომარეობაში ორივე შენადნობის ძვრის მოდულის სუსტად გამოვლენილი წრფივი ზრდა ძირითადად განპირობებულია გარდაქმნებით რადიაციული დეფექტების სტრუქტურაში იზოქრონული მოწვების პროცესში.

გამა ფოტონებით დასხივებული  $n\text{-Si}$  შენადნობების შინაგანი ხახუნის და ძვრის მოდულის არამონოტონური ცვლილებები დაკავშირებულია მათ სტრუქტურაში ფორმირებული რადიაციული დეფექტებში (VP, VO<sup>o</sup>, VO<sup>-</sup>, C<sub>2</sub>O<sub>2</sub>, C<sub>2</sub>C<sub>2</sub>, O<sub>2</sub>S<sub>2</sub>, SS<sub>2</sub>) განხორციელებული გარდაქმნებით იზოქრონული მოწვების გავლენით. 100-150°C ინტერვალში ძვრის მოდულის მკვეთრი შემცირება და შინაგანი ხახუნის ინტენსივობის ზრდა ემთხვევა რადიაციული წარმოშობის ვაკანსია-ფოსფორის წყვილების (E-ცენტრები) დაშლის ტემპერატურულ არეს. E-ცენტრის დაშლით განთავისუფლებული ვაკანსიები ურთიერთქმედებენ ჟანგბადის ჩანერგილ ატომებთან და წარმოიქმნება შედარებით სტაბილური A ცენტრები-VO, დიგაკანსიები-V<sub>2</sub> და VO<sub>2</sub>. ეს უკანასკნელი ეფექტურად მოქმედებს დისლოკაციურ სტრუქტურასთან და იწვევს სტრუქტურის განმტკიცებასა და ძვრის მოდულის ზრდას 250-300°C ტემპერატურულ ინტერვალში. 300°C ტემპერატურიდან იწყება დისლოკაციებისა და A ცენტრების დაშლის პროცესი, რაც ნათლად ვლინდება ძვრის მოდულის ვარდნით 300-400°C ინტერვალში. ამავე ტემპერატურებზე მიმდინარეობს ასევე თერმულად მდგრადი ელექტრულად ნეიტრალური VO<sub>2</sub> კომპლექსების ფორმირება. ამაღლებული თერმული მდგრადობის VO<sub>2</sub> კომპლექსები განაპირობებენ დისლოკაციების ბმების გაძლიერებას, რაც იწვევს ძვრის მოდულის ამაღლებასა და შინაგანი ხახუნის ინტენსივობის მდორედ შემცირებას 400-500°C ინტერვალში. გერმანიუმის მაღალი შემცველობის  $n\text{-Si}_{0.95}\text{Ge}_{0.05}\text{:P}(10^{14}\text{სმ}^{-3})$  შენადნობში რადიაციული დეფექტების სტრუქტურაში განხორციელებული ანალოგიური ცვლილებები ვლინდებიან შედარებით დაბალ ტემპერატურებზე. ასეთი ცვლილებები განპირობებულია აღნიშნული შენადნობის სტრუქტურაში მესრის პარამეტრის ზრდითა, და, შესაბამისად, ატომთაშორისი კაგშირის ძალების შემცირებით.

## ლ 0 ტ ე რ ა ტ უ რ პ

1. Нанотехнологии в полупроводниковой электронике/Под ред. А.Л. Асеева. Новосибирск: Изд.- во СО-РАН. 2004.
2. Yonenaga I. Dislocation dynamics in SiGe alloys// Journal of Physics: Conference Series. 2013. 471. 012002.
3. Yonenaga I. Dislocation Velocities and mechanical strength of bulk GeSi crystals. Physica Status Solidi (a). 1999. 1711.
4. Kurashvili I., Darsavelidze G., Bokuchava G., Chubinidze G., Tabatadze I., Archuadze G. Influence of radiation defects on internal friction spectra of SiGe crystals//Bulletin of the Georgian National Academy of Sciences. Vol. 12. #3. 2018.
5. Kurashvili I., Darsavelidze G., Kimeridze T., Chubinidze G., Tabatadze I. Peculiarities of internal friction and shear modulus in  $^{60}\text{Co}$  gamma-rays irradiated monocrystalline SiGe Alloys. World Academy of Science, Engineering and Technology International Journal of Materials and Metallurgical Engineering. Vol. 13. No8. 2019.
6. Blanter M.S., Golovin I.S., Neuhauser H., Sinning H.-R. Internal friction in metallic materials. A handbook. Springer Series in Materials Science. Vol. 990. 2007. XVII.

### INFLUENCE OF ISOCHRONAL ANNEALING ON INELASTIC PROPERTIES OF n-SiGe ALLOYS.

*I.Kurashvili, T.Kimeridze, G.Chubinidze, D.Mkheidze, M.Kadaria, T.Melashvili, N.Gogolashvili, G.Darsavelidze. "Energy". №2(98). 2021. Tbilisi. p. 48-52. geo. sum geo. engl. rus.*

In conditions of isochronal annealing, changes in the dynamic shear modulus and internal friction in the temperature range of 20-500°C of the initial and gamma- irradiated monocrystalline SiGe alloys have been studied. A slight linear increase in both physical characteristics is revealed in the non-irradiated samples, stipulated by annealing of unstable thermal defects. Irradiation by  $^{60}\text{Co}$  gamma-photons with  $5 \cdot 10^{16} \text{ cm}^{-2}$  fluences causes non-monotonous changes of shear modulus and internal friction. It is supposed, that revealing of the extremal physical-mechanical characteristics at critical temperatures are due to configuration and concentration changes in the radiation defects structure.

*Ill. 2, bibl. 6.*

### ВЛИЯНИЕ ИЗОХРОННЫХ ОТЖИГОВ НА НЕУПРУГИЕ СВОЙСТВА СПЛАВОВ n-SIGE *И. Курашвили, Т. Кимеридзе, Г. Чубинидзе, Д. Мхеидзе, М. Кадария, Т. Мелашивили, Н. Гоголашвили, Г. Дарсавелидзе. "Энергия". №2(98). 2021. Тбилиси. с.48-52 . груз. реф. груз. англ.рус.*

Изучены изменения динамического модуля сдвига и внутреннего трения исходных и облученных гамма-фотонами монокристаллических сплавов n-SiGe в процессе изохронного отжига в области температур 20-500°C.

В необлученных образцах обнаружено незначительное линейное возрастание указанных физических характеристик, обусловленное отжигом нестабильных дефектов. Облучение  $^{60}\text{Co}$  гамма фотонами вызывает немонотонное изменение модуля сдвига и внутреннего трения в процессе изохронного отжига. Предполагается, что появление экстремумов физико-механических характеристик при критических температурах обусловлено конфигурационными и концентрационными изменениями в структуре радиационных дефектов.

*Илл. 2, лит. 6 назв.*

# რადიალურ-საჭედი მანქანების ანალიზი და ახალი კონსტრუქციის შემუშავება

## დოქტორანტი ალექსანდრე შერმაზანაშვილი

საქართველოს ტექნიკური უნივერსიტეტი

ანოტაცია. შესრულებულია რადიალურ-საჭედი მანქანების ანალიზი და შემოთავაზებულია აირ-ჰიდრავლიკური საჭედი მანქანის ახალი კონსტრუქცია. მანქანა შეიცავს მუშა ცილინდრებს, რომლებიც რადიალურაა განლაგებული ნამზადის ღერძის მიმართ და ზედა ნაწილით ხისტადაა შეერთებული რგოლური ფორმის მაღალი წევების ასრის რესივერთან.

მანქანის დადგებითი ეფექტი განპირობებულია იმით, რომ ნამზადზე ზემოქმედება ერთდროულად რამდენიმე მხრიდან ხდება, რაც ამცირებს ნამზადის განიგავეთში გამჭიმავი ძაბუბის წარმოშობის და ბზარების გაჩენის ალბათობას.

საკვანძო სიტყვები: რადიალურ-საჭედი, ჰაერ-ჰიდრავლური მანქანა, რესივერ, აკუმულატორი.

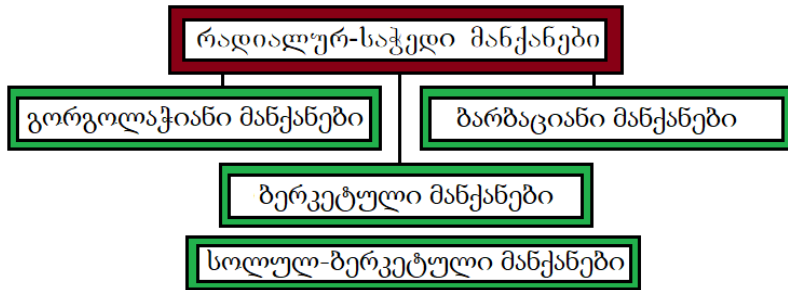
რადიალურ-საჭედ მანქანებზე ლითონების პლასტიკური ფორმირების პროცესები ფართოდ გამოიყენება მანქანათმშენებლობაში და მეტალურგიაში. რადიალური ჭედვა უზრუნველყოფს ლითონურ ნაკეთობათა მაღალ სიზუსტეს და ძვირადლირებული ლითონების ეკონომიას. რადიალური ჭედვა გამოიყენება მანქანათმშენებლობის ისეთ დარგებში, როგორიცაა ავტოტრაქტორთმშენებლობა, სანავთობე დანადგარების მშენებლობა და მრავალი სხვ. რადიალური ჭედვით ხდება რთული ფორმის ზომაგრძელი ღერძსიმეტრიული დეტალების დამუშავება. ასეთ დეტალებს მიეკუთვნება საფეხურებიანი ლილები და ღერძები, კონუსური და შლიცებიანი (ღარებიანი) დეტალები, ასევე ცეცხლსასროლი იარაღის ლილები [1-3].

რადიალურ-საჭედი მანქანები სამ ჯგუფად იყოფა: 1) გორგოლაჭიანი; 2) ბერძეტული და 3) ბარბაციანი.

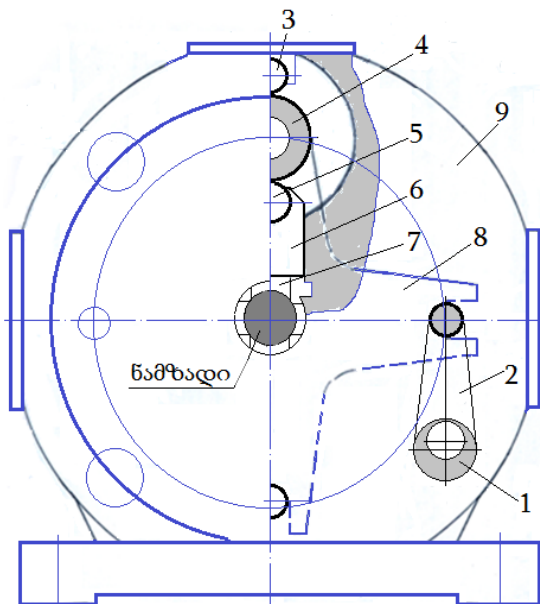
ნახ. 1-ზე მოცემულია რადიალურ-საჭედ მანქანების კლასიფიკაცია [4].

ქვემოთ მოცემულია ამ მანქანების კინემატიკური სქემების განხილვა, აღნიშნულია მათი დადებითი მხარეები და გამოვლენილია ნაკლოვანებები.

გორგოლაჭიანი რადიალურ-საჭედი მანქანები კონსტრუქციის მიხედვით როტაციულ-საჭედი მანქანების მსგავსია [5]. გორგოლაჭიანი მანქანის კონსტრუქციის სქემა მოცემულია ნახ. 2-ზე.



ნახ. 1. რადიალურ-საჭედ მანქანების კლასიფიკაცია



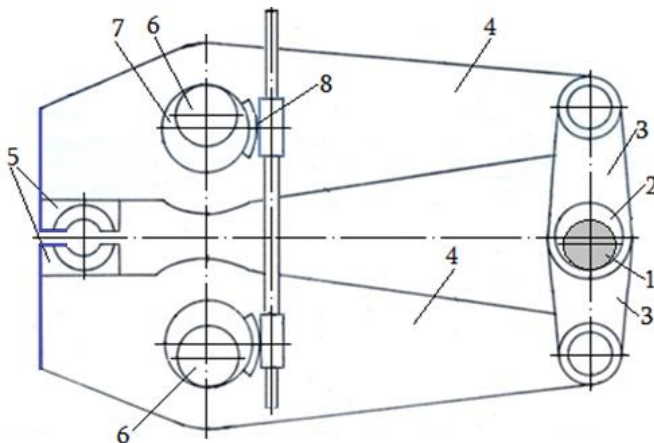
ნახ. 2. გორგოლაჭიანი რადიალურ-საჭედი მანქანის სქემა

მანქანის დეტალები და კვანძები მოთავსებულია კორპუსში 9. მისი ასამოქმედებელი მექანიზმი წარმოადგენს გორგოლაჭებიან ჯვარედინას 8. ჯვარედინას გორგოლაჭები 4 კონტაქტშია საყრდენ გორგოლაჭებთან 3. ჯვარედინა ბარბაცით 2 დაკავშირებულია ექსცენტრულ ლილვთან 1.

მანქანის მუშაობის პრინციპი ასეთია. ჯვარედინა რხევით მოძრაობაში მოდის ექსცენტრული ლილვის 1 და ბარბაცას 2 საშუალებით. ჯვარედინას რხევის დროს გორგოლაჭები 4 ახდენს საყრდენი 3 და ცოციას გორგოლაჭების 5 განსოლვას, რაც გადაადგილებს ცოციას 6 მანქანის ცენტრისკენ, რის გამო ხდება ნამზადის მოჭიმვა საცემელებით 7.

გორგოლაჭიანი რადიალურ-საჭედი მანქანა ძირითადად განკუთვნილია ნაკეთობების შიგა ზედაპირის პროფილირებისათვის. ამ მანქანის ძირითადი ნაკლია ის, რომ მისი დეტალები ხშირად გამოდის მწყობრიდან დიდი დინამიკური დატვირთვების და დარტყმების გამო. გორგოლაჭიან მანქანებს ახასიათებს მაღალი სმაურიანობა.

ბერკეტული მანქანის სქემა მოცემულია მე-3 ნახ-ზე. ბერკეტულ მანქანებში საცემელებს მოძრაობა გადაეცემა ბერკეტებით. ბერკეტები კინემატიკურ კავშირშია ექსცენტრულ ლილვთან. ლილვზე 1 დამაგრებულია ექსცენტრიკები 2, რომლებითანაც დაკავშირებულია ბარბაცები 3. ბარბაცები სახსრულადაა შეერთებული ბერკეტებთან 4, რომელზეც დამაგრებულია საცემელები 5. ბერკეტები 4 დაყენებულია ღერძებზე 6. საცემელების სვლის რეგულირება ხდება ექსცენტრული მილისების 7 და ჭიახრახნული მექანიზმის 8 მეშვეობით.



ნახ. 3. ბერკეტული მანქანის სქემა

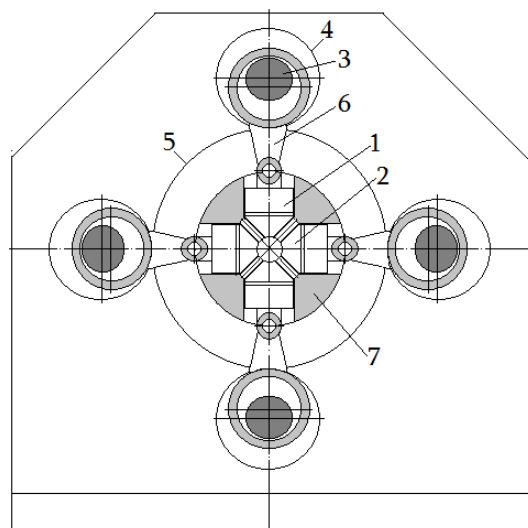
მანქანის მუშაობის პრინციპი ასეთია: ლილვზე 1 დამაგრებულ ექსცენტრი-ძებს 2 მოძრაობაში მოჰყავთ ბარბაცები 3. ბარბაცები გადასცემს რხევით მოძრაობას ბერკეტებს 4, რომელზეც დამაგრებული საცემელები 5 განახორცილებს დარტყმებს ნამზადზე. ზემოთ აღწერილი სქემა უზრუნველყოფს მანქანის მაღალ სამუშაოობას და სარემონტოდ ვარგისიანობას.

რადიალურ-საჭედ მანქანებიდან ყველაზე ზუსტი ბარბაციანი მანქანები [6]. ბარბაციანი მანქანები არიან პორიზონტალური და ვერტიკალური. მოჭიმვის ძალა ერთ საცემელზე პორიზონტალურ მანქანებში 500 ტ-ს აღწევს, ხოლო ვერტიკალურ მანქანებში კი - 250 ტ-ს.

ამ მანქანებს აქვს რამდენიმე (უმეტეს შემთხვევაში - ოთხი) სამჭედლო მექანიზმი, რომლებიც განლაგებულია რადიალურად მანქანის ღერძის მიმართ.

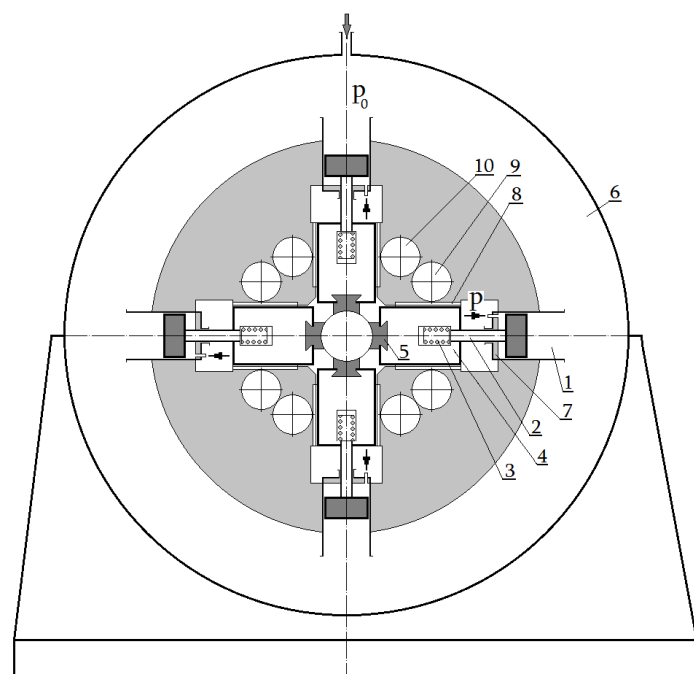
ნახ. 4-ზე წარმოდგენილ მანქანას აქვს ცოციები 1 საცემელებით 2 (მანქანას აქვს ოთხი ცოცია საცემელებით). ცოციები 1 მოძრაობაში მოღის მრუდმსარა ბარბაცა მექანიზმებით, რომელთა მრუდმსარები 3 დამაგრებულია კბილანებზე 4, რომლებიც მოღებაშია ცენტრალურ კბილანასთან 5. მრუდმსარები 3 ბარბაცების 6 მეშვეობით შეერთებულია საცემელებიან ცოციებთან 1. ცოციები 1 მოთავსებულია კორპუსის 7 კილოებში. დამუშავების პროცესში ნამზადი განიცდის ძალოვან ზემოქმედებას ოთხივე მხრიდან რადიალური მიმართულებით.

ამჟამად, სამჭედლო-საშტამპავ წარმოებაში ფართოდ გამოიყენება აირ-ჰიდროგლიკური საჭედი უროები [7]. ამ დანადგარების უარყოფითი მხარე მდგომარეობს იმაში, რომ ნამზადი ჭედვის პროცესში ვერტიკალური მიმართულებით განიცდის ცალმხვრივ ძალურ ზემოქმედებას. ამიტომ აქ ძალის მიმართულებით მოქმედებს მკუმშავი ძაბვები, ხოლო პორიზონტალური მიმართულებით კი - გამჭიმავი ძაბვები, რაც არის ლითონში მრავალრიცხოვანი ბზარების წარმოშობის და, შესაბამისად, უხარისხო პროდუქციის მიზეზი.



ნახ. 4. ბარბაციანი მანქანა

ჩვენ მიერ შემუშავებულია აირ-ჰიდროგლიკური საჭედი მანქანა (ნახ. 5).



ნახ. 5. აირ-ჰიდროგლიკური საჭედი მანქანის სქემა

ამ მანქანაში ცილინდრები განლაგებულია წრეზე რადიალურად. ამასთან, პაერის რგოლური რესივერი საერთოა ყველა მუშა ცილინდრისათვის [8].

მანქანა შეიცავს მუშა ცილინდრებს 1, რომელთა დგუშების ჭოკები 2 ამორტიზატორების 3 საშუალებით შეერთებულია დარტყმით მასებთან 4, რომლებზეც დამაგრებულია საცემელები 5. ყოველივე მუშა ცილინდრი 1 ზედა ნაწილით ხისტადაა შეერთებული რგოლური ფორმის მაღალი წნევის აირის რესივერთან 6, რომელიც ამავე დროს ფაქტობრივად წარმოადგენს მანქანის კორპუსს. მუშა ცილინდრების 1 ქვედა არე დახურულია სახურავებით 7 და მიღაპის მეშვეობით უერთდება მაღალი წნევის ჰიდრავლიკურ სისტემას. დარტყმითი მასების 4 გეერდებზე მიმაგრებულია კბილა ლარტყები 8, რომლებიც მოდებაშია მასინქრონიზებელ კბილანებთან 9 და 10. კბილანები 9 და 10 მოთავსებულია მანქანის კორპუსის ცილინდრულ გამონაჩარხებში.

მანქანის მუშაობის პრინციპი მდგომარეობს შემდეგში. ჰიდრავლიკური სისტემიდან მაღალი წნევის ( $p$ , ატმ) სითხე მიეწოდება მუშა ცილინდრების 1 ქვედა არეში, რის შედეგად ცილინდრების დგუშები გადალახავენ რესივერში 6 მაღალი წნევის ( $p_0$ , ატმ) ქვეშ მყოფ აირის წინააღმდეგობას და რადიალურად გადაადგილებენ დარტყმით მასებს 4 საცემელებთან 5 ერთად მანქანის პერიფერიისაკენ. ამ ქმედებით მანქანა მოდის მზადყოფნაში. შაცემელებს შორის უბანში ნამზადის მიწოდებისთანავე მუშა ცილინდრების 1 ქვედა არე მკვეთრად გაითოშება მაღალი წნევის სისტემიდან და შეუერთდება გადასაშვებ რეზერვუარს, რის გამო აქ წნევა მკვეთრად ეცემა და რესივერის 6 ზედა არეში მყოფი მაღალი წნევის აირის ზემოქმედებით ცილინდრების 1 დგუშები დარტყმითი მასებთან 4 და საცემელებთან 5 ერთად სწრაფად გაქანდება პერიფერიიდან მანქანის ცენტრისაკენ და აწარმოებენ დარტყმას ნამზადზე, რითაც სრულდება ლითონის დეფორმაცია.

დარტყმითი მასების 4 გეერდებზე მიმაგრებული კბილა ლარტყები 8, მასინქრონიზებელ კბილანებთან 9 და 10 ერთად, უზრუნველყოფენ დარტყმითი მასების შეტანხმებულ მოძრაობას, რაც აუცილებელია იმისათვის, რომ საცემელებმა ერთდროულად შესარულონ დარტყმითი ზემოქმედება ნამზადზე.

დეფორმაციის მუშაობის ციკლის დამთავრებისთანავე მუშა ცილინდრების ქვედა არეები კვლავ უერთება მაღალი წნევის ჰიდრავლიკური სისტემას და მანქანა მოდის მზადყოფნაში დეფორმაციის შემდეგი ციკლის შესასრულებლად.

წარმოდგენილი მანქანის დადებითი ეფექტი განპირობებულია იმით, რომ აქ შესაძლებელია დაერტყმითი ძალით ნამზადზე ზემოქმედება ერთდროულად რამდენიმე მხრიდან, რის გამო ნამზადის განივევეთში იქმნება ყოველმხვრივი კუმშვის დაძაბულ-დეფორმირებული მდგომარეობა. ეს კი მკვეთრად ამცირებს ნამზადის განივევეთში გამჭიმავი ძაბვების წარმოშობის და ბზარების გაჩენის ალბათობას, ე.ი. ხარისხიანი პროდუქციის გამოშვების შესაძლებლობა იზრდება.

## ლ 0 ტ ე რ ა ტ უ რ ა

1. Радюченко Ю.С. Ротационное обжатие. М.:Машиностроение. 1972.
2. Радюченко Ю.С. Ротационная ковка - обработка деталей на ротационно и радиально-обжимных машинах. М.:Машгиз. 1962.
3. Любвин В.И. Обработка деталей ротационным обжатием. М.: Машгиз. 1959.
4. Тюрин В.А., В.А.Лазоркин В.А., Поступов И.А., Флаховский Х.П. Ковка на радиально-обжимных машинах. М.:Машиностроение. 1990.
5. Савинов Е.А..Технологические и конструктивные особенности радиально-обжимных (ковочных) машин и перспективы их развития.КШП, №10,1981. С.61-64.
6. მებონია ს., ნატრიაშვილი თ., მიქაუტაძე გ., დემეტრაძე დ. რადიალურ-საჭედი მანქანების კონსტრუქციები და მათი გამოყენების სფერო. მეცნიერება და ტექნოლოგიები. № 4-6. 2011.
7. Кузнеично-штамповочное оборудование/Под ред А.Н.Банкетова и Е.Н.Ланского. М.:Машиностроение. 1982.
8. მებონია ს., ნატრიაშვილი თ., შერმაზანაშვილი ა. აირ-ჰიდრავლიკური საჭედი მანქანა. პატენტი №7153. გ.ბ. №10. 2020.

**ANALYSIS OF RADIAL FORGING MACHINES AND DEVELOPMENT OF A NEW DESIGN.**  
*A. Shermazanashvili. "Energy". №2(98). 2021. Tbilisi. p.53-58. geo. sum geo. engl. rus.*

In article analyzes the radial forging machines and suggests a new design of the gas-hydraulic steering forging machine. The machine contains working cylinders located radial relative to the axis of the work piece and connected by the upper part to an annular receiver of high-pressure gases.

The positive effect of the machine is due to the fact that the impact on the work piece simultaneously from several sides is carried out, which reduces the tensile stresses in the section of the work piece and reduces the likelihood of cracks.

*Ill. 5, lit. 8.*

### **АНАЛИЗ РАДИАЛЬНО-КОВОЧНЫХ МАШИН И РАЗРАБОТКА НОВОЙ КОНСТРУКЦИИ.**

*A. Шермазанашвили. "Энергия". №2(98). 2021. Тбилиси. с.53-58. груз. реф. груз. англ. рус.*

Анализируются радиально-ковочные машины и предлагается новая конструкция газогидравлической ковочной машины. Машина содержит рабочие цилиндры, расположенные радиально относительно оси заготовки и соединенные верхней частью с кольцеобразным ресивером газов высокого давления.

Положительный эффект машины обусловлен тем, что воздействие на заготовку осуществляется одновременно с нескольких сторон, что снижает растягивающие напряжения в сечении заготовки и вероятность возникновения трещин.

*Илл. 5, лит. 8 назв.*

# გადამცემი სისტემის ოპერატორის მიერ დასარჩევლებელი სიმძლავრის ღირებულება

დოკტორანტი გიორგი ხორბალაძე

საქართველოს ტექნიკური უნივერსიტეტი

ანოტაცია. საბალანსო ბაზრის დანერგვის შემდეგ ვხვდებით *FCR*, *aFRR*, *mFRR* პროდუქტებს. სტატია გამოიყენება გსო-ს მიერ დასარეზერვებელი სიმძლავრის საშუალო შეწონილი ფასის განსაზღვრისთვის წლის ჭრილში, პორტუგალიის დღით ადრე ბაზრისა და საბალანსო სიმძლავრის წლიური შეწონილი ფასების ურთიერთმიმართების გათვალისწინებით.

საკვანძო სიტყვები: საბალანსო ბაზარი, სიმძლავრე, სადისპეტჩერო, სსეუბალანსობა, ენერგეტიკული სისტემის მართვა, რეზერვები.

საბალანსო ბაზარზე ვხვდებით *FCR*, *aFRR*, *mFRR* პროდუქტებს. მათი მოცულობები წლის ჭრილში გამოიყურება შემდეგნაირად: *FCR* სიმძლავრის აღება = + 50 მგგტ; *FCR* სიმძლავრის მოხსნა = -50 მგგტ; *aFRR* სიმძლავრის აღება = + 60 მგგტ; *aFRR* სიმძლავრის სიმძლავრის მოხსნა = -60 მგგტ; *mFRR* სიმძლავრის აღება = + 250 მგგტ; *mFRR* სიმძლავრის სიმძლავრის მოხსნა = -200 მგგტ.

*FCR*-ის დარეზერვებული სიმძლავრის მოცულობა ევროპული სტანდარტების შესაბამისად განისაზღვრება ყველაზე მძლავრი მინაერთის დაკარგვის შესაბამისად. საქართველოს შემთხვევაში აღნიშნული მიღგომა ვერ მოქმედებს. თუ გსო*FCR*-თვის დაარეზერვებს ენგურის გენერაცორის 250 მგგტ სიღიდის ტოლი სიმძლავრეს ან მუდმივი დენის ჩანართის ერთი პოლის ტოლი 350 მგგტ სიმძლავრის ტოლ რეზერვს, მას მაინც ვერ გამოიყენებს, რადგან საქართველოს სისტემა პატარაა და ავარიულ სიტუაციაში (ავტონომიური რეჟიმის შემთხვევაში) თუ გამოირთვება 250 მგგტ სიღიდის გენერაცია, სხვა სადგურებზე არსებული რეზერვი მაინც ვერ ასწრებს ამოქმედებას თავისი ინერციულობიდან გამოდინარე და საჭირო ხდება სიხშირის ავტომატური განტვირთვის ავტომატიკის გამოყენება, რომელიც, თავის მხრივ, ახორციელებს მომხმარებლების გამორთვას. საქართველოს სისტემაში 50 მგგტ-ზე მეტი სიღიდის *FCR*-ის დარეზერვებას აზრი არ აქვს. ეს სიღიდე იარსებებს მანამ, სანამ იქნება ავტონომიურ რეჟიმში გამოყოფის/ დარჩენის საშიშროება.

*aFRR*-ის დარეზერვებული სიმძლავრის მოცულობის სიღიდე დამოკიდებულია როგორც ქვეყნის მოხმარების სიღიდეზე, ასევე განახლებადების მოცულობაზე.

საქართველოს შემთხვევაში განახლებადების საერთო მოცულობა ძალიან მცირეა (20 მგვტ-ქარი). ამ პროდუქტის მოცულობის ზრდას უნდა ველოდოთ განახლებადი ენერგიის მოცულობების ზრდასთან ერთად.

მFRR-ის დარეზერვებული სიმძლავრის მოცულობის სიდიდე გამოითვლება სისტემაში მიერთებული ყველაზე მძლავრი გენერატორის და მომხმარებლის სიდიდის შესაბამისად. ამ რეზერვის მოცულობის შემცირება შესაძლებელია შემდეგ შემთხვევებში, კერძოდ:

1) თუ გენერაციის ობიექტი იძლევა საშუალებას, მაგალითად ენგურჰესი უზრუნველყოფს ისეთ რეჟიმში მუშაობას, რომ ერთ გენერატორზე 250 მგვტ-ის ნაცვლად ეკავოს არაუმტებეს 200 მგვტ-სა, ან უფრო მცირე სიმძლავრე, თუ ამის საშუალება გააჩნია. აღნიშნულის მიღწევა შესაძლებელია მხოლოდ იმ შემთხვევაში, როდესაც არ მუშაობს მე-9 ენერგობლოკი.

2) მოხმარების შემთხვევაში, მაგალითად ზამთრის პერიოდში, აფხაზეთის დატვირთვა 220კვ ეგხ "ქოლხიდა" 3-ზე შეადგენს 240 მგვტ-ს, ხოლო ზაფხულში იგი მცირდება 160 მგვტ-ის ფარგლებში.

საერთო ჯამში წლის ჭრილში დარეზერვებული მოცულობა გამოიყურება შემდეგნაირად:( $50+50+60+60+250+200)*8760=5\ 869\ 200$  მგვტ.სთ.

თუ გამოვიყვლევთ პორტუგალიის ბაზარს, დავადგენთ, რომ 2018 წლის საშუალო დღით ადრე ბაზრის ფასია - 57,5 ევრო/მგვტ.სთ. ამის შემდეგ უნდა ავიდოთ 2018 წლის რეზერვის სიმძლავრის შეწონილი ფასი - 12 ევრო/მგვტ. აქედან გამომდინარე, რეზერვის სიმძლავრის შეწონილი ფასი არის 21% საშუალო წლიური დღით ადრე ბაზრის ფასისა.

იმ შემთხვევაში, თუ საქართველოს დღით ადრე ბაზრის ფასი შეადგენს საშუალოდ 155 ლარს/მგვტ.სთ-ზე წლის ჭრილში და თუ გავითვალისწინებთ პორტუგალიის მაგალითის პროცენტულ ურთიერთმიმართებას, მაშინ საქართველოს საბალანსო სიმძლავრის შეწონილი წლიური ღირებულება გამოვა 33 ლარი/მგვტ. სწორედ ამ ფასით არის დადგენილი დარეზერვებული სიმძლავრის ღირებულება, რომელიც შეადგენს  $5\ 869\ 200 *33 = 193\ 683\ 600$  ლარს.

პორტუგალიაში 2019 წლის ელექტროენერგიის მოხმარების 51% დაიფარა განახლებადი ენერგიის წყაროების მიერ გამომუშავებული ელექტროენერგიით. თუ გავითვალისწინებთ, საქართველოს ელექტროენერგეტიკული სისტემის პიდროვესურ-

სებით სიმდიდრეს და მათი სიმძლავრის შენახვის ღირებულების ნაკლებობას სხვა წყაროებთან (თბო, ატომური) მიმართებაში, შეგვიძლია დავასკვნათ, რომ ამ კვლევაში მიღებული შედეგები საქართველოს ელექტროენერგეტიკული სისტემისთვის მნიშვნელოვნად შემცირდება.

**VALUE OF CAPACITY RESERVED BY THE TRANSMISSION SYSTEM OPERATOR.**  
*G.Khorbaladze. "Energy". №2(98). 2021. Tbilisi. p. 59-61. geo. sum geo. engl. rus.*

After the introduction of the balancing market there is FCR, aFRR, mFRR products. The article is used to determine the weighted average price of reserve by transmission system operator for the year, taking into account the correlation between the annual day ahead and balancing capacity price in the Portugal.

**СТОИМОСТЬ МОЩНОСТИ, КОТОРУЮ ДОЛЖЕН ПОДДЕРЖАТЬ ОПЕРАТОР СИСТЕМЫ ПЕРЕДАЧИ.**

*Г.Хорбалаадзе. "Энергия". №2(98). 2021. Тбилиси. с. 59-61. груз. реф. груз. англ. рус.*

После введения балансирующего рынка есть продукты FCR, aFRR, mFRR.

Определяется средневзвешенная цена резерва по оператору передающей системы за год с учетом корреляции между годовыми днями вперед и балансирующей ценой мощности в Португалии.

## ენერგოეფექტური ღონისძიებები ელექტრულ ტრანსპორტზე

დოქტორანტი გიორგი ხუცილავა  
ტექ. მეცნ. დოქტორი, პროფ. რმარ კილურაძე

### საქართველოს ტექნიკური უნივერსიტეტი

ანოტაცია. ელექტროენერგიის ეკონომიას დიდი მნიშვნელობა ენიჭება ელექტრულ ტრანსპორტზე, რადგანაც ტრანსპორტი აღჭურვილია დიდი სიმძლავრის ელექტრომძრავებით. ასევე უნდა აღინიშნოს, რომ ადრეულ წლებში ელექტრომძრავი შემადგენლობა (ემშ) ძირითადად დაკომპლექტებული იყო მუდმივი დენის ელექტროამძრავიებით და ამ მიზნით გამოყენებოდა მიმდევრობით აგზებიანი მუდმივი დენის ძრავები. მათი ასეთი ფართო გამოყენება აიხსნება იმით, რომ ადგილად მიიღება წევის ამძრავისათვის საჭირო მახასიათებლები, ვიდრე იმ შემთხვევებში, როდესაც წევის ძრავების ნაცვლად გამოყენებოდა სხვა ტიპის ძრავები, მაგალითად, მოკლედ შერთული როტორიანი ან ფაზუროტორიანი ასინქრონული ძრავები. სიხშირული გარდამქმნელების განვითარებამ (ე.წ. გექტორინგერტორები) თანამედროვე ეტაპზე საშუალებას იძლევა ემშ-ს მართვისათვის წევის ძრავებად მოკლედ შერთული როტორიანი ასინქრონული ძრავების გამოყენება, რამაც განაპირობა წევაზე დახარჯული ელექტროენერგიის მნიშვნელოვანი ეკონომია.

განხილულია ემშ-ს მართვის ტრადიციული მეთოდები და დასაბუთებულია, რომ გარდამავალ პერიოდში მიზანშეწონილია განხორციელდეს წევის ამძრავის მოდერნიზება და წევაზე დახარჯული ელექტროენერგიის ეკონომიის მიზნით თანამედროვე ძალოვანი ელექტრონიკის მიღწევების გამოყენება.

საკვანძო სიტყვები: ელექტრული ტრანსპორტი, ენერგოეფექტურობა, ასინქრონული ძრავა, გექტორინგერტორები, სიხშირული მართვა.

განვიხილოთ მოკლედ ემშ-ს მართვის მეთოდები და სქემის მოდერნიზების არსი. ნახ. 1-ზე ნაჩვენებია ელექტრომატარებლისა და ელმავლის მართვის სქემა, ელექტრომექანიკური კონტაქტორლერის და გამშვები რეზისტორების გამოყენებით (რეზისტატულ-კონტაქტორული მართვა). ასეთი მეთოდით მართვისას ე.წ. გამშვები რეზისტორები ჩართულია წევის ძრავების მიმდევრობით. გარდა ამისა, მიმდევრობით არის ჩართული ორივე ურიკის წევის ძრავები. ადნიშნული რეჟიმების უზრუნველყოფა შესაძლებელია C1, C2 და C3 ჩამრთველების მეშვეობით, მათი მართვა კი ხდება მემანქანის პულტიდან.

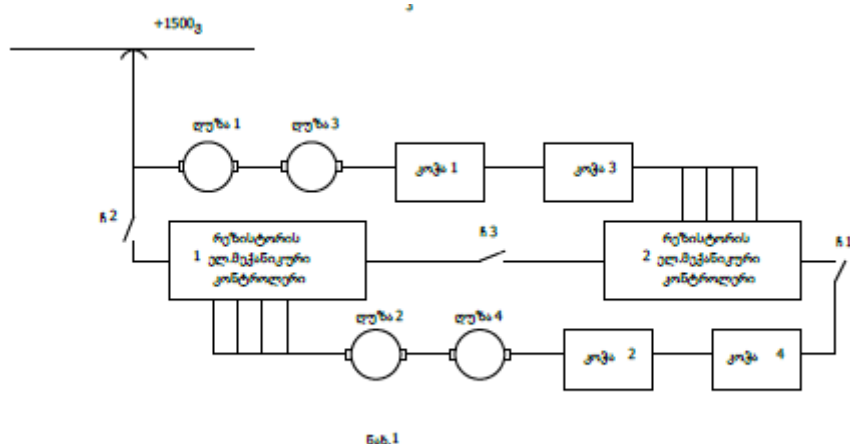
გამშვები რეზისტორების დახმარებით ხდება წევის ძრავების დენის შეზღუდვა გარეგნულ დონეზე

$$J_{\text{ძრ}} = (U - E)/(R) \quad (1)$$

სადაც U - ქსელის ძაბვა; E - მიმდევრობით შეერთებული ძრავების მიერ გამომუშავებული ელექტრომამოძრავებელი ძალა (ემშ), რომლის სიდიდეც, თავის მხრივ, დამოკიდებულია ძრავების ბრუნვის სიჩქარეზე (ელექტრომძრავი შემადგენლობის მოძრაობის სიჩქარეზე). საწყის მომენტში ემშ-ის სიჩქარე 0-ის ტოლია, ამიტომ E=0 და (1) იდებ სახეს:

$$J\theta\Theta = U/(R), \quad (2)$$

სადაც ( $R$  წარმოადგენს მიმდევორბით ჩართული რეზისტორების ჯამურ წინააღმდეგობას, ცხადია, ძრავების ღუზის გრაგნილების და აგზნების კოჭების ჯამური წინააღმდეგობების ჩათვლით. სწორედ ამ მეთოდით და (2) ფორმულით შეირჩევა გამშვები რეზისტორის (გრ) სიდიდე.



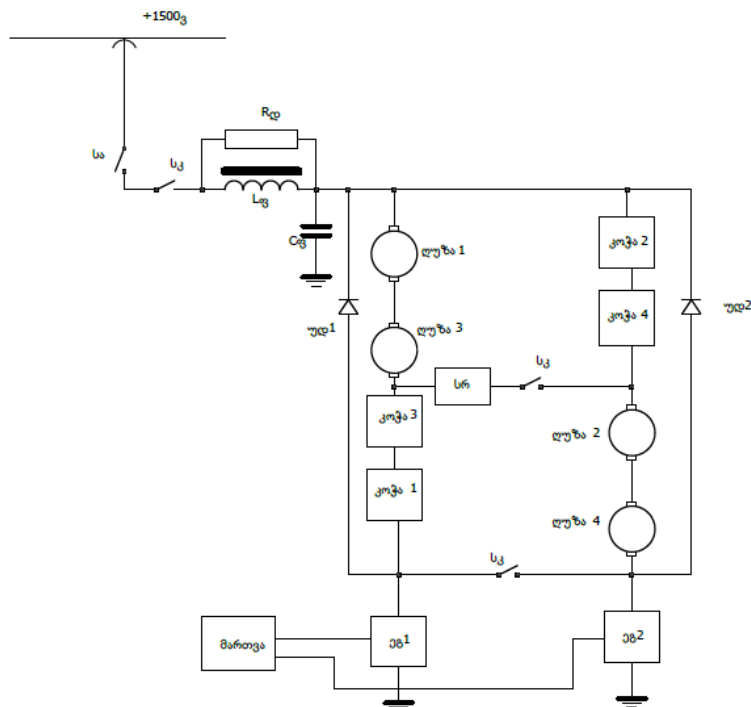
ემშ-ში ძირითადად გამოყენებული იყო მიმდევორბით აგზნებიანი მუდმივი დენის ძრავები, რომელიც დღეისათვის იცვლება ცვლადი დენის ძრავებით, რომელთა მართვაც ხდება ელექტრონული გექტორ-ინვერტორების გამოყენებით (სისტემების დანერგვა იწვევს ემშ-ის ძირულ ცვლილებებს როგორც მექანიკურ, ისე ელექტრულ ნაწილში).

ზოგიერთ შემთხვევებში ეფექტურია მექანიკური ნაწილის (ურიკები, რედუქტორები, წევის ძრავები) უცვლელად დატოვება და ელექტრომექანიკური კონტროლერის ჩანაცვლება ელექტრონული რეგულატორით. ცხადია, ემშ-ს გაშვება და სიჩქარის რეგულირება დამოკიდებულია ზემოთ აღნიშნული გამშვები რეზისტორის სიდიდეზე, რომლის ცვლილებითაც იცვლება მდძ-ზე (მუდმივი დენის ძრავი) მოსული ძაბვის მნიშვნელობა, ერთდროულად წარმოებს ძრავების დენის კონტროლი (მისი სიდიდე არ უნდა გამოვიდეს დასაშვები საზღვრებიდან). საბოლოოდ, მდძ მიუერთდება უშუალოდ ქსელს ( $R_{გამ}=0$ ). ამ რეჟიმში გვაქვს ორი ჩართვის სქემა: 1) ყველა მდძ ჩართულია მიმდევორბით და მომქედებს ქსელის ძაბვა  $U_{ქ}(ერთ ძრავზე მოდებული ძაბვა 0.25 \text{ U}_ქ)$  და 2) პარალელური ჩართვა, როდესაც ორი ძრავია მიმდევორბით ჩართული და ასეთი ორი შტო პარალელურად, ამ რეჟიმში, როდესაც  $R_{გამ}=0$ , თითოეულ მდძ-ზე მოდებული ძაბვა  $0.5 \text{ U}_ქ$ -ის ტოლია, ე.ი. იზრდება  $2$ -ჯერ. სიმძლავრე კი ერთიდაიგივე წევის დენის დროს იზრდება  $2$ -ჯერ. განხილულ რეჟიმებს ნახ. 1-ზე მოცემულ სქემაში უზრუნველყოფს ელ.მექანიკური კონტროლერი, C1, C2 და C3 ჩამრთველები და გამშვები რეზისტორები.

უნდა აღინიშნოს, რომ რეზისტორების სიდიდის ცვლილება ხდება ნახტომისებურად (საფეხუროვანი მართვა), რადგანაც რეზისტორების სიდიდის ცვლილება ობიექტური მიზეზების გამო ვერ ხერხდება მდორედ. განხილულ რეზისტორების სისტემას გააჩნია რიგი ნაკლოვანებები:

- რეზისტორების სიდიდის საფეხუროვანი ცვლილება იწვევს მდპ-ის დენის ნახტომისებურ ცვლილებებს. ასეთნაირად იცვლება წევის ძრავების მაბრუნებელი მომენტიც და, მაშასადამე, წევის ძალაც (მაბრუნებელი მომენტი დენის კვადრატის პროპორციულია). დენის და წევის ძალის ნახტომისებური ცხლილებები თავის მხრივ იწვევს ბიძგებს და გარკვეულ დისკომფორტს მოძრაობისას.
- რეზისტორულ-კონტაქტორული მართვის სისტემა ხასიათდება დაბალი საიმედოობით, რადგანაც ელექტრომექანიკური სისტემა (კონტროლერი) ხშირად გამოდის მწყობრიდან კონტაქტების და რელეების არსებობის გამო.
- წევის ძრავები არ არის დაცული ქსელში მიმდინარე ანომალური რეჟიმებისგან-შესაძლებელია მოხდეს მდპ-ების დაზიანება გადაძაბვების გამო.
- დიდია ელექტროენერგიის დანაკარგები, განსაკუთრებით ემშ-ის გაშვების და დაბალი სიჩქარეებით მოძრაობისას.
- დაბალია თვით ავტომატური მართვის სისტემის სწრაფმოქმედება.

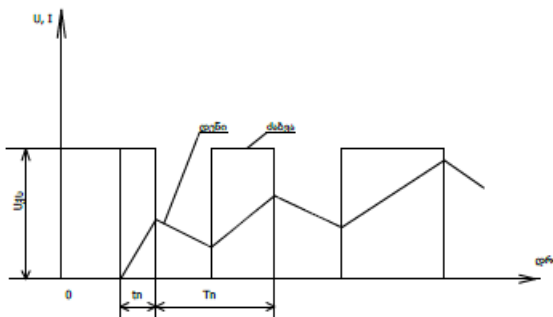
წევის ელექტროამძრავის მართვის ელექტრონული სისტემა, თანამედროვე ახალი ტექნოლოგიების გამოყენებით, ზემოთ აღნიშნული ყველა ნაკლოვანებისგან თავისუფალია (ნახ.2).



ნახ. 2.

ჩეხური წარმოების ელექტრონული სქემა შეიცავს შემდეგ ელემენტებს: „სა“ - სწრაფმოქმედი ავტომატი, რომელიც კვებას აწოდებს ელექტროამძრავის წრედებს; „სკ“ - საზოვანი კონტაქტორი, რომელიც ჩაირთვება წევის რეჟიმის დაწყებისას; L<sub>ფ</sub>, C<sub>ფ</sub> - ფილტრის ინდუქციურობა და ტევადობა შესაბმისად; R<sub>დ</sub> - დემფერის რეზისტორი; უდ1 და უდ2 - უკუდიოდები წევის ძრავების პირველი და მეორე შტოებისთვის შესაბამისად; ეგ1 და ეგ2 - ელექტრონული გასაღები (წრედის ჩამოთველ-ამომრთველი) წევის ძრავების I და II შტოებისთვის; სკ-სამუხრუჭე კონტაქტორი; სრ - სამუხრუჭე რეზისტორი.

აღნიშნულ სქემაში წევის ძრავების წრედში ელექტროენერგიის მიწოდება ხდება იმპულსურად. ამასთან იმპულსების სანგრძლივობა ისეა შერჩეული, რომ ძრავის დენი ვერ ასწრებს გაზრდას ნომინალურ სიდიდემდე, რადგანაც წევის წრედში ჩართულია ინდუქციურობა (ძრავის დუზის და აგზნების კოჭის გრაფიკები), რომელიც არ აძლევს საშუალებას დენს სწრაფი ცვლილებისთვის. ზოგიერთი ტიპის მდპ-ებისთვის საჭიროა მიმღევრობით, ინდუქციურობის კოჭის დამატებაც. ელექტრონული გასაღების გამორთვის შემთხვევაში ინდუქციურობაში დაგროვილი ენერგია უკუდიოდების დახმარებით მიეწოდება ფილტრის კონდენსატორს.



ნახ3

ნახ. 3-ზე ნაჩვენები დიაგრამიდან ჩანს, რომ ძრავზე მოდებული ძაბვის საშუალო მნიშვნელობა:

$$U_d = \frac{t_o}{T_o} * U_{ქს}. \quad (3)$$

სადაც  $t_o$  არის იმპულსის მოქმედების სანგრძლივობა, ხოლო  $T_o$  - იმპულსების პერიოდი.

კონკრეტულ შემთხვევაში პერიოდი  $\frac{1}{400} * 1000 = 2.5$  მლ.წმ; იმპულსის სანგრძლივობა კი იყცლება ( $0 \div 2.5$ ) მლ.წმ-ის ფარგლებში ავტომატური სისტემის დახმარებით. ამის გამო მდპ-ებზე მიწოდებული ძაბვის ცვლილება შესაძლებელია  $0 \div 5$  ქარგლებში.

აღსანიშნავია, რომ ძაბვის ასეთი ცვლილება პრაქტიკულად იწვევს უმნიშვნელო დანაკარგებს ეგ1 და ეგ2 გასაღებების მართვის და ძალოვან წრედებში. შედეგად უკუნალი "ენერგია" №2(98), 2021

ვღებულობთ, რომ ელექტროენერგიის დანაკარგები პრაქტიკულად ნულის ტოლია ელექტროენერგია მთლიანად იხარჯება სასარგებლო მუშაობის შესრულებაზე.

ადსანიშნავია ის ფაქტიც, რომ სიჩქარის რეგულირების პორცესში განხორციელებულია ძრავის დენის სტაბილიზება, რაც იმას ნიშნავს, რომ მიუხედავად ქსელის ძაბვის სიდიდისა, მოძრაობის ტრაექტორიისა და წინააღმდეგობის ძალის სიდიდისა, ძრავის დენი მუდმივია და დამოკიდებულია მემანქანის მიერ დენის სიდიდის შეკვეთაზე, რაც, თავის მხრივ, რეალიზდება ჯოისტიკის (მანიპულატორის) სახლურის გადახრის კუთხის მიხედვით. მემანქანეს შეუძლია დენი ცვალოს (0-100) ფარგლებში მოძრაობის მოთხოვნების შესაბამისად. ამ რეჟიმებში დენი გამოითვლება ფორმულით:

$$J\theta = (Ud - E)/R , \quad (4)$$

სადაც  $Ud$  ძრავზე მიწოდებული საშუალო ძაბვის მნიშვნელობა;  $E$  - ემპ-ის მნიშვნელობა.

დენის სტაბილიზების რეჟიმში  $Ud$  და  $E$  იცვლება ისე, რომ სხვაობა ( $Ud - E$ ) მუდმივია, რაც იმას ნიშნავს, რომ იმპულსების სიგანის ზრდასთან ერთად, იზრდება ემპ ისე, რომ  $(Ud - E) = \left( \frac{to}{To} * \frac{Ujv}{Jv} \right) - KV \quad (4)$  მუდმივია, სადაც  $K$  - პროპორციულობის კოეფიციენტი;  $V$  - სიჩქარე.

ემშ-ის სიჩქარე დამოკიდებულია წევის ძრავების მიერ შექმნილ წევის ძალაზე ( $F_{წევ}$ ). ამ ძალის გარდა, მოქმედებს ე.წ. წინააღმდეგობის ძალაც  $F_{წინ}$ , რომელიც წარმოიშობა მრავალი ძალის ჯამური მოქმედებით (საკისრებში ხახუნის ძალა, ჰაერის წინააღმდეგობის ძალა, სავალ რელსსა და ბორბლებს შორის ხახუნის ძალა, აღმართზე მოძრაობისას ჩამომსრიალებელი ძალა და სხვ.). ემშ-ის თანაბარი მოძრაობისას:

$$F_{წევ} = F_{წინ} , \quad (5)$$

ხოლო დინამიკაში ემშ-ს მოძრაობა აღიწერება გამარტივებული ფორმულით:

$$F_{წევ} - F_{წინ} = KJ \frac{dV}{dt} , \quad (6)$$

სადაც  $K$  - კოეფიციენტი;  $J$  - ინერციის მომენტი;  $V$  - სიჩქარე.

როგორ ჩანს, ძალოვანი ელექტრონიკის გამოყენებით ემშ-ის მართვის შესაძლებლობები ფართოვდება და, რაც მთავარია, მდგ-ების მართვის პროცესში პრაქტიკულად არ არის ელექტროენერგიის დანაკარგები.

უნდა აღინიშნოს ისიც, რომ ელექტრონული გასაღების როლში ადრინდელ სისტემებში გამოიყინებოდა ძალოვანი ტირისტორები და მათზე აგებულ სქემები, რომელთა ძირითადი ნაკლოვანებანია:

- გადართვის დაბალი სისწრაფე;
- მათი მთლიანად მართვა შეუძლებელია;
- ეგ-ის წრედის ჩაკეტვისათვის სპეციალური სქემის დამუშავებაა საჭირო.

თანამედროვე ეტაპზე ძალოვანი ელექტრონიკის განვითარების შედგად, შეიქმნა JGBT ტიპის ტრანზისტორები, რომლებსაც აღნიშნული ნაკლოვანებანი არ გააჩნია და შესაძლებელია მათი გამოყენება ემშ-ის მართვის სქემებში.

ბორჯომი-ბაკურიანის ვიწროლიანდაგიან რკინიგზას 1966 წლიდან ემსახურება ჩეხეთი წარმოების მატარებელი ჩს-11 ტიპის ელმავლით (ფოტო).



მართვისა და ელექტრომომარაგების მოძველებული სისტემა შეიცვალა თანამედროვე მოდერნიზებული სისტემით, რომელიც მოიცავს შემდეგ ენერგო-ეფექტურ და მოძრაობის უსაფრთხოების ღონისძიებებს:

- ძირეულად შეცვლილია წევის ამძრავის მართვის მეთოდი და ნაცვლად რეოსტატულ-გონტაქტორული მეთოდით მართვისა, გამოყენებულია მართვის თანამედროვე იმპულსური მეთოდი JGBT ტიპის ტრანზისტორების გამოყენებით;

- დამუშავებულია და დანერგილია წევის ძრავების სიჩქარის რეგულირების და დენის სტაბილიზაციის სქემები;

- გამოყენებულია პროცესორული მართვა და დანერგილია ვიდეო-თვალთვალის სისტემები;

- დამონტაჟებულია ელექტრონული დაცვის

სისტემები, რომლებიც იცავს წევისა და დამხმარე ძრავებს ანომალური რეჟიმების წარმოშობისას;

- დამონტაჟებულია ახალი მართვის პულტი, რომელიც უზრუნველყოფს ჭველა პროცესებისა და მოწყობილობების მართვას;

- შემუშავებულია და დანერგილია ახალი ტიპის ელექტრონული ანალიზატორი, ელმავლის დენის, ძაბვის და სიჩქარის კონტროლის და სათანადო ჩანაწერებისა და გრაფიკების მიღებისათვის;

- ელექტრონული ანალიზატორით განისაზღვრება მოძრაობის მახასიათებლები და ენერგოეფექტურობა.

სტატისტიკური მონაცემების მიხედვით ძველი მოხმარება (დღეში 2 რეისი) შეადგენდა 550000 კვტ. სთ/წ, ხოლო ახალი მოხმარება კი - 279310 კვტ. სთ (დღეში 2 რეისი). შესაბამისად ელექტროენერგიის წლიურმა დანაზოგმა შეადგინა 270690 კვტ. სთ/წ, ანუ 49,2%.

## ლ 0 ტ ე რ ა ტ ვ რ ა

1. Розенфельд В.Е. и др. Теория электрической тяги. М.:Транспорт. 1983.
2. Кереселидзе А.Е. и др. Электронные промышленные устройства. Тбилиси: Ганатлеба. 1990.
3. Семенов Б.Ю. Силовая электроника. Солон-Р. М. 2001.

### ENERGY EFFICIENT ACTIVITIES ON ELECTRIC TRANSPORT

*G. Khurtsilava, O. Kighuradze. "Energy". №2(98). 2021. Tbilisi. p. 62-68. geo. sum geo. engl. rus.*

Energy efficiency on the electric transport is very important as the transport is equipped with powerful electric motors. It should also be noted, that in early years electromotive composition (EC) was mainly equipped with DC electric drives and sequential excitation DC motors were used for this purpose. Such a wide use is explained by the fact that it is easier to get characteristics required for the traction drive than it is in the cases when other motors, for example, such as short-circuit rotor or phase rotor asynchronous motors, are used instead of the traction motors. The development of the frequency converter (the so-called vector-invertors), at current stage, allows to use short-circuit rotor asynchronous motors as the traction motors for EC management which has provided significant economy of electricity consumed on the traction.

Traditional EC management methods are reviewed and it is justified that at transitional stage it is reasonable to upgrade the traction drive and use modern power electronics' achievements for saving electric power consumed for the traction.

*Ill. 3, foto 1, bibl. 3.*

### МЕРЫ ПО ЭНЕРГОЭФФЕКТИВНОСТИ ЭЛЕКТРОТРАНСПОРТА

*Г.Хурцілава, О.Кигурадзе. "Енергія". №2(98). 2021. Тбілісі. с.62-68. груз. реф. груз. англ. рус.*

Экономия электроэнергии имеет большое значение для электротранспорта, поскольку транспорт оснащен электродвигателями большой мощности. Следует также отметить, что в первые годы электросоставы в основном состояли из двигателей постоянного тока, и для этой цели использовались двигатели постоянного тока с последовательным возбуждением. Их широкое использование объясняется тем, что характеристики, необходимые для тяговых двигателей, получить легче, чем в тех случаях, когда вместо тяговых двигателей использовались другие типы двигателей, такие, как роторные асинхронные двигатели с коротким замыканием или фазовые роторные асинхронные двигатели. Разработка преобразователей частоты (так называемых векторных преобразователей) на современном этапе позволяет использовать роторные асинхронные двигатели с коротким замыканием в качестве тяговых двигателей для управления ЭМС, что обусловило значительную экономию электричества.

Рассматриваются традиционные методы управления ЭМС и аргументируется, что в переходный период целесообразно модернизировать тяговый двигатель и использовать достижения современной силовой электроники для экономии электричества.

*Илл. 3, фото 1, лит. 3.*

# АНАЛИЗ РАБОТЫ РАЗЛИЧНЫХ СХЕМ ГЕНЕРАТОРОВ РЕЛАКСАЦИОННЫХ ЭЛЕКТРИЧЕСКИХ КОЛЕБАНИЙ

*Ассистент- профессор, доктор техн. наук ЗУРАБ МЧЕДЛИШВИЛИ  
Старший преподаватель, доктор техн. наук ИВАН ДЖИХВАДЗЕ*

Грузинский технический университет

**Аннотация.** В электронных устройствах релаксационные колебания возникают в тех случаях, когда имеются условия для периодических скоплений и последующего рассасывания зарядов, причем скорость одного из таких процессов существенно выше скорости другого. В работе рассматриваются примеры релаксационных колебаний в электронных устройствах и дано математическое описание одного из таких колебаний.

**Ключевые слова:** частота, форма, колебание, генератор, неоновая лампа.

## *Введение*

Релаксационными являются колебания, которые резко отличаются по форме от гармонических. Они возникают в нелинейных механических и электрических системах, в которых существенную роль играют диссипативные силы: в частности, для электрических систем таковой является активное сопротивление.

В электрических приборах часто применяются устройства, генерирующие переменные токи различных форм и частот. В большинстве случаев генерированные токи являются синусоидальными. Генераторы синусоидальных токов являются автоколебательными системами, содержащими колебательные контуры с двумя реактивными элементами - индуктивностью и емкостью; энергия в контуре периодически запасается то в магнитном поле индуктивности, то в электрическом поле емкости; частота автоколебаний определяется параметрами колебательного контура.

На практике применяются также генераторы релаксационных колебаний: форма таких автоколебаний резко отличается от синусоидальной, причем в состав генератора входит только один накопитель энергии (обычно емкость). В релаксационном генераторе энергия периодически запасается реактивным элементом и затем расходуется в сопротивлении.

## *Основная часть*

Схема простейшего генератора релаксационных колебаний с ионным диодом (неоновая лампа) изображена на рис. 1. Он представляет собой двухполюсник [1-5].

В большинстве случаев характеристики возбуждающих двухполюсников несимметричны, вследствие чего обе полуволны релаксационного колебания имеют различный вид. Емкость заряжается через большое сопротивление  $R$  от источника постоянной э.д. с.  $E$  при некотором напряжении на емкости  $U_1$  в ионном диоде, параллельно соединенном с емкостью, возникает тлеющий разряд, и емкость начинает быстро разряжаться через малое внутреннее сопротивление диода. Когда напряжение

на емкости снижается до некоторого значения  $U_2$ , при котором ионизация внутри диода прекращается, сопротивление диода резко возрастает, и конденсатор начинает снова заряжаться через сопротивление.

Неоновая лампа с характеристикой „типа вольтовой дуги” может возбудить лишь последовательный колебательный контур. Возникновение релаксационных колебаний возможно лишь в том случае, когда  $L = 0$ . Величины зарядного и разрядного токов различны на несколько порядков. Длительность процесса разряда исчезающе мала по сравнению с длительностью периода, в то время как заряд через сопротивление проходит относительно медленно по закону

$$U = -(U_0 - U_\Gamma) \exp\left(-\frac{t}{RC}\right) + U_0. \quad (1)$$

Если пренебречь временем разряда, то для определения длительности периода колебаний получим

$$\tau = RC \cdot \ln \frac{U_0 - U_\Gamma}{U_0 - U_3}. \quad (2)$$

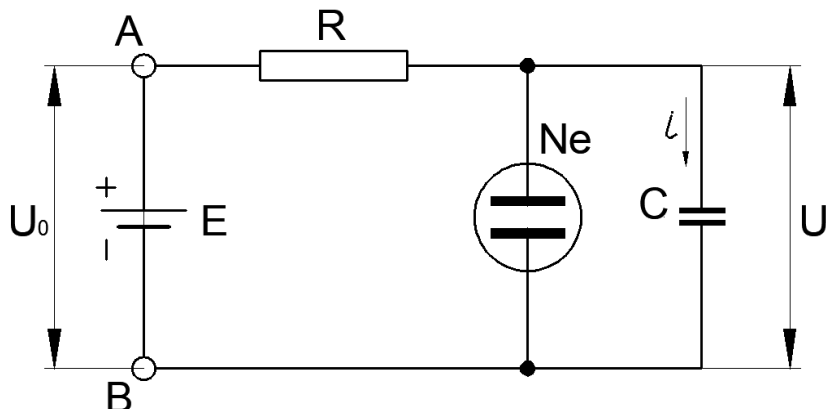


Рис. 1.

Вместо неоновой лампы для возбуждения напряжения пилообразной формы может быть применен тиатрон (рис. 2), который в некоторых отношениях более удобен. Тиатрон представляет собой газонаполненную лампу, напряжение зажигания которой может регулироваться изменением напряжения на сетке [1-5].

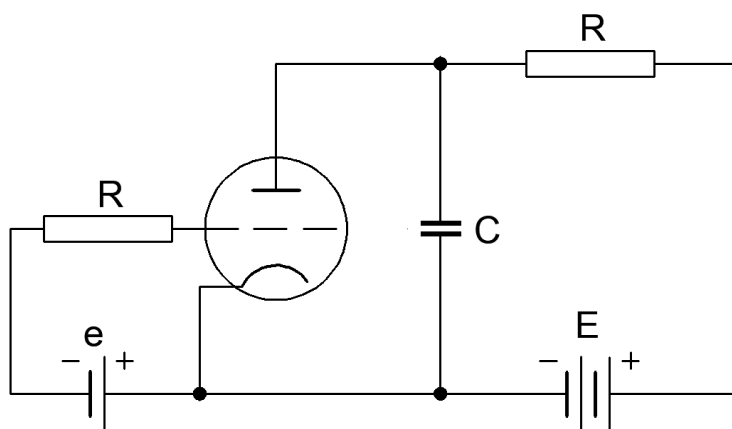


Рис. 2.

Напряжение гашения составляет лишь 20-40 В. С некоторыми тиатронами удается получить релаксационные колебания на частотах приблизительно до 40 кГц.

На рис. 3 приведены соответствующие кривые напряжения и тока. Напряжения такой формы называют пилообразным или линейно возрастающим. Оно применяется для временных разверток в электронно-лучевых трубках, так как для получения на экране неискаженной картины исследуемой кривой напряжения, обратный ход луча должен быть по возможности быстрым, а прямой ход - линейным. Линейный рост напряжения получается в том случае, когда напряжение питания  $U_0$  велико по сравнению с напряжениями зажигания и гашения. Еще более точно можно поддерживать необходимое при этом постоянство зарядного тока, если вместо сопротивления  $R$  использовать лампу с экранирующей сеткой, анодный ток которой при постоянных напряжениях на сетке мало зависит от анодного напряжения. Постоянство анодного тока еще улучшается при введении сопротивления в цепь катода, что создает отрицательную обратную связь по постоянному току.

Вследствие того, что разрядный ток переносится ионами, генераторы с неоновыми лампами значительно более инерционны, чем, например, динатронные генераторы (1-5). Это препятствует получению релаксационных колебаний, частота которых превосходит 10 кГц. Релаксационные колебания при этом все более и более приближаются к колебаниям синусоидальной формы. Колебания же существенно более высоких частот вообще не возбуждаются.

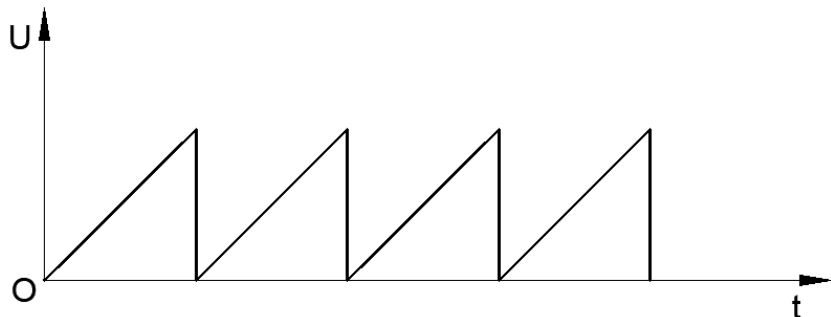


Рис. 3.

Полученный график релаксационных колебаний может быть разложен в ряд на составляющие гармоники по методу Фурье с помощью формулы:

$$f(t) = \frac{a_0}{2} + \sum_{n=1}^{\infty} a_n \cos nt + b_n \sin nt \quad (3)$$

Если колебательная функция задана в виде:

$$\begin{aligned} f(t) &= \frac{U_0}{2} + f_1(t); \\ f_1(t) &= U_0 \left( \frac{t}{T_0} - \frac{1}{2} \right). \end{aligned} \quad (4)$$

Так как данная функция нечетна, то свободный член и первый коэффициент в формуле (4) равны нулю:

$$a_0 = a_n = 0.$$

Исходя из этого, находим только второй свободный член  $b_n$ :

$$\begin{aligned} b_n &= \frac{4U_0}{T_0} \int_0^{\frac{T_0}{2}} \left( \frac{t}{T_0} - \frac{1}{2} \right) \sin n\omega t dt = \\ &= \frac{4U_0}{T_0} \left\{ \frac{1}{T_0} \int_0^{\frac{T_0}{2}} t \sin n\omega t dt - \frac{1}{2} \int_0^{\frac{T_0}{2}} \sin n\omega t dt \right\} = \\ &= \frac{4U_0}{T_0} \left\{ \frac{1}{T_0} \left[ -\frac{T_0}{2n\omega} \cos \frac{n\omega T_0}{2} + \frac{1}{n^2 \omega^2} \sin \frac{n\omega T_0}{2} \right] + \right. \\ &\quad \left. + \frac{1}{2} \left[ \frac{1}{n\omega} \cos \frac{n\omega T_0}{2} - \frac{1}{n\omega} \right] \right\} = -\frac{2U_0}{n\omega T_0} = -\frac{U_0}{n\pi}. \end{aligned}$$

Отсюда пилообразная кривая зависимости напряжения от времени (рис. 3) может быть представлена в виде ряда:

$$f(t) = \frac{U_0}{2} + f_1(t) = \frac{U_0}{2} + \frac{U_0}{\pi} \left[ \sin \omega t + \frac{1}{2} \sin 2\omega t + \frac{1}{3} \sin 3\omega t + \dots \right]. \quad (5)$$

### Заключение

Описаны конструктивные схемы и принципы работы генераторов релаксационных колебаний разных типов; рассмотрены электромагнитные процессы, происходящие в основных элементах, в частности в триодных и неоновых лампах, в конденсаторах и резисторах генераторов.

Полученные с помощью релаксационного генератора пилообразные колебания описаны математическим методом разложений в тригонометрические ряды Фурье.

### ЛИТЕРАТУРА

1. Нейман Л. Р., Демирчян К. С. Теоретические основы электротехники. Т 1., Т.2. М: Энергоиздат. 1981.
2. Айзинов М. М. Радиотехнические цепи и сигналы. М: Транспорт. 1966.
3. Зернов Н.В., Карпов В.Г. Теория радиотехнических цепей. М: Госэнергоиздат. 1965.
4. Пирс Д. Электроны, волны, сообщения. М: Физматгиз. 1961.
5. Хайкин С.Э. Электромагнитные колебания и волны. М: Энергия. 1964.

## **ANALYSIS OF OPERATION OF VARIOUS CIRCUITS OF RELAXATION ELECTRIC OSCILLATIONS GENERATORS**

**Z.Mchedlishvili, Iv. Jikhvadze. "Energy". №2(98). 2021. Tbilisi. p. 69-73. geo. sum geo. engl. rus.**

In electronic devices, relaxation oscillations occur when there are conditions for periodic accumulation and subsequent resorption of charges, the speed of one of such processes being significantly higher than the speed of the other. In the present work, mechanisms for generating noise and noise characteristics of specific electronic devices are comprehensively considered from a single position, examples of relaxation oscillations in nonlinear electric circuits are considered and a mathematical description of one of such oscillations is given.

*Ill. 3, bibl. 5.*

**რელაქსაციური ელექტრული რხევების განვითარობის სხვადასხვა სქემების მუშაობის ანალიზი.**

**ზ. მჭედლიშვილი, ივ. ჯიხვაძე. "ენერგია". №2(98). 2021. თბილისი. გვ. 69-73. რუს. ანოგ. ქართ. ინგლ. რუს.**

ელექტრონულ მოწყობილობებში რელაქსაციური რხევები წარმოიშვება იმ შემთხვევებში, როდესაც არსებობს მუხტების პერიოდული შეგროვების და შემდგომი გაწოვების პირობები. ამასთან ერთად, ასეთი ერთ-ერთი პროცესის სიჩქარე გაცილებით მაღალია, ვიდრე მეორესი.

ნაშრომში ყოველმხრივ ერთიანი პოზიციით განხილულია რხევების გენერირების მექანიზმები და კონკრეტული ელექტრონული მოწყობილობების რხევითი მახასიათებლები, განიხილება რელაქსაციული რხევების მაგალითები არაწრფივ ელექტრულ კონტურებში და მოცემულია ერთ-ერთი ასეთი რხევის მათემატიკური აღწერა.

*ილ. 3, ლიტ. 5.*

# РАСЧЕТЫ ЭЛЕКТРИЧЕСКИХ ЦЕПЕЙ С ИНДУКТИВНОЙ СВЯЗЬЮ МЕТОДОМ ЭКВИВАЛЕНТНЫХ КОНТУРОВ

Ассистент- профессор, доктор техн. наук ЗУРАБ МЧЕДЛИШВИЛИ  
Старший преподаватель, доктор техн. наук ИВАН ДЖИХВАДЗЕ

**Аннотация.** Рассматриваются основные определения, расчетные соотношения и эквивалентные схемы, необходимые для более детального изучения индуктивно связанных цепей с воздушным сердечником, используемые в различных электрических приборах, электрических машинах и радиотехнических устройствах. Предложены методы замены контуров, входящих в индуктивно связанные цепи эквивалентными заменяющими контурами необходимые для различных расчетов этих цепей.

**Ключевые слова:** частота, форма, колебание, контур, обмотка, электрический ток, напряжение.

## Введение

Свойство магнитно-связанных контуров используется в трансформаторах применяемых в различных электронных и радиотехнических устройствах для возможности преобразования значения токов и напряжений. В простейшем случае трансформатор состоит из двух электрически не соединенных и неподвижных относительно друг друга катушек, называемых обмотками трансформатора, связанных между собой потоком взаимной индукции. Если обмотки трансформатора намотаны на ферромагнитный сердечник, свойства такого трансформатора будут нелинейными. Здесь будем предполагать, что ферромагнитные сердечники отсутствуют, и трансформатор будем считать линейным.

Переменный ток, проходя через первичную или вторичную обмотку индуктивно связанной цепи, создает магнитный поток. В зависимости от ориентации обеих обмоток определенная часть полного магнитного потока будет эти обмотки связывать. Безразмерная величина  $k$ , равная отношению потока, охватывающего обе обмотки, к полному потоку, называется коэффициентом связи [1-5].

## Основная часть

Чтобы проанализировать индуктивно связанные цепи, вторичная цепь должна быть пересчитана к первичной. В результате получается эквивалентная схема первичной цепи с учетом вторичной, что позволяет определить первичный ток. Вторичная цепь также может быть исследована с помощью эквивалентной схемы. Анализ эквивалентной схемы вторичной цепи зависит от решения, полученного для эквивалентной схемы первичной цепи, так как наведенная во вторичной обмотке э. д. с. равна  $-j\omega Mi_1$ .

Когда имеются две катушки общим потоком, то между ними возникает взаимная индуктивность  $M$ , определяемая по формуле:

$$M = \frac{N_2 \Phi_{21} \cdot 10^{-8}}{I_1}, \quad (1)$$

где  $N_2$  – число витков вторичной катушки;  $\Phi_{21}$  – магнитный поток, создаваемый первичным током и охватывающий обе обмотки;  $I_1$  – ток в первичном контуре (1-5).

В нашем примере поставлена задача определения первичного тока и напряжения на зажимах 3 и 4 схемы, приведенной на рис. 1.

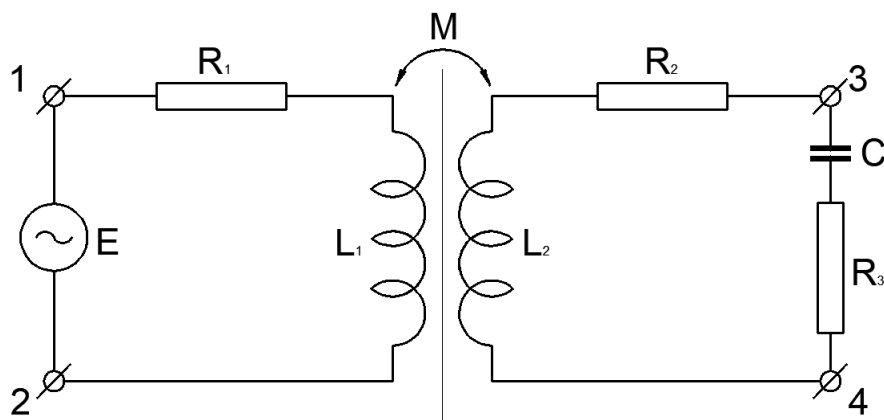


Рис. 1.

Для этого была составлена эквивалентная схема первичного контура, показанная на рис. 2.

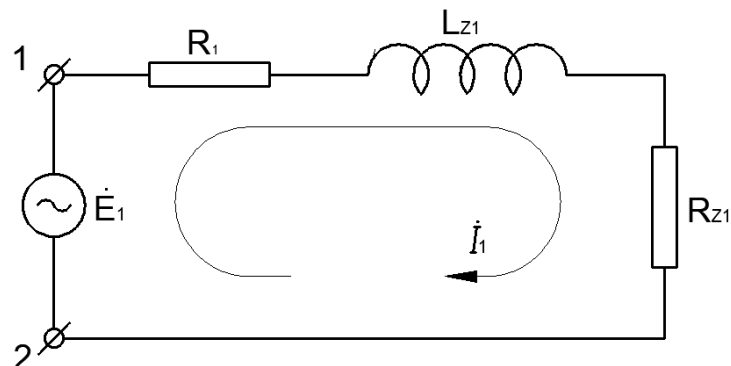


Рис. 2.

Для этой схемы эквивалентные элементы выражены зависимостями:

$L_{Z1} = j\omega L_1$  – эквивалентная индуктивность первичного контура;

$R_{Z1} = \frac{(\omega M)^2}{R_2 + j\omega L_2 + Z_H}$  – эквивалентное сопротивление первичного контура.

Первичный ток в нашем случае определяется из уравнения:

$$i_1 = \frac{U_1}{R_1 + j\omega L_1 + \frac{(\omega M)^2}{R_2 + j\omega L_2 + Z_H}}. \quad (2)$$

Составим теперь эквивалентную схему вторичной цепи, как показано на рис. 3.

Для этой схемы эквивалентные элементы выражаются зависимостями:

$L_{Z2} = j\omega L_2$  – эквивалентная индуктивность вторичного контура;

$R_{Z1} = R_3$  – эквивалентное сопротивление вторичного контура 4;

$C_{Z2} = \frac{-j}{\omega C}$  – эквивалентная емкость вторичного контура.

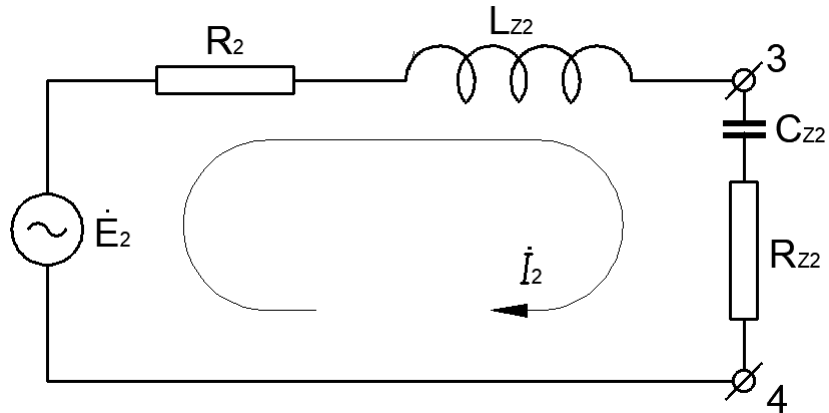


Рис. 3.

Формула для определения напряжения между зажимами 3 и 4 вторичной обмотки запишется в виде:

$$U_H = \frac{j\omega M i_1 Z_H}{R_2 + j\omega L_2 + Z_H}. \quad (3)$$

Ток в контуре эквивалентной схемы вторичной цепи будет:

$$i_2 = \frac{U_2}{Z_2}, \quad (4)$$

где  $i_2$  – вторичный ток;  $U_2$  – э. д. с., наведенная во вторичной цепи;  $Z_2$  – полное сопротивление вторичной цепи;  $Z_H$  – полное сопротивление между зажимами 3 и 4;  $U_H$  – напряжение между зажимами 3 и 4.

### Заключение

Описаны конструктивные схемы и принципы работы контуров с индуктивной связью [1-5]. Даны основные определения, расчетные схемы для решения задачи конкретной двухконтурной индуктивно связанной цепи; рассмотрены эквивалентные схемы первичной и вторичной цепей. Для этих схем подобраны соответствующие элементы и написаны определяющие соотношения, а на их основе выведены расчетные формулы токов и напряжений в данной электрической системе.

### ЛИТЕРАТУРА

1. Нейман Л.Р., Демирчян К.С. Теоретические основы электротехники. Т. 1, 2  
М: Энергоиздат. 1981.
2. Айзинов М.М. Радиотехнические цепи и сигналы. М: Транспорт. 1966.
3. Зернов Н.В., Карпов В.Г. Теория радиотехнических цепей. М: Госэнергоиздат. 1965.
4. Пирс Д. Электроны, волны, сообщения М: Физматгиз. 1961.
5. Хайкин С.Э. Электромагнитные колебания и волны. М: Энергия. 1964.

## CALCULATIONS OF ELECTRICAL CIRCUITS WITH INDUCTIVE COUPLING BY EQUIVALENT CIRCUITS.

Z.Mchedlishvili, Iv.Jikhvadze. "Energy". №2(98). 2021. Tbilisi. p. 74-77 geo. sum geo. engl. rus.

This article discusses the basic definitions, calculated ratios, and equivalent circuits required for more detailed consideration of inductively coupled air core circuits, which are used in various electrical samples, electrical machines and radio devices. Methods of replacing circuits included in inductively connected circuits with equivalent replacement circuits, which are necessary for different calculations of these circuits, are given.

*Ill. 3, bibl. 3.*

ინდუქტიური პავმილის მემო ელექტრული ჭრადების ანგარიში ექვივალენტური კონტურების მეთოდის გამოყენებით.

ზ. მჭედლიშვილი, ივ. ჯიხვაძე. ენერგია". №2(98). 2021. თბილისი. გვ. 74-77. რუს. ანოტ. ქართ. ინგლ. რუს.

განხილულია ძირითადი ცნებები, საანგარიშო დამოკიდებულებები და ექვივალენტური სქემები, რომლებიც აუცილებელია პავრის გულარას მქონე ინდუქციურად დაკავშირებული წრედების უფრო დეტალურად განსახილველად, რომლებიც გამოიყენებიან სხვადასხვა ელექტრულ სელსაწყოებში, ელექტრულ მანქანებში და რადიოტექნიკურ მოწყობილობებში. მოცემულია ინდუქციურად დაკავშირებულ წრედებში შემავალი კონტურების, ექვივალენტური კონტურებით შეცვლის მეთოდები, რომლებიც აუცილებელია ასეთი წრედების სხვადასხვა ანგარიშისათვის.

*იღ. 3, ლიტ. 3.*

# **ИНФОРМАЦИОННЫЕ ТЕХНОЛОГИИ КАК ФАКТОР ТРАНСФОРМАЦИИ ДИСТАНЦИОННОГО ОБУЧЕНИЯ И ИЗМЕНЕНИЯ СТРАТЕГИЙ ОБРАЗОВАТЕЛЬНОЙ СРЕДЫ**

**Профессор ДЖЕМАЛ НИКУРАДЗЕ**

**Профессор ВАХТАНГ КВИНТРАДЗЕ**

**Профессор ВАХТАНГ МЕЛАДЗЕ**

**Ассоциированный профессор МАЙЯ ЖГЕНТИ**

**Грузинский технический университет**

**Аннотация.** Открытия М. Планка в начале XX века и создание квантовой теории явились доминирующим фактором изменения прежней физической картины мира, впоследствии обобщенаучных представлений и мировидения в целом. Становление и бурное развитие дистанционной формы обучения как образовательной среды нового столетия свидетельствуют о качественных изменениях как методик и навыков поиска информации, так и дидактических приемов ее изложения в процессе преподавания. В системе дистанционного образования социокультурные изменения, вызванные ростом информационных технологий особенно заметны. Вызовы новых принципов и методов образовательной стратегии требуют быстрого и своевременного ответа. Все вышеизложенное не только свидетельствует об изменениях в социокультурном мире информационного общества, но и актуализирует проблемы взаимосвязи синергетического подхода и идей постмодернизма к анализу как объективной реальности, так и виртуальной, изменении содержания и функции философских категорий в новой мировоззренческой парадигме.

**Ключевые слова:** парадигма, синергетика, виртуальность, постмодернизм.

## **Введение**

Изменение мировоззренческой парадигмы в условиях информационного общества сопровождается трансформацией как общей картины мира, в основе которой лежат как достижения фундаментального естествознания, так и качественное преобразование пространства культуры, роли и места человека в реальности. Становление и бурное развитие дистанционной формы обучения как образовательной среды нового столетия свидетельствуют о качественных изменениях как методик и навыков поиска информации, так и дидактических приемов ее изложения в процессе преподавания. Изменяется не только мир, его восприятие человеком, но и способы получения образовательных услуг студенческой аудиторией, что обуславливает и изменение требований к методическим приемам и навыкам преподавателя.

В системе дистанционного образования социокультурные изменения, вызванные ростом информационных технологий, особенно заметны. Вызовы же новых принципов и методов образовательных стратегий требуют быстрого и своевременного ответа. Анализ познавательной ситуации демонстрирует изменение

установок и ценностей познающего субъекта- общедоступность информации, ее визуальный характер часто приводят к ее некритическому усвоению, приоритету «правополушарного» мышления. Превращение информационных потоков в «экранный тип» культуры, наличие альтернативных, а зачастую - и неадекватных электронных источников приводят к взаимопересечению точек зрения и подходов, в силу чего студент как субъект образовательной деятельности не всегда способен выяснить и установить истинность полученных «псевдознаний». Становится очевидной необходимость изменения роли и инструментария преподавателя в познавательной ситуации в дистанционной среде обучения.

### ***Основная часть***

Открытия М. Планка в начале XX века и создание квантовой теории явились доминирующим фактором изменения физической картины мира, впоследствии общенациональных представлений и мировидения в целом. Реалии современного естествознания свидетельствуют о развертывании аналогичных процессов в научной картине мира и о происходящей смене мировоззренческой парадигмы, отражающей динамику социокультурных изменений в условиях технической цивилизации.

Под воздействием информационных технологий и телекоммуникаций изменяется пространство культуры, ускоряется ритм жизни, трансформируется социальное и индивидуальное бытие, культура техногенной цивилизации приобретает новые черты, формируются новые каналы воздействия как на научное знание, так и на повседневную жизнь. Именно поэтому в исследовании социокультурных процессов все большую роль начинают играть принципы и параметры синергетики, с позиции которой культура предстает как сложная неравновесная открытая система, одним из факторов развития которой становятся процессы информатизации и медиатизации. Информационные технологии и коммуникационные стратегии становятся объектом изучения со стороны различных научных дисциплин, но их способность к манипулированию социумом и воздействие на характер культуры и деятельности требуют комплексного анализа, совместных усилий представителей гуманитарного и естественнонаучного знания.

Расширение пространственных границ информационного общества видоизменяет практически все сферы социокультурной жизни, массовое и индивидуальное сознание и как следствие - трансформирует содержание и дискурс философских категорий и концептов. В этой связи особый интерес как с праксиологической, так и с теоретической точек зрения, представляют проблемы

определения и изучения особенностей восприятия и использования таких философских категорий, как «пространство» и «время», «реальность» и ряд других.

В исследованиях проблем социальной философии одной из наиболее признанных точек зрения является выделение техногенной цивилизации как современного этапа общественного развития. В ее развитии решающую роль играют постоянный поиск и применение новых технологий, причем не только производственных технологий, обеспечивающих экономический рост, но и технологий социального управления и социальных коммуникаций. Информационное общество как современный этап развития техногенной цивилизации является предметом различного рода исследований-конкретно-социологических, социально-политических, экономических, технических, философских. При этом в процессе распространения и использования информации, в первую очередь с помощью электронных средств, кардинальным образом изменяются не только все сферы социальной жизнедеятельности, но и возникает ряд принципиально новых проблем. В решении и анализе этих проблем значимую методологическую роль играют принципы и патерны синергетики. Само информационное общество может быть проинтерпретировано как самоорганизующаяся неравновесная система, хаосогенный и спонтанный атракторы которой представлены в первую очередь креативными элементами как социокультурной реальности, так и в таком «человекоразмерном комплексе» (термин В. С. Степина), как виртуальная реальность [1].

Информационное пространство как новый вид реальности обладает не только открытостью, неустойчивостью, тенденцией к самосовершенствованию и развитию, самоорганизацией, но и органически включает в себя познающего субъекта в качестве подсистемы. Человек с присущими ему социальными ценностями, целями, мировоззренческими установками предстает не только как создатель и потребитель виртуальной среды, но и как имманентный элемент этой глобальной системы. Подобно тому, как анализ объективной реальности предполагает единство теоретического и эмпирического исследования, так и анализ виртуальной реальности требует не только использования инструментария постнеклассической науки, но и тщательного изучения двусторонней связи «человекоразмерных» систем, обратного воздействия компьютерной реальности на процессы социокультурной действительности и на внутренний духовный мир человека. Если традиционно философское знание предметом исследования избрало либо реальность объективную, либо реальность субъективную и процесс их взаимодействия, то сегодня предметом философского анализа становится «третий» вид реальности-

виртуальность [2]. Философия же находится в поиске методологии и мировоззренческого обоснования современных процессов единства трех видов реальности и находит решение во взаимодействии синергетики и постмодернизма. В условиях глобализации коммуникационные стратегии создают новые возможности для социального манипулирования, формирования предполагаемых реакций и состояний массового сознания. По сферам осуществления социальное манипулирование в информационном пространстве может осуществляться различными способами: в сфере поведения - через программы и стереотипы поступков, алгоритмы деятельности, преподносимые в качестве образцов для подражания, результатом чего выступают репродуктивные действия. При этом средства массовой информации сегодня называют не просто товары и услуги, конкретные продукты, а определенный образ жизни, стиль и манеру поведения, речевые обороты [3].

Сама «мировая паутина» представляет собой новый тип социокультурной среды, в которой формируется особый вид отношений, не ограниченный только утилитарным ее использованием в качестве источника информации, но и превращается в сферу социальной деятельности, в сферу «третьей» реальности, оказывающей обратное воздействие на пользователей, рождающей новые способы социального манипулирования и новую систему ценностей.Процессы трансформации виртуального пространства обусловливают необходимость его философского анализа, о чем свидетельствуют исследования «сетевой» этики, публикации по правовым проблемам интеллектуальной собственности, влияние и применение информационных технологий в образовании (развитие дистанционной формы обучения).

Формируются новые эстетические ценности как следствие появления «сетевых живых журналов», виртуальных галерей, on-line литературы, электронных видов искусства. Все это свидетельствует о преобразовании самой информационной сферы, изменениях качественного состояния виртуальной реальности и количественных параметрах ее развития [4].

Кроме того, распространение социальных сетей не только значительно расширяет круг общения и видоизменяет коммуникации, но и создает вовлеченность в чужие дела, рождает ложную ответственность как следствие сопричастности. В результате изменяется содержание такой философской категории, как «время», рождается новая темпоральность. Время спрессовалось и стало нелинейным. Ранее мир двигался в едином ритме. В традиционном обществе

время соответствовало ритмам природы. В новоевропейской культуре время соотносилось часами и разделением на «рабочее» и «свободное».

В виртуальной же реальности и в современной повседневной жизни формируется новое восприятие времени как дискретного и нелинейного. Время зависит от степени вовлеченности человека в тот или иной процесс, его можно делить, перераспределять и даже продавать.

Изменяется также и содержание философской категории «пространство». Если ранее в повседневной жизни пространство ассоциировалось с конкретным местом, то теперь деятельность людей перекочевывает в пространство потоков (финансовых, информационных), которые происходят в виртуальной реальности, на которые мы повлиять не можем (термин испанского социолога М. Кастельса) [4]. При этом увеличивается число «ошибок нарратива», так как логические, нарративные схемы из-за резкого увеличения неучтенных данных перестают работать. Любая модель содержит в себе только известные и прогнозируемые риски, «возможные неожиданности», «невозможные неожиданности» становятся ведущими факторами развития социума и культуры [5].

### **Заключение**

Все вышеизложенное свидетельствует не только об изменениях в социокультурном мире информационного общества, но и актуализирует проблемы взаимосвязи синергетического подхода и идей постмодернизма в анализе как реальности объективной, так и виртуальной, в изменении содержания и функции философских категорий в новой мировозренческой парадигме. При этом в исследовании этих процессов возрастает методологическая роль синергетического подхода, так как сегодня культура характеризуется как система хаосогенная, открытая, неравновесная с нелинейными законами. Поскольку трансформациям подвергаются и средства, и способы коммуникаций, то неизбежно изменяется и сам человек как активный участник процесса развития системы «человек-информация-виртуальная реальность-объективная реальность».

### **ЛИТЕРАТУРА**

1. Степин В. С. Философия и цивилизация/ Философы XX века. Минск. 2005.
2. Тоффлер Э. Метаморфозы власти. М. 2002.
3. Бауман З. Индивидуализированное общество. М. 2009.
4. Кастель М. Галактика ИНТЕРНЕТ. М. 2009.
5. Андерсон К. Длинный хвост. Новая модель ведения бизнеса. М. 2009.

## INFORMATION TECHNOLOGY AS A FACTOR IN THE TRANSFORMATION OF DISTANCE LEARNING AND CHANGES IN THE STRATEGIES OF THE EDUCATIONAL ENVIRONMENT.

Nikuradze J., Kvintradze V., Meladze V., Zhgenti M. "Energy". №2(98). 2021. Tbilisi. p. 78-83. geo. sum geo. engl. rus.

The discoveries of M. Planck at the beginning of the 20th century and the creation of quantum theory were the dominant factor in the change in the former physical picture of the world, later in general scientific ideas and the worldview in general. The formation and rapid development of distance learning as an educational environment of the new century testifies to qualitative changes in both the methods and skills of searching for information, and didactic methods of its presentation in the teaching process. In the system of distance education, the socio-cultural dimensions caused by the growth of information technologies are especially noticeable, the challenges of new principles and methods of educational strategies require a quick and timely response. All of the above, thus, testifies not only to changes in the socio-cultural world of the information society, but also actualizes the problems of interconnection of the synergistic approach and the ideas of postmodernism in the analysis of both objective and virtual reality, changes in content and function philosophical categories in a new worldview paradigm.

Bibl. 5.

ინფორმაციული ტექნოლოგიები, როგორც ღისტანციური სფავლების ტრანზორმაციის ფაქტორი და საბანანათლებლო გარემოს სტრატეგიის ცვლილებები.

ჯ. ნიკურაძე, გ. ავინტრაძე, გ. მელაძე, გ. ჯლენტი. "ენერგია". №2(98). 2021. თბილისი. გვ. 78-83. რუს. ანგლ. ქართ. ინგლ. რუს.

მე-20 საუკუნის დასაწყისში მაქს პლანკის აღმოჩენები და ავანტური თეორიის შექმნა იყო მსოფლიოს წინანდელი ფიზიკური სურათის, შემდგომში კი - ზოგადსამეცნიერო წარმოდგენებისა და მსოფლმხედველობის მთლიანობაში შეცვლის დომინანტური ფაქტორი.

დისტანციური სწავლების, როგორც ახალი საუკუნის საგანმანათლებლო გარემოს ჩამოყალიბება და სწრაფი განვითარება მოწმობს როგორც ინფორმაციის ძიების მეთოდებისა და უნარების, ასევე სწავლების პროცესში მისი წარმოდგენის დიდაქტიკური მეთოდების ხარისხობრივ ცვლილებებს. დისტანციური სწავლების სისტემაში განსაკუთრებით თვალშისაცემია ინფორმაციული ტექნოლოგიების ზრდით გამოწვეული სოციალურ-ეულტურული განზომილებები, საგანმანათლებლო სტრატეგიის ახალი პრინციპებისა და მეთოდების გამოწვევები მოითხოვს სწრაფ და დროულ რეაგირებას.

ამრიგად, ყოველივე ზემოთქმული მოწმობს არა მხოლოდ ინფორმაციული საზოგადოების სოციოკულტურულ სამყაროში მომხდარ ცვლილებებს, არამედ ახდენს სინერგიულ მიდგომისა და პოსტმოდერნიზმის იდეების ურთიერთკავშირის პრობლემების აქტუალიზაციას. ეს გამოხატება ფილოსოფიური კატეგორიების შინაარსისა და ფუნქციის ცვლილებების ანალიზში, ახალ მსოფლმხედველობრივ პარადიგმაში როგორც ობიექტური რეალობის, ასევე გირტუალურის.

ლიტ. 5.

# РЕЛАКСАЦИОННЫЕ ПРОЦЕССЫ В $\alpha$ – ЦИРКОНИИ

Акад. доктор *ИРАКЛИЙ ТАБАТАДЗЕ*

Сухумский Физико-технический институт им. И.Н.Векуа  
Грузинский Технический Университет

**Аннотация.** Исследованы температурная и амплитудная зависимости внутреннего трения и модуля сдвига  $\alpha$  – циркония, полученного электролитическим методом. Измерялись способность рассеяния энергии упругих крутильных колебаний и динамический модуль сдвига образцов  $\alpha$  – Zr в исходном состоянии и после циклической высокоамплитудной деформации при  $850^{\circ}\text{C}$ .

**Ключевые слова:**  $\alpha$  – цирконий, релаксация, модуль сдвига, деформация, внутреннее трение.

В температурных спектрах внутреннего трения выявлены характерные для металлов с гексагональной структурой максимумы релаксационного рассеяния энергии колебаний, сопровождаемые понижением модуля сдвига. На кривых амплитудной зависимости внутреннего трения и модуля сдвига обнаружены критические амплитудные деформации, при которых изменяются скорости роста внутреннего трения и понижения модуля сдвига. В рамках теоретических моделей описаны возможные механизмы рассеяния колебаний и локального ослабления сил междуатомных взаимодействий в решетке  $\alpha$  – Zr. Проанализирован вклад в указанные изменения атомов внедрения кислорода, взаимодействующих с ядрами невинтовых дислокаций с учетом продольного и поперечного диффузионного смешения атомов кислорода под действием температуры и внешнего периодического напряжения.

Исследования эффектов рассеяния упругих колебаний в конденсированных средах из-за высокой чувствительности и информативности методов акустической спектроскопии, в частности метода внутреннего трения, могут дать обширную информацию о механизмах потерь энергии, состоянии структуры, а также позволяют рассчитать важные параметры микроструктуры. К последним относятся концентрация точечных дефектов, размеры зерен и блоков, энергетические и кристаллогеометрические характеристики дислокационной структуры и т.д.

В отличие от металлических материалов кубической симметрии неупругие свойства металлов с гексагональной структурой мало исследованы [1]. Это обстоятельство в основном обусловлено трудностью получения высокочистых высокотемпературных переходных металлов Ti, Hf, Zr, а также сложным характером разнообразных фазовых превращений в их кристаллической структуре.

Были исследованы температурные и амплитудные зависимости квадрата частоты колебаний, пропорционального модулю сдвига, и процессов рассеяния энергии упругих колебаний  $\alpha$  – Zr, полученного электролитическим методом. Измерения проводились на низкочастотном релаксаторе с обратным крутильным маятником. Исследуемые образцы

закрепляли в механических держателях на вертикальной оси крутильного маятника. Размеры образцов: длина – 25–30 мм, диаметр – 0,5–0,8 мм. Измерения проводили в вакууме  $\sim 10^{-4}$  торр в интервалах температуры – 20–800 $^{\circ}\text{C}$ , частоты крутильных колебаний – 0,5–5,0 Гц и амплитудной деформации –  $2 \cdot 10^{-5}$ – $5 \cdot 10^{-3}$ . Значения внутреннего трения, интенсивности рассеянной колебательной энергии определяли по формуле [1]:

$$\frac{Q^{-1}}{A_{n+N}} = \frac{1}{\prod N} \ln A_n$$

где  $N$  – число колебаний, совершившихся при уменьшении амплитуды от  $A_n$  до  $A_{n+N}$

Величину критической амплитудной деформации определяли как точку раздела амплитудонезависимой и амплитудозависимой областей на кривой внутреннего трения  $Q^{-1}(\varepsilon)$  и динамического модуля сдвига  $f^2(\varepsilon)$ . Значение самой колебательной деформации определялось по углу закручивания образцов, закрепленных в маятнике. Активационные характеристики релаксационных процессов рассеяния энергии упругих колебаний определяли методом частотного смещения их максимумов [1].

На рис. 1 представлены результаты измерений температурной зависимости внутреннего трения электролитического  $\alpha$  – Zr в исходном и циклических деформированном состояниях.

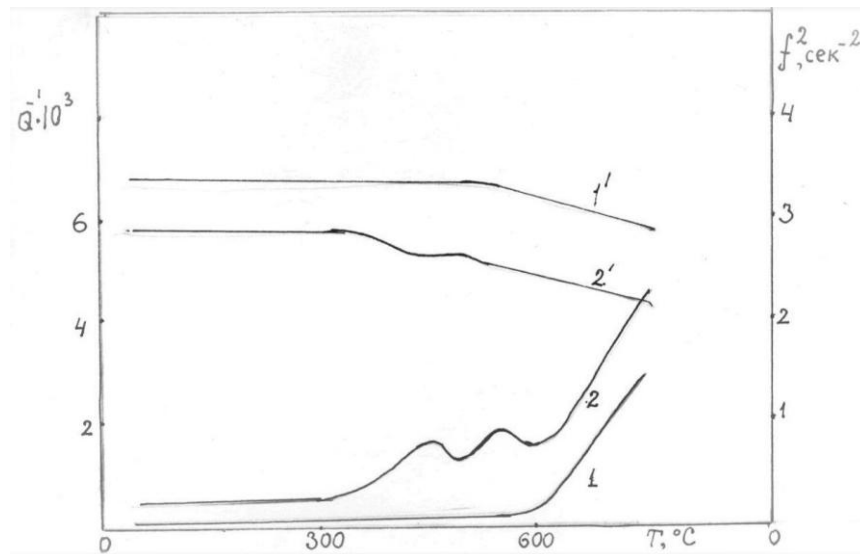


Рис. 1. Температурный спектр внутреннего трения (1,2) и модуля сдвига ()  $\alpha$  – циркония:

1,1<sup>1</sup> – исходное состояние;  $f_0 = 1,8$  Гц;  
2,2<sup>1</sup> – циклически деформированное, 850 $^{\circ}\text{C}$ , число циклов – 200

Как ожидалось, исходный спектр  $Q^{-1}(T)$  свободен от каких – либо максимумов. Его характеризует фон низкой интенсивности вплоть до 600 $^{\circ}\text{C}$ , выше которой наблюдается его экспоненциальное возрастание. Несмотря на то что в  $\alpha$  – Zr присутствует примесь кислорода относительно высокой концентрации ( $\sim 10^{18}$ – $10^{19}$   $\text{cm}^{-3}$ ) в

позициях внедрения (i) и в гексагональной структуре присутствуют пары атомов замещения (s) и внедрения (i) :i - s , практически невозможно обнаружить эффекты рассеяния энергии колебаний, связанные с переориентацией пар i - s в поле напряжений. Это связано с тем, что такая переориентация (поворот примесного атома i вокруг неподвижного атома матрицы s )не дает ощутимую локальную деформацию структуры.Оно в свою очередь обусловливается тем, что симметрия системы занятых межузлий ( i- положение ) в гексагональных кристаллах совпадает с симметрией матрицы. Иными словами, в гексагональных кристаллах, не содержащих более одного вида примесей, указанные межузлия обладают тригональной симметрией, и потому их заполнение отдельными атомами не приводит к появлению дефектов, способных вызвать сдвиговую релаксацию. В том случае, когда в кристаллической решетке с гексагональной симметрией, в частности, в  $\alpha$  – Zr , рядом i - спары появляется атом другого элемента (Ti, Hf, ....), образуется моноклинный {100} дефект, и становится возможным проявление релаксационного эффекта рассеяния энергии колебаний кристалла [2].

В процессе циклической деформации при больших амплитудах крутильных колебаний

( $10^{-3}$  –  $10^{-2}$ ) возможно образование свежих сегментов дислокаций, новых вакансий и атомов матрицы в позициях внедрения (i) . В таком случае возможно формирование сложных конфигураций дефектов, характеризуемых пониженной точечной симметрией. Предполагаем, что появление широких максимумов на кривой  $Q^{-1}(T)$  в деформированных образцах  $\alpha$  – Zr связано с указанной перестройкой в структуре дефектов (рис.1,2). Оба максимума изменяют свою температуру с изменением частоты колебаний от 1-го до 5 Гц. Это указывает на их релаксационное происхождение. Активационные характеристики максимумов внутреннего трения в  $\alpha$  – Zr приведены в таблице.

#### Характеристики релаксационных процессов в $\alpha$ – Zr.

Таблица

Состояние образца $\alpha$ – Zr	Температура максимумов $Q^{-1}$	Энергия активации, eV	Частотный фактор, $\text{сек}^{-1}$	Относительная интенсивность максимума, $Q^{-1} \cdot 10^3$
Деформирован при $850^{\circ}\text{C}$ амплитуда деформации $10^{-3}$ – $10^{-2}$ число циклов деформации 200	460 550	1,85 2645	$4 \cdot 10^{12}$ $1 \cdot 10^{14}$	6 9

Изменения в спектре тепловых колебаний решетки, а также диффузионная перестройка дефектов и увеличение подвижности дислокации в  $\alpha$  – Zr обусловливают плавное, почти линейное понижение модуля сдвига (рис. 1 1<sup>l</sup>). Его понижение в области  $800$  –  $850^{\circ}\text{C}$

составляет 12÷15 %, обусловленное, главным образом, термическим расширением кристаллической решетки. После высокотемпературной циклической деформации вероятнее всего происходит освобождение сегментов колеблющихся дислокаций от вакансационных и примесных центров закрепления и дальнейшее их перемещение на несколько единиц параметра решетки. В этих условиях образуются новые дефектные центры со слабыми междуатомными силами взаимодействия. Таким образом, создаются условия регистрации пониженных значений механической характеристики - динамического модуля сдвига, что на кривой  $f^2(T)$  изображено спадами при температурах 400 - 450°C и 550°C (рис. 1,<sup>2</sup><sup>1</sup>).

Экспериментально показано сильное уменьшение модуля сдвига предварительно деформированного  $\alpha$ -Zr в тех случаях, когда образец подвергается высокоамплитудной колебательной деформации. Одновременно происходит заметное повышение интенсивности релаксационных максимумов  $Q^{-1}$  наблюдаемых в области температур 450-600°C. Эти характеристики свидетельствуют о проявлении S-K (Snoek-Koster) релаксации в исследуемых образцах  $\alpha$ -Zr в условиях крутильных колебаний с частотами 0,5-5,0 Гц. Согласно теории [3] S – K релаксация в Ti и Zr возникает при температурах, при которых дислокации приобретают способность передвигаться за пределами примесной атмосферы, образованной парами дефектов O–O и O–M (M – атом металлической примеси).

Нелинейные изменения интенсивности релаксационных процессов при 450 и 500°C в условиях изменения концентрации кислорода детально исследовались авторами работы [4], полагавших, что и в формировании максимума, принимают участие атомы внедрения кислорода и дислокации. Однако в реализации релаксационного процесса сильно возрастает роль диффузионного движения внедренных атомов кислорода в поперечном направлении относительно ядра дислокации.

Такого рода четкое энергетическое разделение процессов движения дислокации, окруженных атмосферой внедренных атомов кислорода,енным образом может отображаться на поведении модуля сдвига и внутреннего трения в широком диапазоне амплитудной деформации.

В действительности в  $\alpha$  – Zr на кривых амплитудной зависимости внутреннего трения  $Q^{-1}(\varepsilon)$  и модуля сдвига  $f^2(\varepsilon)$  в условиях комнатной температуры наблюдаются следующие особенности. В исходных образцах в интервале амплитудной деформации от  $2 \cdot 10^{-5}$  до  $1 \cdot 10^{-4}$  изменения  $Q^{-1}$  и  $f^2$  не обнаруживаются. Выше амплитудной деформации  $\sim 10^{-4}$  начинается слабое возрастание внутреннего трения и одновременное слабое линейное понижение модуля сдвига. При амплитудах  $\geq 5 \cdot 10^{-4}$  возрастают скорости увеличения  $Q^{-1}$  и уменьшения модуля сдвига. Эти изменения свидетельствуют о проявлении отрыва дислокационных сегментов от точек закрепления, приводящего к локальному ослаблению сил взаимодействий и, следовательно, к уменьшению динамического модуля сдвига.

После высокотемпературной циклической деформации появляется ступенчатое увеличение  $Q^{-1}$ , а также ступенчатое уменьшение модуля сдвига с двумя критическими величинами амплитудной деформации, при которых заметно изменяются скорости возрастания  $Q^{-1}$  и спада  $f^2$ . Такие изменения свидетельствуют о формировании кислородосодержащих различных энергетических барьеров на пути перемещения дислокационных сегментов. Механизм их происхождения и действия требует дополнительных комплексных исследований структуры и структурно – чувствительных механических свойств  $\alpha$  – Zr.

Автор выражает благодарность проф. Г.Ш. Дарсавелидзе за содействие при выполнении работы.

#### ЛИТЕРАТУРА

1. Новик А., Берри Б. Релаксационные явления в кристаллах. М.: Атомиздат. 1972.
2. Blanter M.S., Granovsky E.B, Magalas L.B. Interaction of dissolved atoms and relaxation due to interstitial atoms in hcp metals/ Materials Science and Engineering A 370 (2004).
3. Ritchie J. G. Core diffusion, unpinning and the Snoek – Koster Relaxation. Scripta Metallurgica. Vol 16. 1982.
4. Ritchie J. G., Sprungmann K.W. High Temperature Internal Friction in  $\alpha$  – Zr. Atomic Energy of Canada Limited Report, AECL – 6810 (1981).

#### RELAXATION PROCESSES IN $\alpha$ – ZIRCONIUM.

I.Tabatadze.. "Energy". №2(98). 2021. Tbilisi. p. 84-89. rus. sum geo. engl. rus.

The temperature and amplitude dependences of the internal friction and the shear modulus of  $\alpha$  – zirconium were investigated. The ability to scattering the energy of elastic torsional oscillations and the dynamic shear modulus of  $\alpha$ - Zr samples in the initial state and after cyclic high – amplitude deformation at  $850^{\circ}\text{C}$  were measured.

In the temperature spectra of internal friction , the effects of relaxation scattering of oscillations energy, accompanied by a decrease in the shear modulus are revealed, that's characteristic of metals with a hexagonal structure. On the curves of the amplitude dependence of the internal friction and the shear modulus, critical values of strain amplitude were revealed at which the rates of increase in internal friction and decrease in shear modulus change.

Within the framework of theoretical models possible mechanisms for scattering oscillations and weakening localized interacting forces in  $\alpha$  - Zr are described. The contribution of interstitial oxygen atoms, which interact with the nuclei of non – screw dislocations is analyzed, considering the longitudinal and transverse diffusion displacement of oxygen atoms under the influence of temperature and external periodic stress.

*Ill. 1, tabl. 1, bibl. 4.*

## რელაქსაციური მოვლენები α - ცირკონიუმში.

ი.ტაბატაძე, "ენერგია". №2(98). 2021. თბილისი. გვ. 84-89.რუს. ანოტ. ქართ. ინგლ. რუს.

შესწავლით ა - ცირკონიუმის შინაგანი ხახუნისა და ძვრის მოდულის ტემპერატურული და ამპლიტუდური დამოკიდებულებები. გაზომილი იქნა დრეკადი გრეხითი რხევების გაბნევის უნარიანობა და დინამიკური ძვრის მოდული  $\alpha$ -Zr - ისინი მუშების საწყის და მაღალტემპერატურებზე ( $850^{\circ}\text{C}$ ) ციკლურად დეფორმირებულ მდგომარეობებში.

შინაგანი ხახუნის ტემპერატურულ სპექტრებში გამოვლენილია ჰექსაგონალური სტრუქტურების მეტალებისათვის დამახასიათებელი რხევითი ენერგიის რელაქსაციური გაბნევის ეფექტები, რასაც თან სდევს ძვრის მოდულის შემცირება. შინაგანი ხახუნისა და ძვრის მოდულის ამპლიტუდური დამოკიდებულების გრაფიკებზე გამოვლენილია კრიტიკული ამპლიტუდური დეფორმაციის წერტილები, რომლებზედაც იცვლება შინაგანი ხახუნის ინტენსივობის ზრდისა და ძვრის მოდულის შემცირების სიჩქარეები. თეორიული მოდელების ჩარჩოებში აღწერილია რხევების გაბნევისა და ლოკალიზებული კავშირის ძალების შესუსტების შესაძლებელი მექანიზმები  $\alpha$ -Zr-ში. გაანალიზებულია ჩანერგილი ჟანგბადის ატომების წვლილი აღნიშნულ ცვლილებებში, რომლებიც ურთიერთქმედებენ დისლოკაციების ბირთვებთან. ამავე დროს განხილულია ჟანგბადის ატომების განივი და გასწვრივი დიფუზური გადაადგილება ტემპერატურისა და გარეშე პერიოდული ძაბვის ზემოქმედებით.

ილ. 1, ცხრ. 1, ლიტ. 4.

# დისტანციური სფავლების საგანმანათლებლო ტექნოლოგია

პროფესორი პემალ ნიკურაძე  
პროფესორი ვახტანგ კვინტრაძე  
პროფესორი ვახტანგ გელაძე  
ასოცირებული პროფესორი გაია ულიცი

საქართველოს ტექნიკური უნივერსიტეტი

ანოტაცია. განხილულია სასწავლო პროცესის ძველი და თანამედროვე მოდელები. სწავლების პარადიგმის შეცვლა მნიშვნელოვანწილად დაკავშირებულია განათლების პროცესში ახალი საინფორმაციო ტექნოლოგიების დანერგვასთან, რაც უმნიშვნელოვანების მახასიათებელია სასწავლო პროცესის იმ პირობებში, როდესაც უმაღლები სასწავლებელი დაყოფილია დისტანციური სწავლების ტექნოლოგიის მიხედვით. ამ პირობებში სტუდენტი განათლებას იღებს ვირტუალურ გარემოში და სწავლის პროცესის აქტიური მონაწილეა ირჩევს რა სწავლების თავის ინდივიდუალურ ტრაქტორიას. ამას ხელს უწყობს საინფორმაციო-კომუნიკაციურ დისტანციურ სასწავლო ტექნოლოგიაში რეალიზებული სწავლების მოდულური პრინციპი, სახელწოდებით “დისტანციური განათლება”. ეს მოდელი ითვალისწინებს სასწავლო დისციპლინის ლოგიკურად ჩატარების ბლოკებად დაყოფას, რომელთაც მოდულები ეწოდება.

დისტანციური სწავლების პრინციპები საშუალებას იძლევა იდენტური სასწავლო პროცესის ჩატარებისა ტერიტორიალურად დაშორებულ კვეთა სასწავლო ცენტრში, ხოლო სასწავლო პროდუქტების საკეტრის მუდმივი გაფართოება, მათი დროული განახლება და კომუნიკაციური მიღება სწავლების მიმართ-გამოსაშვები კონტინგენტის მაღალი ხარისხის მომზადების ფორმირებას და მათ მზაობას პროფესიონალური შემოქმედებისთვის.

საკვანძო სიტყვები: სწავლების პარადიგმა, მოდულური პრინციპი, სასწავლო-გეორგური კომპლექსი.

## შესავალი

XX საუკუნის ბოლო ათწლეულებამდე, ტრადიციულ საგანმანათლებლო სისტემაში გამოიყენებოდა სკინერის (Skinner B.F.) საგანმანათლებლო მოდელი სახელწოდებით “დასწავლის ოპერანტიული თეორია” [1].

ამ მოდელში ეწ. “უმაღლეს” ინსტანციას, ანუ საგანმანათლებლო პროცესის ცენტრალურ ფიგურას წარმოადგენდა მასწავლებელი (ლექტორი), რომელიც სტუდენტს სწავლების მოტივაციას უქმნიდა მხოლოდ “წახალისებით” ან “დასჯით”. თავად სტუდენტი კი განიხილებოდა ერთგვარ “ჭურჭლად”, რომელშიც მასწავლებელს უნდა “ჩაესხა” ცოდნის გარკვეული რაოდენობა, შესაბამისად პოზიტიური ან ნეგატიური სტიმულირების სახით.

## ძირითადი ნაწილი

თანამედროვე საგანმანათლებლო საზოგადოებაში სულ უფრო მეტ აღიარებას პოულობს სწავლების ახალი პარადიგმა, რომელშიც ცენტრალურ ფიგურას წარმოადგენს მოსწავლე (სტუდენტი), ხოლო მასწავლებელი (ლექტორი) წარმოადგენს დამრიგებელს, შუამავალს (mediator) სწავლების საორგანიზაციო-ტექნოლოგიურ გარემოსა და მოსწავლეს (სტუდენტს) შორის, ანუ ის, ვინც ეხმარება მოსწავლეს სწავლაში (facilitator). სწავლების პარადიგმის შეცვლა მნიშვნელოვანწილად დაკავშირებულია განათლების პროცესში ახალი საინფორმაციო ტექნოლოგიების დანერგვასთან, რაც უმნიშვნელოვანესი მახასიათებელია სასწავლო პროცესის იმ პირობებში, როდესაც უმაღლესი სასწავლებელი დაყოფილია დისტანციური სწავლების ტექნოლოგიის მიხედვით. ამ პირობებში სტუდენტი განათლებას იღებს ვირტუალურ გარემოში და სწავლის პროცესის აქტიური მონაწილეა, ირჩევს რა სწავლების, თავის ინდივიდუალურ ტრაექტორიას.

ამას ხელს უწყობს საინფორმაციო-კომუნიკაციურ დისტანციურ სასწავლო ტექნოლოგიაში რეალიზებული სწავლების მოდულური პრინციპი, სახელწოდებით “დისტანციური განათლება”. ეს მოდელი ითვალისწინებს სასწავლო დისციპლინის ლოგიკურად ჩაკეტილ ბლოკებად დაყოფას, რომელთაც მოდულები ეწოდება. მათ ჩარჩოში მიმდინარეობს როგორც ახალი მასალის შესწავლა, ასევე მასალის ათვისების შემოწმების საკონტროლო დონისძიებები [2]. მოდულები წარმოადგენენ ჩასათვალელ ერთეულებს (ბოლონიის პროცესის ტერმინოლოგიით-კრედიტებს).

თითოეული მოდულის შესასწავლად განსაზღვრულია 45 აკადემიური საათი (36 აკად.სთ საგამოცდო სესიების გარეშე), რაც მოიცავს აუცილებელ აუდიტორულ და სტუდენტის დამოუკიდებელ მუშაობას. დისტანციური სწავლების პირობებში აუდიტორული საათები მოიცავს საკონსულტაციო-სატრენინგო და საატესტაციო მეცადინეობებს, ხოლო დამოუკიდებელი მუშაობა კი ტესტებთან მუშაობას.

სასწავლო საგნების ყოველი მოდულის ძირითადი საინფორმაციო-სასწავლო რესურსებით უზრუნველყოფა ხდება სასწავლო-მეთოდური კომპლექსების (სმპ) მეშვეობით. სმპ-ს დანიშნულებაა მოსწავლეთა ეფექტური მუშაობით უზრუნველყოფა ყველა ტიპის მეცადინეობებისთვის, რაც გათვალისწინებულია საგანმანათლებლო პროგრამის სასწავლო გეგმით.

სმპ შეიცავს სასწავლო პროდუქტებს და სასწავლო-მეთოდურ მასალებს ელექტრონული ვერსიითა და ბეჭდური სახით (საგნის სამუშაო პროგრამა, სასწავლო სახელმძღვანელოები, შესავალი მოდულური (სამოდულო) ლექციები შესრულებული ტელელექციების სახით, სლაიდლექციები და აუდიო ლექციები,

საინფორმაციო და მეთოდური მასალები კოლექტიური ტრენინგებისათვის, კომპიუტერული სასწავლო პროგრამები, პროფესიონალური ლაბორატორიული სამუშაოები და ა.შ.) [3]. ტელეესეს მოსამზადებელი მეთოდური მასალები, ციფრული და ანალოგური ვიდეოკომპლექსების გამოყენებით, ტექსტები ძირითადი და დამატებითი სამეცნიერო და სასწავლო ლიტერატურის ჩამონათვალით (სიით) და საინფორმაციო-საცნობარო მასალები-კითხვარები, ლექსიკონები, სტუდენტთა დამოუკიდებელი მუშაობის ორგანიზების მეთოდური მასალები (ნაბეჭდი მასალების ელექტრონული ვერსიები) და ა.შ.

დისტანციური სწავლების საგანმანათლებლო ტექნოლოგია ხასიათდება იმით, რომ:

1. საშუალებას იძლევა სწავლების ერთგვაროვანი გარემოს ჩამოყალიბებას ნებისმიერ გეოგრაფიულ პუნქტში, ანუ დისტანციურად. საშუალებას იძლევა უწყვეტ სასწავლო პროცესში ჩართვისა, რომელიც ხორციელდება სხვადასხვა სასწავლო პროდუქტების მუდმივად გამოყენების მეშვეობით დაწყებული სამუშაო სახელმძღვანელოდან კომპიუტერულ სასწავლო პროგრამებამდე, სლაიდ-ლექციებიდან აუდიოკურსებამდე, რომელთა გამოყენება ადვილად შესაძლებელია სახლის (საბინაო) პირობებში.

2. ფართოდ გამოიყენება მიმოხილვითი სწავლება, რომელიც ხორციელდება მიმოხილვითი ტელელექციების მეშვეობით, რაც ეხმარება სტუდენტს ჩამოაყალიბოს შესასწავლი ცოდნის სფეროს ერთიანი, სტრუქტურირებული სურათი.

3. რეგულარულად იყენებს მეცადინეობათა ეფექტურ მეთოდებს – სატრენინგებს, მათ შორის გლოსარულ და ალგორითმულ სწავლებას, რომლებიც უზრუნველყოფენ ცნებების, ფაქტების, პერსონალიების მოწესრიგებულ დამახსოვრებას, რომელსაც შეიცავს პროფესიონალური კითხვარები. ამასთან ერთად, პროფესიონალური უნარების ალგორითმების სისტემატური დასწავლა საშუალებას აძლევს მომავალ სპეციალისტებს მომავალში ადვილად გადაწყვიტონ მათი ძირითადი ამოცანები.

4. იყენებს რა დისტანციური სწავლების საგანმანათლებლო ტექნოლოგიის ფარგლებში რეალიზებად, განვითარებად სფეროში ჩართვას, აორგანიზებს მოსწავლეთათვის დამოუკიდებლად ინფორმაციის ძებნას, მის შემოქმედებით გააზრებას და დამოუკიდებელ მოქმედებას მუდმივად ცვალებად პირობებში.

5. უზრუნველყოფს სწავლებისადმი ინდივიდუალურ მიდგომას (ინდივიდუალური სასწავლო გეგმა, ინდივიდუალური განრიგი, ინდივიდუალური დიდაქტიკა – ცოდნის ათვისების ტემპი, გამეორებათა რაოდენობა და ა.შ.).

6. ფორმირებას უკეთებს პროფესიონალურ კომპეტენციურობას საგნობრივ სფეროებში.

### დასკვნა

დისტანციური სწავლების ტექნოლოგიის აღნიშნული მახასიათებლები შესაძლებელია უზრუნველყოფილი იყოს მოცემული უმაღლესი სასწავლებლის მხოლოდ მაქსიმალური ინფორმატიზაციის ხარჯზე, რომლისთვისაც ინფორმატიზაციის დონე წარმოადგენს მისი საგანმანათლებლო გარემოს ხარისხის განმსაზღვრელ ფაქტორს.

დისტანციური სწავლების პრინციპები საშუალებას იძლევა იდენტური სასწავლო პროცესის ჩატარებისა ტერიტორიალურად დაშორებულ ყველა სასწავლო ცენტრში, ხოლო სასწავლო პროდუქტების სპექტრის მუდმივი გაფართოება, მათი დროული განახლება და კომპეტენციურული მიღებობა სწავლების მიმართ-გამოსაშვები კონტინგენტის მაღალი ხარისხის მომზადების ფორმირებას და მათ მზაობას პროფესიონალური შემოქმედებისთვის. დისტანციური სწავლება გულისხმობს ინფორმატიზაციის და საინფორმაციო სისტემების მეთოდების გამოყენებას, ხოლო ისინი, თავის მხრივ, მოითხოვენ სასწავლო პროცესის საორგანიზაციო პარამეტრების სტანდარტიზაციას და სისტემატიზაციას.

### ლიტერატურა

1. Skinner B.F. The behavior of organisms an experimental analysis. New-York:Appleton\_Century, 1938.
2. Тихонов А.Н. и др. Управление современным образованием. М: Вита Пресс: 1988.
3. Карпенко М. П. Телеобучение. М. 2008.

## **EDUCATIONAL TECHNOLOGIES AND DISTANCE LEARNING.**

*Nikuradze J., Kvintradze V., Meladze V., Zhgenti M. "Energy". №2(98). 2021. Tbilisi. p. 90-94. geo. sum geo. engl. rus.*

The article briefly reviews the old and new models of the educational process. To a large extent, the change in the teaching paradigm is associated with the introduction of new information technologies into the educational process, which is most characteristic of the pedagogical process in a distributed university using distance learning technology, where a student studies in a virtual environment and is an active participant in the educational process, choosing his own individual learning path. This is facilitated by the modular principle of teaching implemented in the information and communication distance educational technology called "distance learning", which offers the division of the discipline into logically closed blocks, called modules.

The principles of distance learning allow conducting an identical educational process in all territorially remote training centers, and the constant expansion of the range of educational products, their timely updating and a competence-based approach to training - the formation of a high quality of training of graduates and their readiness for professional activities.

*Bibl. 3.*

## **ОБРАЗОВАТЕЛЬНАЯ ТЕХНОЛОГИЯ ДИСТАНЦИОННОГО ОБУЧЕНИЯ.**

*Никурадзе Дж.Г., Квинтадзе В.И., Меладзе В.Д., Жгенти М.И. "Энергия". №2(98). 2021. Тбилиси. с. 90-94. груз. реф. груз. англ. рус.*

В статье кратко рассмотрены старые и новые модели учебного процесса. В значительной степени смена парадигмы обучения связана с внедрением в образовательный процесс новых информационных технологий, что в наибольшей степени характерно для педагогического процесса в условиях распределенного Вуза по технологии дистанционного обучения, где студент обучается в виртуальной среде и является активным участником образовательного процесса, выбирая свою индивидуальную траекторию обучения. Этому способствует реализуемый в информационно-коммуникационной дистанционной образовательной технологии, получившей название «дистанционное обучение», модульный принцип обучения, предлагающий разделение учебной дисциплины на логически замкнутые блоки, называемые модулями.

Принципы дистанционного обучения позволяют проводить идентичный учебный процесс на всех территориально удаленных учебных центрах, а постоянное расширение спектра учебных продуктов - своевременное их обновление и компетентный подход к обучению - способствуют формированию высокого качества подготовки выпускников и их готовность к профессиональной деятельности.

*Лит. 3 назв.*

# ON THE RELEVANCE, PURPOSE, SUBJECT OF RESEARCH AND OTHER ISSUES OF THE COMBINED METHOD OF LARGE BLOCKS

Doctor of technical science ABRAM CHRELASHVILI

Non-entrepreneurial (Non-commercial) Legal Entity "ETelTa". Tbilisi, Georgia

**Abstract.** *The article deals with the development of a new combined calculation method "Large Block Combined Method" in the mechanics of solid deformable seals. In the present work, the author's opinions on the urgency, purpose, research subject and other issues of the development of this method are discussed. This method will be mainly used to study the tense-deformed condition of objects with very complex structures. It relies on the applications of the finite element numerical method and the large block analytical method. Such a method will be effective in cases where part of the object to be examined can be considered as elements with simple and complex structure, where the analytical method of large blocks will be used, and the rest as a space with very complex structure, where the numerical method of finite elements will be used. In addition, the contact conditions required to ensure the simultaneous operation of these parts of the object under consideration must be met. The article discusses the issues that favor the combined method of large blocks over the finite element method and the analytical method for large blocks. Especially noteworthy is the issue of specifying the results of the tense-deformed state of objects with complex structures using a new calculation method.*

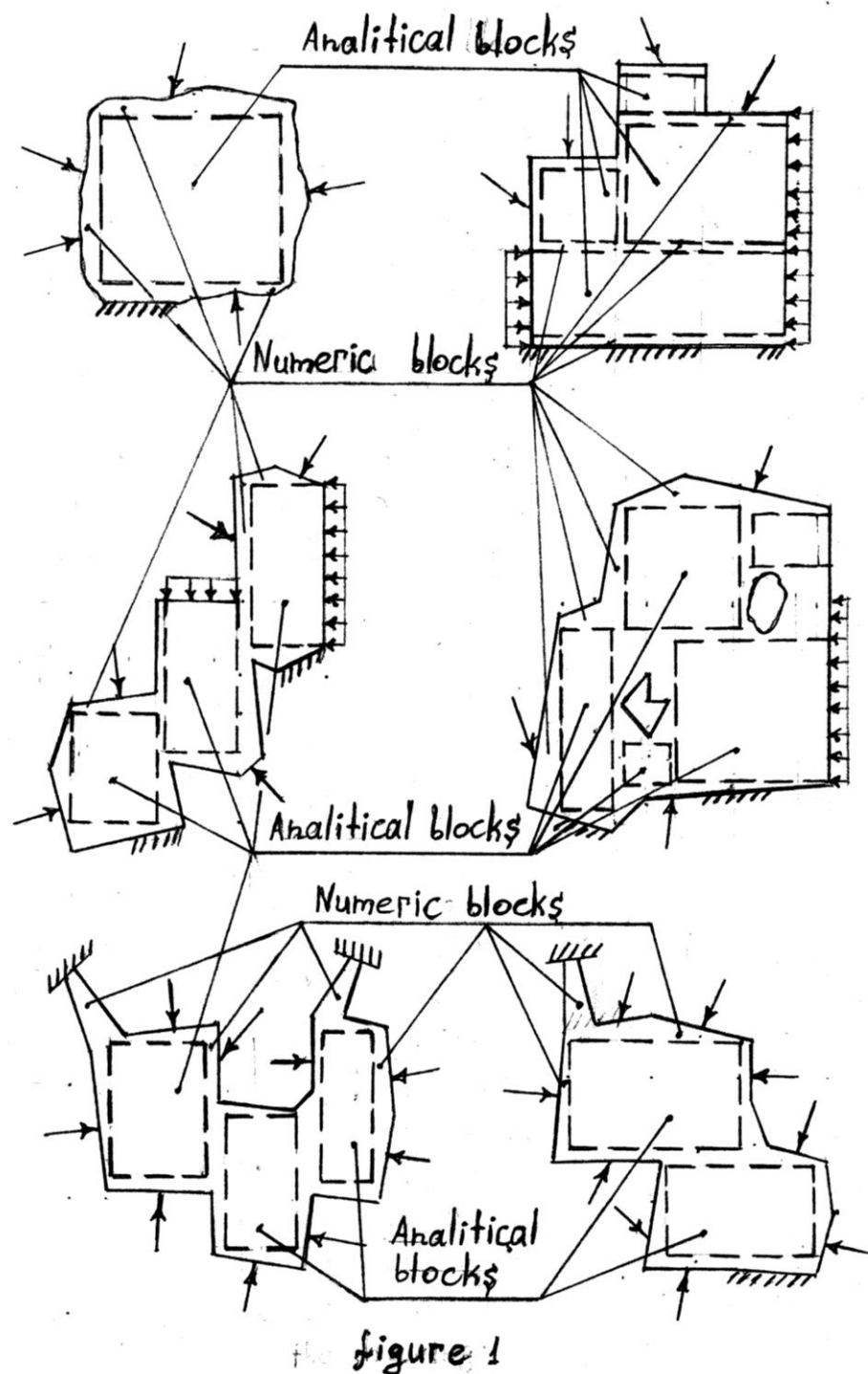
**Keywords:** *tense state, body, surface, impact, deformation, load.*

In the study of the tense-deformed condition of objects with very complex structures, the finite element method [1-3] and the boundary element method [4] are still irreplaceable methods, but as we see required further refinement of these numerical methods in order to eliminate all or part of their shortcomings. For this, it is possible to develop a combined method [5] for large blocks, which will be based on the application of the numerical finite element method [1-3] and the analytical method of large blocks [6]. This method will be effective in cases where part of the object under study can be considered as elements with a simple and complex structure, where the analytical method of large blocks will be used, and the rest as a space with a very complex structure, where the numerical finite element method will be used. In addition, the contact conditions necessary to ensure the simultaneous operation of these parts of the object under consideration must be observed.

Consider as an example the study of arched dams. When studying the stress-strain state of arched dams, it is better to take into account all boundary conditions, including the distributed hydrostatic load and the presence of holes (in the form of gutters) in the building.

When studying the stress-strain state of arch dams by the numerical finite element method, it is known that the distributed hydrostatic load can be taken into account approximately (finite elements in the form of compressed loads in the nodes); When considering them, the solution to the problem is associated with such difficulties that the use of the analytical method of large blocks practically makes no sense. As for the use of the combined method of large blocks, which is based on the representation of large blocks of the object under consideration. In most of the arched

dams, which are analyzed by the analytical method of large blocks [6], it is possible to accurately take into account the hydrostatic load, and in a small part of the building (for research by the numerical finite element method), where the above openings are located, they can be taken into account. Taking these two factors into account, it is obvious that to confirm the results of the study of the stress-strain state of arch dams, the combined method of large blocks should be used, which, in our opinion, confirms the relevance of the development of this method.



In addition to the above, when using the combined method of large blocks, compared to the finite element method, a significant reduction in the number of finite elements is achieved and, as a consequence, a significant reduction in the amount of required information. A significant reduction in the system of general algebraic equations is also achieved (due to a significant reduction in the number of finite elements). All this is achieved through the use of the combined method of large blocks, the object under consideration is presented as a combination of large blocks, and in most of them the analytical method of large blocks is used to study their stress-strain state, and in others - the numerical method of finite elements, especially in boundary elements.

Based on the above, it can be considered that the combined method of large blocks for studying the stress-strain state of objects of very complex structures, its numerical implementation is an urgent problem of structural mechanics of great scientific and practical importance.

When using the combined method large blocks, the test object should be represented in such a way that:

- The number of large blocks should be as small as possible, especially the number of blocks for the study of which the analytical method of large blocks is used [6]. Due to the shape of the object under study and the boundary conditions, in most cases, a part of these blocks should be more than approximately 80% of the total volume of the object under study.

- Due to the shape of the object under study, it must be represented as a set of such large blocks that the boundary conditions of the object under consideration (including the distributed load) are taken into account with maximum accuracy.

As already mentioned, the combined method of large blocks allows you to represent an object as a combination of such large blocks, among which the analytical method of large blocks is used for most studies (in most cases, such blocks contain more than 80% of the object's size). In connection with the above, the use of the combined method of large blocks in the survey of an object [5] allows to refine the results obtained using the numerical finite element method, which is an important and noteworthy achievement.

The purpose of the development of the combined method of large blocks was to create a new combined method [5] (for studying the stress-strain state of objects of very complex design) using the existing analytical method of large blocks [6] and the numerical finite element method [1- 3], It would have the advantages listed above in comparison with the mentioned methods [1-4,6], which is a continuation of the process of further improvement of computational methods.

## R E F E R E N C E S

1. Zenkevich O. The finite element method in technology. M.: Mir. 1975.
2. Galager R. Method of finite elements. M.: Mir. 1984.
3. Segerlind L. Application of the finite element method. M.: Mir. 1979.
4. Crouch S., Starfield A. Methods of boundary elements in solid mechanics. M.: Mir. 1987.
5. Chrelashvili A. On the analytical-numerical method of large blocks. Proceedings of the International Symposium on Thin-Wall Spatial Systems. Tbilisi. 2001.
6. Gudushauri I.I. Theory of elasticity in ordinary differential equations. Tbilisi:Metsniereba. 1990.

მსხვილი ბლოკების კომპიუტერული მეთოდის დამუშავების აქტუალობის, მიზნის, პლანის საგნისა და სხვა საკითხების შესახებ.

ა.ჭრელაშვილი. "ენერგია". №2(98). 2021. თბილისი. გვ. 95-98. ინგლ. ანოტ. ქართ. ინგლ. რუს.

სტატია ეხება მყარი დეფორმაციი სხეულების მექანიკაში ახალი კომბინირებული საანგარიშო მეთოდის "მსხვილი ბლოკების კომბინირებული მეთოდის" დამუშავებას. წინამდებარე ნამუშევარში განხილულია აღნიშნული მეთოდის დამუშავების აქტუალობის, მიზნის, კვლევის საგნისა და სხვა საკითხების შესახებ აგტორის მოსაზრებები.

აღნიშნული მეთოდი ძირითადად გამოყენებული იქნება ძალიან რთული სტრუქტურის მქონე ობიექტების დაძაბულ-დეფორმირებული მდგომარეობის შესასწავლად. იგი ეყრდნობა სასრული ელემენტების რიცხვითი მეთოდისა და მსხვილი ბლოკების ანალიზური მეთოდის გამოყენებებს. ასეთი მეთოდი ეფექტური იქნება ისეთ შემთხვევებში, როდესაც გამოსაკვლევი ობიექტის ნაწილი შეიძლება განხილულ იქნეს მარტივი და რთული სტრუქტურის მქონე ელემენტების სახით, სადაც გამოყენებული იქნება მსხვილი ბლოკების ანალიზური მეთოდი, ხოლო დანარჩენი ნაწილი კი - როგორც ძალიან რთული სტრუქტურის მქონე სივრცე რომელშიც გამოყენებული იქნება სასრული ელემენტების რიცხვითი მეთოდი. ამასთან ერთად, უნდა შესრულებულ იქნას ის საკონტაქტო პირობები, რომლებიც საჭიროა განსახილველი ობიექტის აღნიშნული ნაწილების ერთდროული მუშაობის უზრუნველსაყოფად.

განხილულია ის საკითხები, რომლებიც უპირატესობას აძლევენ მსხვილი ბლოკების კომბინირებულ მეთოდს, სასრული ელემენტების რიცხვით მეთოდთან და მსხვილი ბლოკების ანალიზურ მეთოდთან შედარებით. განსაკუთრებით აღსანიშნავია, ის საკითხი, რომელიც ეხება რთული სტრუქტურის მქონე ობიექტების დაძაბულ-დეფორმირებული მდგომარეობის შედეგების დაზუსტებას ახალი საანგარიშო მეთოდის გამოყენებით.

ლიტ. 6.

## ОБ АКТУАЛЬНОСТИ, ЦЕЛИ, ОБЪЕКТЕ ИССЛЕДОВАНИЯ И ДРУГИХ ВОПРОСАХ КОМБИНИРОВАННОГО МЕТОДА ОБРАБОТКИ КРУПНЫХ БЛОКОВ

ა. ჭრელაშვili. "Энергия". №2(98). 2021. Тбилиси. с. 95-98. англ. реф. груз. англ. рус.

Рассматривается разработка нового комбинированного метода расчета больших блоков в механике твердого деформируемого тела. Обсуждаются мнения автора об актуальности, цели, предмете исследования и другие вопросы развития этого метода. Этот метод в основном будет использоваться для исследования напряженно-деформированного состояния объектов очень сложной структуры. Он основан на применении численного метода конечных элементов и аналитического метода больших блоков. Эффективность метода будет проявляться в тех случаях, когда часть исследуемого объекта может рассматриваться как элементы с простой и сложной структурой, где будет использоваться аналитический метод больших блоков, а остальное - как пространство с очень сложной структурой, где будет использован численный метод конечных элементов. При этом должны соблюдаться условия контакта, необходимые для обеспечения одновременной работы этих частей рассматриваемого объекта. Обсуждаются также вопросы, в которых отдается предпочтение комбинированному методу больших блоков по сравнению с методом конечных элементов и аналитическим методом для больших блоков. Особого внимания заслуживает вопрос уточнения результатов напряженно-деформированного состояния объектов сложной структуры с помощью нового метода расчета.

Лит. 6 наз.

ინა თუმანიშვილი - საიუბილეო თარიღის მილოცვა



ჟურნალ "ენერგია"-ს კოლექტივი პატივისცემით და დიდი სიყვარულით ვულოცავთ ქალბატონ ინა თუმანიშვილს იუბილეს. ქალბატონი ინა არის გულისხმიერი, კეთილშობილი, ერთგული და უზადო მცოდნე თავისი საქმისა. მისნაირი სპეციალისტი საქართველოში იშვიათად თუ მოიძებნება.

ვუსურვებთ ჩვენს მეგობარს, მშვენიერ ქალბატონს, ჯანმრთელობას, მხნეობას და წარმატებულ მოღვაწეობას, რომლის ხელის შეწყობითაც ჩვენი ჟურნალი აგრძელებს საქმიანობას.

**И н н е!**

Тогда, когда мы были еще молоды,  
Когда вздыхали просто, от избытка чувств,  
Любили все, что мило было в городе.  
Остались, нежность, радость, маленькая грусть.  
Была красива и умна, не возникала,  
Кого хотела, сразу завлекала.  
Бывали сложности, но проявляла силу,  
Легко, с кокетством проходила мимо.  
И сколько чувств и дел в себя вместила!  
И как всегда, мы вместе будем, Инна.

Мераб Лордкипаниძე

სამეცნიერო-ტექნიკური ჟურნალ "ენერგიის" რედაქცია

## რედაქციაში სტატიების შემოტანის ზესები

1. უურნალის რედაქციაში შემოსატანი მასალა უნდა შეიცავდეს:
  - საკუთრივ სტატიას - 1 ეგზ. (სტატია და რეფერატი უნდა იყოს სტრუქტურირებული და შედგებოდეს შემდეგი ნაწილებისგან:
    - მეცნიერების დარგი;
    - სამუშაოს საგანი, თემა, მიზანი;
    - სამუშაოს შესრულების მეთოდი ან მეთოდოლოგია;
    - სამუშაოს შედეგები;
    - შედეგების გამოყენების სფერო;
    - დასკვნები.
  - ანოტაციას ქართულ ენაზე - 1 ეგზ.
  - ანოტაციას რუსულ ენაზე - 1 ეგზ.
  - ანოტაციას ინგლისურ ენაზე - 1 ეგზ.
  - დისკეტაზე ჩაწერილ სტატიასა და სამივე ანოტაციას (სათაურებით ქართულ, რუსულ და ინგლისურ ენებზე).
2. რედაქციაში შემოტანილი სტატიის გვერდის მოცულობა განისაზღვრება ერთნახევარი ინტერვალით. შრიფტის ზომაა 12; გვერდის ველები – ზევიდან, ქვევიდან, მარცხნიდან და მარჯვენიდან – 25 მმ. შრიფტები: ქართული – Sylfaen, AcadNusx, ინგლისური და რუსული – Times New Roman.
3. სტატია შეიძლება წარმოდგენილი იქნას ქართულ, რუსულ ან ინგლისურ ენაზე. მისი მოცულობა არ უნდა იყოს 3 გვერდზე ნაკლები და 10 გვერდზე მეტი.
4. გრაფიკული (ნახატი, ფიგურა, სქემა, დიაგრამა, ნომორამა) და ფოტო მასალა აღირიცხება ტექსტის შემადგენლობაში ისევე, როგორც ციტირებული ლიტერატურის ნუსხა და, თანაც აუცილებელია უახლესიც. აუცილებელია ციტირებული ლიტერატურის რიგითი თანმიმდევრობის ნუმერაციის განთავსება ტექსტში. წარმოდგენილი გრაფიკული ან ფოტო მასალა იბეჭდება შავ-თეთრი გამოსახულებით. ფერად გამოსახულებაში მათი შესრულების შესაძლებლობა ყოველ კონკრეტულ შემთხვევაში დგინდება გამომცემლობა "ენერგიის" ხელმძღვანელობასთან შეთანხმებით. ყველა გრაფიკულ ან ფოტო მასალას უნდა ჰქონდეს დასახელება.
5. სტატიის ქართული, რუსული და ინგლისური ანოტაცია თითოეული უნდა შეიცავდეს 500 ნიშანს (დაახლოებით ხელნაწერი ტექსტის 10 სტრიქონს). ქართული, რუსული და ინგლისური ტექსტები უნდა ემთხვეოდეს ერთმანეთს.
6. ფიზიკური სიდიდეები უნდა იყოს წარმოდგენილი საერთაშორისო SI სისტემასთან შესაბამისობაში. ფორმულებში შემავალი სიდიდეები და აღნიშვნები უნდა გამოისახოს ქართული, ბერძნული ან ლათინური ანბანის შესაბამისად. როგორც გამონაკლისი, დასაშვებია რუსული ანბანის ასოების გამოყენება ეკონომიკური ხასიათის სტატიის წარმოდგენისას.
7. აუცილებელია სტატიის ავტორის (ავტორების) სახელის, სამეცნიერო ხარისხის, წოდების ან სპეციალობის მოყვანა. ავტორის (ავტორების) ხელმოწერის გარეშე სტატია არ მიღება. საჭიროა ბინის ან სამუშაო ადგილის ტელეფონის მითითება.